



**UNIVERSIDADE FEDERAL RURAL DE PERNAMBUCO  
PRÓ-REITORIA DE PESQUISA E PÓS-GRADUAÇÃO  
PROGRAMA DE PÓS-GRADUAÇÃO EM BIOCIENCIA ANIMAL**

**Clovis José Cavalcanti Lapa Neto**

**Efeitos de uma dieta hiperlipídica associada ou não a melatonina exógena durante a gestação e lactação sobre a histofisiologia dos neonatos.**

**RECIFE**

**2020**



**UNIVERSIDADE FEDERAL RURAL DE PERNAMBUCO**

**CLOVIS JOSÉ CAVALCANTI LAPA NETO**

**“EFEITOS DE UMA DIETA HIPERLIPÍDICA ASSOCIADA OU NÃO A  
MELATONINA EXÓGENA DURANTE A GESTAÇÃO E LACTAÇÃO SOBRE  
A HISTOFISIOLOGIA DOS NEONATOS”**

Tese apresentada ao Programa  
de Pós-Graduação em  
Biociência Animal da  
Universidade Federal Rural de  
Pernambuco, como requisito  
para obtenção do grau de Doutor  
em Biociência Animal. Área de  
Morfofisiologia.

**Orientador:**

**Prof<sup>a</sup>. Dr<sup>a</sup>. Valéria Wanderley Teixeira**

**Co-orientadores:**

**Prof. Dr. Álvaro Aguiar Coelho Teixeira**

**Prof<sup>a</sup> Dr<sup>a</sup>.Ana Janaina Jeanine Martins de Lemos Jordão**

**RECIFE**

**2020**

Dados Internacionais de Catalogação na Publicação  
Universidade Federal Rural de Pernambuco  
Sistema Integrado de Bibliotecas  
Gerada automaticamente, mediante os dados fornecidos pelo(a) autor(a)

---

C647e

Lapa Neto, Clovis

Efeitos de uma dieta hiperlipídica associada ou não a melatonina exógena durante a gestação e lactação sobre a histofisiologia dos neonatos. / Clovis Lapa Neto. - 2020.  
102 f. : il.

Orientadora: Valeria Wanderley Teixeira.

Coorientadora: Ana Janaina Jeanine Martins de Lemos Jordao.

Inclui referências, apêndice(s) e anexo(s).

Tese (Doutorado) - Universidade Federal Rural de Pernambuco, Programa de Pós-Graduação em Biociência Animal, Recife, 2020.

1. dieta hiperlipídica. 2. histofisiologia. 3. morfometria. 4. antioxidante. 5. pineal. I. Teixeira, Valeria Wanderley, orient. II. Jordao, Ana Janaina Jeanine Martins de Lemos, coorient. III. Título

---

CDD 636.089

---

**CLOVIS JOSÉ CAVALCANTI LAPA NETO**

**“EFEITOS DE UMA DIETA HIPERLIPÍDICA ASSOCIADA OU NÃO A  
MELATONINA EXÓGENA DURANTE A GESTAÇÃO E LACTAÇÃO SOBRE  
A HISTOFISIOLOGIA DOS NEONATOS”**

BANCA EXAMINADORA:

---

**Prof<sup>a</sup>. Dr<sup>a</sup>. Valéria Wanderley Teixeira - (Orientador)**

---

**Prof. Dr. Álvaro Aguiar Coelho Teixeira - UFRPE**

---

**Dr<sup>a</sup>. Ismaela Maria Ferreira de Melo - UFRPE**

---

**Prof<sup>a</sup>. Dr<sup>a</sup>. Fernanda das Chagas Ângelo Mendes Tenório – UFPE**

---

**Prof. Dr. Francisco de Assis Leite Souza - UFRPE**

## AGRADECIMENTOS

Primeiramente a Deus, pois sem Ele nada seria possível, a Ele nossas vidas pertencem.

A Universidade Federal Rural de Pernambuco, pela estrutura e oportunidade fornecida para realização deste trabalho, e ao Programa de Pós-Graduação em Biociência Animal, tornando possível a obtenção do título de Doutor em Biociência Animal. A FACEPE pelo respaldo financeiro durante o decorrer do trabalho.

Aos meus orientadores Prof<sup>a</sup>. Dr<sup>a</sup> Valéria Wanderley Teixeira e Prof. Dr. Álvaro Aguiar Coelho Teixeira, por terem me guiado durante este trabalho e também na minha vida profissional, para que cada dia possa evoluir dentro da minha profissão, e um dia quem sabe, poder chegar perto da qualidade de professores e pesquisadores que são. Agradeço a Ana Janaina Jeanine por ter me acolhido e ensinado grande parte do que aprendi até hoje, e continua me ensinando como co-orientadora.

Agradeço também aos amigos funcionários do biotério, Marcos André e Renata Carneiro, sem eles, não apenas a minha pesquisa, como a de muitos outros não iriam para frente, devido ao cuidado e atenção dado aos animais.

A todos os amigos (as) / irmãos (ãs) do laboratório de Histologia da UFRPE. Solange Bezerra que foi a precursora deste trabalho, e me ajudou tirando dúvidas e me guiando durante a pesquisa. As meninas companheiras de sala e de laboratório, Caroline Guimarães, Cintia Giselle, sou grato a todas. Ismaela Melo, Ketsia Sabrina, Ilka Dayane, Cristiane Talita, Lais Santos, Aline Mariano. Aos meus grandes amigos Franklin Magliano, Tiago Alves, e Gyl Souza.

Minha querida esposa Cibele Alves, você que me aturou por todo esse tempo, sempre me guiando, me dando broncas, resolvendo problemas de estatística e gráficos, mas que no final sempre dava certo. Agradeço sempre a Deus pelo nosso casamento e por ter você ao meu lado, agradeço também a meus dois “filhos peludos”, Rengar e Niko, por serem uma fonte de alegria em casa e conseguir aliviar qualquer estresse gerado durante o dia.

Por último aos meus pais (Tânia Lapa e Ismael Lapa), pessoas escolhidas por Deus para serem meus guias, por todo apoio durante esta caminhada, tanto afetivo, moral, até mesmo financeiro, pelos sacrifícios de tantos anos de criação para um

35 dia eu pudesse chegar onde estou, aos meus avós maternos Maria de Fátima e  
36 Ubirajara Felix, minha avó paterna Terezinha Lapa, por acreditarem que um dia seu  
37 neto seria um “DR.”. Fica aqui meu eterno obrigado.

38

39

40

41

42

43

44

45

46

47

48

49

50

51

52

53

54

55

56

57

58

59

60

61

62

63

64

65

66

67

68

69

70

71

72 **RESUMO**

73 A má-nutrição intra-uterina pode “programar” os tecidos fetais de maneira a  
74 torná-los mais vulneráveis a desordens relacionadas à alimentação tais como  
75 diabetes tipo 2, síndrome metabólica e doenças crônico-degenerativas na  
76 idade adulta. A melatonina, produto hormonal da glândula pineal, é a algum  
77 tempo utilizada com efeitos no tecido adiposo, melhorando a sensibilidade à  
78 insulina, este hormônio tem efeitos atenuadores da lesão celular induzida por  
79 radicais livres, sendo assim considerada um dos mais poderosos agentes anti-  
80 oxidantes naturais. Assim, a presente pesquisa teve como objetivo investigar  
81 os efeitos de uma dieta hiperlipídica durante a gestação e lactação sobre a  
82 histofisiologia renal e hepática de neonatos após desmame e como a  
83 melatonina exógena pode influenciar nesse processo. Foram utilizadas 40 ratas  
84 albinas, divididas em 4 grupos Grupo DC: ratas prenhas submetidas à dieta  
85 comum; Grupo DC+ Mel ratas prenhas submetidas à dieta comum e  
86 administradas com melatonina (5,0mg / kg); Grupo DH: ratas prenhas  
87 submetidas à dieta hiperlipídica; Grupo DH+Mel: ratas prenhas submetidas à  
88 dieta hiperlipídica e administradas com melatonina(5,0mg / kg).. Foram  
89 dosados: uréia, creatinina, proteínas totais, albumina e óxido nítrico,  
90 hemograma completo, contagem diferencial de leucócitos além de  
91 histopatologia, histoquímica e morfometria do rim e fígado. Os animais do  
92 grupo DH demonstraram glomerulonefrite e atrofia glomerular nos rins,  
93 tumefação celular em torno dos vasos, esteatose e alguns núcleos picnóticos  
94 nos hepatócitos no fígado, além de alterações bioquímicas e no hemograma. A  
95 melatonina normalizou os parâmetros bioquímicos hepáticos e renais, tanto  
96 como os valores do hemograma e alterações histoquímicas, e histopatológicas  
97 de ambos os órgãos. Assim, concluímos que a melatonina tem um grande  
98 potencial em reverter os danos na função hepática e renal da prole de ratos  
99 devido a uma dieta hiperlipídica durante a gestação e a lactação

100

101 **Palavras-chave:** dieta hiperlipídica; ratos; histofisiologia; morfometria; fígado;  
102 rim, antioxidante, pineal

103

104

105

106 **ABSTRACT**

107

108 Intrauterine malnutrition can “program” fetal tissues to make them more  
109 vulnerable to eating disorders such as type 2 diabetes, metabolic syndrome and  
110 chronic degenerative diseases in adulthood. Melatonin, a hormonal product of  
111 the pineal gland, has been used for some time with effects on adipose tissue,  
112 improving insulin sensitivity, this hormone has mitigating effects on cell damage  
113 induced by free radicals, thus being considered one of the most powerful anti-  
114 oxidant agents. natural. Thus, the present research aimed to investigate the  
115 effects of a high-fat diet during pregnancy and lactation on the renal and hepatic  
116 histophysiology of neonates after weaning and how exogenous melatonin can  
117 influence this process. Forty albino rats were used, divided into 4 groups DC  
118 Group: pregnant rats submitted to the common diet; DC + Honey Group  
119 pregnant rats submitted to the common diet and administered with melatonin  
120 (5.0mg / kg); DH group: pregnant rats submitted to a high-fat diet; DH + Mel  
121 Group: pregnant rats submitted to a high-fat diet and administered with  
122 melatonin (5.0mg / kg). The following were measured: urea, creatinine, total  
123 proteins, albumin and nitric oxide, complete blood count, differential leukocyte  
124 count in addition to histopathology, histochemistry and morphometry of the  
125 kidney and liver. The animals in the DH group showed glomerulonephritis and  
126 glomerular atrophy in the kidneys, cell swelling around the vessels, steatosis  
127 and some pycnotic nuclei in the hepatocytes in the liver, in addition to  
128 biochemical and blood cell changes. Melatonin normalized the hepatic and  
129 renal biochemical parameters, as well as the blood count and histochemical  
130 changes, and histopathological values of both organs. Thus, we conclude that  
131 melatonin has a great potential to reverse the damage in the liver and kidney  
132 function of the offspring of rats due to a hyperlipidic diet during pregnancy and  
133 lactation.

134 **Keywords:** hyperlipidic diet; rats; histophysiology; morphometry; liver; kidney,  
135 antioxidant, pineal

136

137

138

139

140

## SUMÁRIO

141

Capítulos	Pág.
I	
1. INTRODUÇÃO.....	13
2. REVISÃO DE LITERATURA.....	15
2.1 Obesidade.....	15
2.1.1 Obesidade e tecido adiposo.....	16
2.2 Dietas e Gestação .....	18
2.3 Comorbidades Associadas à Obesidade.....	20
2.3.1 Obesidade, Lesões Hepáticas e Renais.....	21
2.3.2 Obesidade e Danos Oxidativos.....	22
2.4 Síntese e Ação da Melatonina .....	24
2.5 Melatonina e Tecido Adiposo.....	25
3. REFERÊNCIAS .....	27
II	
EFEITOS DE DIETA HIPERLIPÍDICA ASSOCIADA OU NÃO A MELATONINA EXÓGENA DURANTE A GESTAÇÃO E LACTAÇÃO SOBRE A HISTOFISIOLOGIA RENAL DOS NEONATOS.....	34
INTRODUÇÃO.....	36
MATERIAL E MÉTODOS .....	37
RESULTADOS .....	42

DISCUSSÃO.....	44
CONCLUSÃO.....	46
REFERÊNCIAS.....	46
 III EFEITOS DE DIETA HIPERLIPÍDICA ASSOCIADA OU NÃO A MELATONINA EXÓGENA DURANTE A GESTAÇÃO E LACTAÇÃO SOBRE A HISTOFISIOLOGIA DO FÍGADO DE NEONATOS.....	56
INTRODUÇÃO.....	58
MATERIAL E MÉTODOS .....	60
RESULTADOS .....	62
DISCUSSÃO .....	70
CONCLUSÃO.....	73
REFERÊNCIAS.....	73
 142	
143	
144	
145	
146	
147	
148	
149	
150	
151	
152	
153	
154	
155	

156	<b>LISTA DE FIGURAS</b>
157	
158	<b>Capítulo II</b>
159	
160	<b>Figura 1.</b> Rins dos filhotes dos grupos experimentais: A) DH; B) DH + Mel; apresentando regiões com glomerulonefrite proliferativa (seta longa) e atrofia glomerular (seta curta). C). DC; D) DH + Mel; apresentando glomerulonefrite branda e glomérulos normais (*). Coloração H.E.....
161	52
162	
163	
164	
165	<b>Gráfico 1.</b> Média dos valores da quantificação de colágeno por Tricrômico de Mallory nos rins dos filhotes das ratas dos grupos experimentais.....
166	53
167	
168	<b>Figura 2.</b> Imunohistoquímica para o IL-1 nos rins dos filhotes dos grupos experimentais. A) DH; B) DH+Mel; C) DC; D) DC+Mel; E) Controle negativo; F) Quantificação em pixels do IL-1. Observar maior marcação (detalhes) no grupo DH. As médias seguidas pela mesma letra não diferiram significativamente entre si pelo teste de Wilcoxon-Mann-Whitney ( $P > 0,05$ ).....
169	54
170	
171	
172	
173	
174	<b>Capítulo III</b>
175	
176	<b>Figura 1.</b> Histopatologia do fígado dos filhotes dos grupos experimentais. A) DC – Dieta Comum e B) DC+Mel. Observar hepatócitos preservados (seta curta); C) DH e D) DH+Mel. Notar a presença de núcleo picnótico em hepatócitos (cabeça de seta), esteatose (seta longa nos detalhes I e II) e hepatócito com tumefação celular (detalhes I e II). Coloração HE.....
177	64
178	
179	
180	
181	
182	<b>Figura 2.</b> Histoquímica do fígado dos filhotes dos grupos experimentais para a quantificação de glicogênio. A) DC – Dieta Comum; B) DC+Mel – Dieta Comum + Melatonina; C) DH – Dieta Hipercalórica; D) DH+Mel – Dieta Hipercalórica + Melatonina. Coloração PAS.....
183	66
184	
185	
186	
187	<b>Gráfico 1.</b> Média dos valores da quantificação de glicogênio por Ácido Periódico de Schiff (PAS) no fígado dos filhotes das ratas dos grupos experimentais.....
188	67
189	

190	<b>Figura 3.</b> Histoquímica dos fígados dos filhotes dos grupos experimentais para	
191	a quantificação de colágeno. A) DC – Dieta Comum; B) DC+Mel – Dieta	
192	Comum + Melatonina; C) DH – Dieta Hipercalórica; D) DH+Mel – Dieta	
193	Hipercalórica + Melatonina. Coloração Picosírius.....	68
194		
195	<b>Gráfico 2.</b> Média dos valores da quantificação colágeno por picosírius nos	
196	fígados dos filhotes das ratas dos grupos experimentais.....	69
197		
198		
199		
200		
201		
202		
203		
204		
205		
206		
207		
208		
209		
210		
211		
212		
213		
214		
215		
216		
217		
218		
219		
220		
221		
222		
223		

## LISTA DE TABELAS

224	<b>Capítulo II</b>	
225		
226	<b>Tabela 1.</b> Média ± desvio padrão dos parâmetros bioquímicos dos filhotes de	
227	21 dias de idade dos ratos dos grupos experimentais.....	62
230		
231	<b>Tabela 2.</b> Valores médios de leucócitos (WBC), eritrócitos (RBC), hemoglobina	
232	(HGB), hematócrito (HCT), volume corpuscular médio (VCM), hemoglobina	
233	corpuscular média (CHCM), plaquetas (PLT) e proteínas plasmáticas totais	
234	(PPT) dos filhotes de 21 dias.....	50
235		
236	<b>Tabela 3.</b> Contagem diferencial de leucócitos de filhotes com 21 dias de	
237	nascidos.....	51
238		
239	<b>Tabela 4.</b> Média ± desvio padrão do diâmetro do glomerular (DG), volume do	
240	glomérulo (VG) e diâmetro (DCB) e volume (VCB) da cápsula de Bowman dos	
241	rins dos filhotes das ratas dos grupos experimentais.....	55
242		
243	<b>Capítulo III</b>	
244		
245	<b>Tabela 1.</b> Média ± desvio padrão dos parâmetros bioquímicos dos filhotes de	
246	21 dias de idade dos ratos dos grupos experimentais.....	62
247		
248	<b>Tabela 2.</b> Média ± desvio padrão do percentual do parênquima lobular e não	
249	lobular do fígado dos filhotes com 21 dias.....	69
250		
251		
252		
253		
254		
255		
256		
257		

258

## CAPÍTULO I

259

### 260 1. INTRODUÇÃO

261       A ingestão excessiva de gorduras devido a mudanças no hábito alimentar  
262 e nutricional durante o século favorece o aparecimento de todas as co-  
263 morbidades relacionadas a ela, como a hipertensão arterial, o diabetes mellitus,  
264 as hiperlipidemias e as doenças cardiovasculares (WHO, 2018). Além da  
265 relação entre gordura, peso corporal e lipoproteínas, os lipídios também podem  
266 tornar um organismo mais suscetível à danos oxidativos (FERNANDES,  
267 2019).

268       Há evidências de que a má-nutrição intra-uterina pode “programar” os  
269 tecidos fetais de maneira a torná-los mais vulneráveis a desordens  
270 relacionadas à alimentação tais como diabetes tipo 2, síndrome metabólica e  
271 doenças crônico-degenerativas na idade adulta (LIMA 2018). Estudos  
272 experimentais que investigam a programação neonatal e doenças metabólicas  
273 em adultos têm se concentrado principalmente nos efeitos da restrição calórica  
274 ou protéica, cujos efeitos descritos na literatura passam por alterações no  
275 desenvolvimento somático, no consumo alimentar e alterações metabólicas  
276 (CREPALDI 2018). A presença de doenças como a obesidade, e consumo de  
277 dietas ricas em gorduras e/ou diabetes gestacional também tem sido foco  
278 desse tipo de trabalho (AMORIM et al., 2019).

279       Distintos trabalhos demonstram que a melatonina tem um papel no gasto  
280 energético, no ritmo circadiano da glicemia, na regulação da massa corporal e  
281 sobre a secreção e ação da insulina periférica (LIMA et al., 2018). A  
282 melatonina, produto hormonal da glândula pineal, é a algum tempo utilizada  
283 com efeitos no tecido adiposo, melhorando a sensibilidade à insulina. (LIMA et  
284 al., 2018). Este hormônio tem efeitos atenuadores da lesão celular induzida por  
285 radicais livres, devido à sua capacidade de reagir com radicais hidroxila (OH-)  
286 para formar (in vitro e in vivo) a 3-hidroximelatonina cíclica (3-OHM), metabólito  
287 estável da melatonina (REITER, 2016) sendo assim considerada um dos mais  
288 poderosos agentes antioxidantes naturais (TAN et al., 2015).

289       Estudos anteriores mostraram que durante o processo de  
290 envelhecimento, há uma correlação entre uma maior adiposidade visceral e  
291 diminuição dos níveis de melatonina (BJÖRNTORP, 1995). Rasmussen et al.

292 (2001) demonstraram que a administração diária de melatonina em ratos  
293 machos de meia-idade alimentados com dieta hiperlipídica, diminui o peso  
294 corporal, suprime a deposição de gordura visceral e restabelece os níveis  
295 plasmáticos normais de leptina e insulina.

296 Compreender o impacto da obesidade materna e alimentação excessiva  
297 está sendo considerado de grande importância, pois há uma correlação  
298 positiva entre o índice de massa corporal materno (IMC) durante a gravidez e o  
299 risco de obesidade na prole na vida adulta (BEZPALKO et al., 2015). Isto pode  
300 sugerir que alimentação excessiva materna seja um fator de programação para  
301 doenças futuras, semelhantemente às provocadas pela sub-nutrição  
302 (GREGORASZCZUK et al., 2016). No entanto, não há relatos na literatura  
303 sobre os possíveis efeitos benéficos da melatonina sobre a prole, em  
304 decorrência de um desequilíbrio alimentar materno durante a prenhez e  
305 período de lactação. Assim, a presente pesquisa teve o objetivo investigar os  
306 efeitos de uma dieta hiperlipídica durante a gestação e lactação sobre a  
307 histofisiologia renal e hepática de neonatos após desmame e como a  
308 melatonina exógena pode influenciar nesse processo.

309

310

311

312

313

314

315

316

317

318

319

320

321 **2. REVISÃO DE LITERATURA**

322

323 **2.1 OBESIDADE**

324

325       A obesidade é definida como uma condição de acúmulo anormal ou  
326 excessivo de gordura saturadas no tecido adiposo, até níveis que podem trazer  
327 transtornos à saúde. O seu desenvolvimento resulta da hipertrofia e da  
328 hiperplasia dos adipócitos, onde o aumento do tamanho de tais células não é  
329 um processo ilimitado, eventualmente, seu crescimento atinge um grau  
330 máximo, e novas células são lentamente recrutadas para o tecido (FRUH,  
331 2017). O excesso de gordura resulta, portanto, de sucessivos balanços  
332 energéticos positivos, em que a quantidade de energia ingerida é superior à  
333 quantidade de energia utilizada (WHO, 2018).

334       Trata-se de uma doença de proporções epidêmicas sendo considerada  
335 como um dos principais problemas de saúde pública. Cerca de 1,6 bilhões de  
336 adultos são considerados com sobrepeso e 400 milhões, obesos (GAO et al.,  
337 2016). Projeções da Organização Mundial de Saúde (OMS) indicam que em  
338 2025, esse número aumentará consideravelmente, com cerca de 2,3 bilhões de  
339 adultos com sobrepeso, e mais de 700 milhões obesos (WHO, 2018).

340       No Brasil, estima-se que cerca de 50% da população esteja acima do  
341 peso, ou seja, na faixa de sobrepeso e obeso. Em um levantamento oficial  
342 realizado pelo IBGE entre 2008/2009, a prevalência de tal condição cresceu  
343 continuamente. Em adultos, a taxa de sobrepeso aumentou cerca de três vezes  
344 no sexo masculino (de 18,5% para 50,1%) e cerca de duas vezes no sexo  
345 feminino (de 28,7% para 48,0%). No mesmo período, a prevalência da  
346 obesidade aumentou em mais de quatro vezes para homens (de 2,8% para  
347 12,4%) e em mais de duas vezes para mulheres (de 8,0% para 16,9%)  
348 (VIGITEL, 2017; IBGE, 2019).

349       A distribuição geográfica dos indivíduos portadores desse excesso de  
350 peso e obeso é dependente de condições que geralmente podem estar  
351 associadas a diversas características, tais como; idade, sexo e situações  
352 socioeconômicas, além de fatores de riscos relacionados à saúde. Todos estes  
353 aspectos influenciam diretamente os percentuais característicos de crianças e

354 adultos (com faixas etárias distintas) observados nas diferentes regiões do  
355 Brasil (IBGE 2019)

356 A obesidade é classificada baseando-se no índice de massa corporal  
357 (IMC), que é calculado pela razão entre o peso em quilogramas, dividido pela  
358 altura (em metros) elevado ao quadrado ( $IMC=Kg/m^2$ ), e também pelo risco de  
359 comorbidades associadas, em tipos I, II e III, sendo caracterizada quando o  
360 IMC se encontra acima de  $30Kg/m^2$  (WHO, 1995). Apesar de ser utilizado pela  
361 OMS, são necessários outros indicadores que complementem a medição do  
362 IMC. As medidas de obesidade central, circunferência da cintura, e razão  
363 cintura-quadril trazem definições mais exatas da distribuição de gordura  
364 corporal, sendo tais medidas mais relacionadas à comorbidades e mortalidade  
365 subsequente (WHO, 2016).

366 São inúmeras as causas que podem levar ao desenvolvimento desta  
367 enfermidade. A facilidade de acesso e o baixo custo de alimentos altamente  
368 palatáveis e de grande densidade calórica, aliados ao menor requerimento de  
369 atividades físicas na vida diária, fizeram com que a prevalência da obesidade  
370 aumentasse em proporções alarmantes (SOUZA et al., 2018). Fatores  
371 genéticos também participam desse processo, porém acredita-se que apenas  
372 este não pode ser considerado como um fator conclusivo ao desenvolvimento  
373 da obesidade, uma vez que a carga genética humana não mudou tão  
374 drasticamente no curto período de tempo em que a obesidade se difundiu  
375 (VIVOLO e SARNO, 2018).

376 Outros fatores como distúrbios fisiológicos, metabólicos e psicológicos  
377 também parecem influenciar e, além disso, modificações no estilo de vida com  
378 o aumento do consumo de alimentos industrializados, ricos em gorduras e  
379 açúcares contribuíram grandiosamente para o desenvolvimento dessa  
380 patologia (COUTINHO; LINS, 2018).

381

382 *2.1.1. Obesidade e Tecido Adiposo*

383 As células adiposas se originam no embrião, a partir de células derivadas  
384 do mesênquima, os lipoblastos. São semelhantes a fibroblastos, porém logo  
385 acumulam gordura no seu citoplasma. O tecido adiposo (TA) é um tipo especial  
386 de tecido conjuntivo onde se observa a predominância de células adiposas  
387 (adipócitos). Estas células podem ser encontradas isoladas ou em pequenos

388 grupos no tecido conjuntivo comum, porém a maioria delas se agrupa no tecido  
389 adiposo espalhado pelo corpo. Este tecido é o maior depósito de energia (sob  
390 forma de triglicerídeos) do organismo (JUNQUEIRA; CARNEIRO, 2017).

391 Nos mamíferos existem dois tipos de TA: o tecido adiposo branco ou  
392 unilocular (TAB) e o tecido adiposo marrom ou multilocular (TAM). O TAM ou  
393 multilocular é formado por adipócitos caracterizados pela presença de várias  
394 gotículas lipídicas citoplasmáticas de tamanhos diferentes, núcleo esférico e  
395 excêntrico. Apresenta mitocôndrias que não sintetizam ATP, utilizando a  
396 energia liberada pela oxidação de ácidos graxos (AG) para gerar calor  
397 (PEDREIRA et al., 2018). Ao ser estimulado pela liberação de noradrenalina  
398 nas terminações nervosas abundantes em torno das suas células, o tecido  
399 adiposo multilocular acelera sua lipólise e oxidação dos AG. A oxidação dos  
400 AG produz calor e não ATP, porque as mitocôndrias do tecido multilocular  
401 apresentam nas suas membranas internas, uma proteína transmembrana  
402 chamada termogenina, também conhecida como proteína desacopladora-1  
403 (UCP-1). Esta proteína permite a volta para a matriz mitocondrial dos prótons  
404 transportados para o espaço intermembranoso sem que eles passem pelo  
405 sistema de ATP sintetase existente nos corpúsculos elementares das  
406 mitocôndrias. Em consequência, a energia gerada pelo fluxo de prótons não é  
407 usada para sintetizar ATP, sendo dissipada como calor (JUNQUEIRA;  
408 CARNEIRO, 2017).

409 O TAB, por sua vez, armazena os TAGs em uma única e grande gota  
410 lipídica que ocupa de 85-90% do citoplasma e empurra o núcleo e uma fina  
411 camada de citosol para a periferia da célula (JUNQUEIRA; CARNEIRO, 2017).  
412 O armazenamento de lipídios e a sua incorporação em TAG dependem da  
413 captação de ácidos graxos (AG) contidos nos quilomícrons que estão fígado.  
414 Estes são transportados até o tecido adiposo onde sofrem a ação da enzima  
415 lipase de lipoproteínas que os degrada, liberando três moléculas de AG e uma  
416 de glicerol que são transferidas para o tecido adiposo constituindo seus  
417 triglicerídeos (LIMA, 2016). As células adiposas também sintetizam  
418 triglicerídeos a partir do AcetylCoA proveniente da glicólise (KATZUNG.;  
419 MASTERS; TREVOR, 2014).

420 Os adipócitos são as únicas células capazes de armazenar lipídios na  
421 forma de triacilglicerol (TAG). Essas células possuem todas as enzimas

422 necessárias para realização de lipogênese (síntese de ácidos graxos) e para  
423 estocar TAG quando a oferta energética é alta, bem como para mobilizá-lo  
424 quando ocorre escassez de energia (VALERO, MOSQUERA, 2017). As células  
425 hepáticas e o músculo esquelético também acumulam energia, mas sobre a  
426 forma de glicogênio. Os triglicerídeos são mais eficientes como reserva de  
427 energia porque fornecem 9,3 kcal/ g contra apenas 4,1 kcal/ g do glicogênio  
428 (LIMA, 2016).

429 Além dos adipócitos, o TA unilocular possui uma matriz de tecido  
430 conjuntivo (fibras colágenas e reticulares), nervos, vasos sanguíneos, nódulos  
431 linfáticos, células imunes, fibroblastos e pré-adipócitos (JUNQUEIRA;  
432 CARNEIRO, 2017, VALERO, MOSQUERA, 2017).

433 Por apresentar diversas características, o tecido adiposo apresenta  
434 variadas funções, como auxiliar no isolamento térmico do organismo (na  
435 manutenção da temperatura corporal), servir como uma reserva energética  
436 além de atuar como amortecedor, protegendo o organismo contra choques  
437 mecânicos. Entretanto, o TA também produz várias substâncias com efeitos  
438 biológicos, como por exemplo: estrogênios, leptina, IL-6, TNF-alfa, adiponectina,  
439 estabelecendo uma atividade endócrina desse tecido. (JUNQUEIRA;  
440 CARNEIRO, 2017).

441

## 442 **2.2. DIETAS E GESTAÇÃO**

443

444 Experimentalmente diversos tipos de dietas disponíveis com o intuito de  
445 promover obesidade são observados. Em animais de laboratório, a gênese da  
446 obesidade está relacionada, em sua maioria, a mutações genéticas, porém  
447 esse modelo é muito distante do observado nos humanos (ROSINI; SILVA;  
448 MORAES, 2012).

449 A adoção de dietas hipercalóricas ou dietas hiperlipídicas tem sido muito  
450 utilizada como um modelo de indução de obesidade em animais de laboratório.  
451 Este modelo em particular é extremamente útil nas pesquisas de obesidade em  
452 animais devido a sua grande semelhança com a gênese e com as respostas  
453 metabólicas decorrentes da obesidade em humanos, ou seja, a obesidade é a  
454 causa de um balanço energético positivo gerado por fatores ambientais, como

455 por exemplo, o consumo em excesso de alimentos altamente calóricos e o  
456 sedentarismo (FRUH, 2017).

457 Alguns estudos têm demonstrado a eficácia da ingestão de dietas  
458 hipercalóricas ou dietas hiperlipídicas na gênese da obesidade e de suas  
459 comorbidades, os animais da linhagem Wistar são utilizados em estudos em  
460 que a obesidade é induzida por dietas, e os resultados mostram que o peso  
461 corporal encontra-se aumentado. Ratos Wistar tratados com dieta hipercalórica  
462 e hiperlipídica durante três meses aumentaram aproximadamente 1,4 vez a  
463 massa corporal quando comparados com animais-controle (NINAHUAMAN et  
464 al., 2017).

465 É bem sabido que a ingestão de dietas hiperlipídicas está relacionada ao  
466 desenvolvimento da obesidade. Pesquisadores observaram que ácidos graxos  
467 saturados de cadeia longa ligam-se a receptores do tipo Toll (TLR2 e TLR4)  
468 das micróglias, células protetoras do hipotálamo, estimulando a produção de  
469 citocinas pró-inflamatórias (IL-6, TNF- $\alpha$ , IL-1 $\beta$ ) e, consequentemente,  
470 destruindo os neurônios responsáveis pelo controle do apetite e da  
471 termogênese (ROMANATO et al. 2016).

472 O número de mulheres em idade reprodutiva consumidoras de dietas  
473 hiperlipídicas vem aumentando consideravelmente nos últimos anos,  
474 despertando interesse sobre os efeitos na saúde da prole de mães  
475 consumidoras desse tipo de dieta (IBGE, 2019).

476 O ganho excessivo de peso materno pode induzir à diabetes gestacional,  
477 macrossomia fetal, dificuldades no parto e hipoglicemia do recém-nascido no  
478 período perinatal. Segundo Borengasser et al. (2014), a saúde, crescimento e  
479 desenvolvimento do recém-nascido estão relacionados com seu peso ao  
480 nascer e este é diretamente dependente do estado nutricional materno antes  
481 da concepção e gestação. Estudos têm demonstrado que a nutrição pré e pós-  
482 natal influenciam diretamente na predisposição de doenças crônicas  
483 associadas a alimentação, tais como obesidade, hipertensão e doenças  
484 cardiovasculares na vida adulta (GOHIR et al., 2019).

485 Segundo Mahany et al. (2018), o ambiente intrauterino rico em glicose  
486 (moderada ou severa hiperglicemia materna) induz hiperplasia nas células  
487 pancreáticas dos neonatos, bem como promove o aumento dos níveis de  
488 insulina no plasma.

489 **2.3. COMORBIDADES ASSOCIADAS À OBESIDADE**

490

491 A obesidade é um dos principais fatores de risco responsáveis pela  
492 maioria das mortes e doenças no mundo. Suas complicações incluem o  
493 diabetes mellitus tipo 2, a hipercolesterolemia, a hipertensão arterial, doenças  
494 cardiovasculares, apnéia do sono, problemas psico-sociais, doenças  
495 ortopédicas e diversos tipos de câncer. Recentemente, manifestações  
496 metabólicas como resistência à insulina, obesidade abdominal, dislipidemia e  
497 hipertensão foram agrupadas em uma única síndrome denominada Síndrome  
498 Metabólica (SM) (WHO, 2018).

499 A síndrome metabólica é definida como a associação de pelo menos três  
500 fatores de risco: obesidade abdominal, hipertensão arterial e  
501 hipertrigliceridemia, sendo essa associação considerada precursora de  
502 doenças cardiovasculares e diabetes tipo 2 (OLIVEIRA, GUEDES, 2017). A  
503 diabetes tipo 2 pode ser resultado do excesso de tecido adiposo que pode  
504 gerar resistência à insulina. Essa resistência ocorre devido a algumas  
505 alterações como excesso de ácidos graxos livres na circulação, liberação de  
506 citocinas e acúmulo de ácidos graxos em outros tecidos como músculo, fígado  
507 e pâncreas (OSAIDA, FRIZZO, 2018).

508 As células  $\beta$  pancreáticas são aquelas responsáveis pela liberação  
509 insulina de acordo com a glicemia plasmática. Em indivíduos obesos, estas  
510 células aumentam a secreção e liberação de insulina em resposta ao estado de  
511 resistência à insulina (RESENDE et al., 2016). A transição do estado de  
512 obesidade para diabetes tipo 2 ocorre no momento em que as células  $\beta$   
513 pancreáticas perdem a capacidade de funcionar corretamente em resposta às  
514 concentrações glicêmicas (NEWGARD, 2017). Em modelos de obesidade, a  
515 resistência à insulina está associada à redução da expressão de transportador  
516 de glicose (GLUT4) e/ou prejuízo na via de sinalização da insulina em músculo  
517 esquelético e tecido adiposo, o que está associado a um quadro de inflamação  
518 subclínica característico da obesidade, resultante da maior circulação de  
519 fatores pró-inflamatórios como o fator de necrose tumoral (TNF- $\alpha$ ), interleucina-  
520 1b (IL-1 $\beta$ ), entre outros (PANVELOSKI-COSTA, et al., 2011).

521

522

523 2.3.1. *Obesidade, lesões Hepáticas e renais*

524

525 A doença do fígado gorduroso não-alcoólica (nonalcoholic fatty liver  
526 disease, NAFLD) é considerada a manifestação hepática da síndrome  
527 metabólica (LOMBARDO et al., 2012). Engloba alterações como a esteatose, a  
528 cirrose e o carcinoma hepatocelular, e está intimamente associada a  
529 obesidade, diabetes e resistência à insulina (LOMBARDO et al., 2012). Os  
530 ácidos graxos que chegam ao fígado são provenientes de três fontes principais:  
531 os originários da dieta, absorvidos ao longo do intestino delgado e carreados  
532 como quilomícrons através da veia porta; os que derivam da hidrólise da  
533 gordura dos tecidos adiposos periféricos ou a partir da transformação de  
534 aminoácidos e, mais freqüentemente, de carboidratos no interior do próprio  
535 fígado. Uma vez nos hepatócitos, esses ácidos graxos poderão ser  
536 transformados de três maneiras: a primeira ocorre ao nível das mitocôndrias e  
537 dos peroxissomas e envolve a  $\beta$ -oxidação dos ácidos graxos para fornecimento  
538 de energia alternativa, resultando na formação de gás carbônico, água e  
539 corpos cetônicos. Alternativamente, poderão ser esterificados para formar  
540 triglicérides, que junto com colesterol, fosfolípides e apolipoproteínas irão  
541 compor as lipoproteínas de muito baixa densidade (VLDL). O VLDL formado é,  
542 então, secretado para a corrente sanguínea. Dessa forma, em condições  
543 normais o fígado não acumula gordura no interior do hepatócito (TILG et al.,  
544 2016).

545 Em várias populações, a elevação do IMC e a presença de síndrome  
546 metabólica se associam com diminuição da função renal e aparecimento de  
547 doença renal terminal, independentemente da presença de pressão arterial e  
548 diabetes (SCHELB et al., 2019). Mende et al. (2019) propõe que a deposição  
549 de gordura visceral poderia determinar compressão da cápsula renal,  
550 determinando retenção hidrossalina por ativação do sistema renina  
551 angiotensina aldosterona, além do aumento da atividade adrenérgica. Isso  
552 poderia causar alterações na hemodinâmica glomerular, ocasionando lesões e  
553 aparecimento de microalbuminúria.

554 Além disso, sabe-se que na patologia renal, a indução da obesidade  
555 utilizando-se dieta hipercalórica promove um aumento no inibidor ativador do  
556 plasmiogênio-1 (PAI-1), no fator de crescimento endotelial vascular (VEGF),

557 colágeno tipo IV e fibronectina resultando em glomeruloesclerose e proteinúria  
558 (RHEE et al., 2018).

559 O VEGF pertence a um grupo de glicoproteínas diméricas que inclui o  
560 fator de crescimento placentário (PLGF), VEGF-A, VEGF-B, VEGF-C, VEGF-D,  
561 VEGF-E, e VEGF-F. Atua diretamente através dos receptores VEGFR-1 e  
562 VEGFR-2, expressos principalmente no endotélio vascular. A ligação do VEGF  
563 a esses receptores causa influxo de cálcio citoplasmático, aumentando sua  
564 concentração em até quatro vezes (SIMONS et al., 2016), promovendo  
565 também um aumento da permeabilidade das vênulas às macromoléculas, o  
566 que permite que proteínas plasmáticas extravasem, levando a coagulação do  
567 fibrinogênio e deposição de gel de fibrina que serve como matriz provisória  
568 para o crescimento de novos vasos sanguíneos, características que podem ser  
569 observadas em diversos processos fisiopatológicos, como nas alterações  
570 renais de diversos pacientes com obesidade (RAFII, CARMELIET, 2016).

571

### 572 2.3.2. *Obesidade e danos oxidativos*

573

574 Estresse oxidativo é definido como um desequilíbrio entre antioxidantes e  
575 espécies reativas de oxigênio (EROs) a favor dos últimos. As EROs, que  
576 incluem radicais livres, são continuamente produzidas no corpo e têm  
577 importante papel fisiológico em baixas concentrações. Em altas concentrações,  
578 devido a sua alta reatividade, as EROs causam lesões irreversíveis através de  
579 alterações oxidativas em lipídios, proteínas e no DNA. Suspeita-se que  
580 alterações nestas estruturas estejam ligadas ao desenvolvimento de várias  
581 patologias humanas incluindo o câncer (SIES et al., 2017).

582 O estresse oxidativo é uma reação deletéria desencadeada por efeitos  
583 tóxicos causados por radicais livres no interior da célula (BARBOSA et al.,  
584 2010, SIES et al., 2017). As espécies reativas ao oxigênio (EROs) são átomos,  
585 íons ou moléculas que contém oxigênio com um elétron não-pareado em sua  
586 órbita externa. São caracterizados por grande instabilidade e elevada  
587 reatividade e tendem a ligar o elétron não-pareado com outros presentes em  
588 estruturas próximas de onde os EROs se formam, comportando-se como  
589 receptores (oxidantes) ou doadores (redutores) de elétrons. O potencial  
590 destrutivo do oxigênio é atribuído a sua possibilidade de desviar-se do estado

591 estável diradical ( $O_2$ ) para um estado de forma ativa, tal como o oxigênio  
592 singlete ( $^1O_2$ ) e no estado de radical livre conhecido como radical ânion  
593 superóxido (REIS et al., 2008, SIES et al., 2017). Os lipídios são as  
594 biomoléculas mais suscetíveis a reagir com EROS (SIES et al., 2017).

595 No fígado, a progressão da esteatose hepática está relacionada à ação  
596 de citocinas pró-inflamatórias, à disfunção mitocondrial e ao estresse oxidativo  
597 (LEITE; JAMAR; CARANTI, 2014). Stranahan et al. (2011) observaram, que a  
598 indução da alimentação rica em gordura saturada e açúcares simples em ratos  
599 aumentou o ganho de peso e as concentrações séricas de colesterol, assim  
600 como seu acúmulo no fígado e no hipocampo. Segundo os autores, o acúmulo  
601 de colesterol no hipocampo está relacionado ao maior estresse oxidativo,  
602 resultando em consequências na função neural.

603 Em pessoas obesas, existem vários fatores que interferem na  
604 suscetibilidade do indivíduo à presença de lesões oxidativas. Dentre eles  
605 merecem destaque a hiperglicemia, a atividade muscular aumentada, os  
606 elevados níveis de lipídios teciduais, a inflamação crônica, as defesas  
607 antioxidantes inadequadas e a hiperleptinemia (FRANÇA et al., 2013). A  
608 obesidade pode produzir peroxidação lipídica de três maneiras: aumentando a  
609 necessidade metabólica do miocárdio, o que aumenta o consumo de oxigênio e  
610 consequentemente a produção de EROS; através da lesão celular progressiva  
611 e cumulativa devido à pressão exercida pela grande massa corporal, levando a  
612 produção de citocinas e EROS; ou através de uma dieta hiperlipêmica,  
613 alterando o metabolismo do oxigênio, pois as moléculas dos ácidos graxos com  
614 duplas ligações são vulneráveis a reações oxidativas e consequentemente  
615 podem levar a peroxidacão lipídica (NEVES, 2010). O processo de peroxidação  
616 lipídica pode iniciar-se em membranas celulares, especialmente na membrana  
617 interna da mitocôndria, quando o radical hidroxila busca abstrair o hidrogênio  
618 das ligações C-H da cadeia dos ácidos graxos poli-insaturados. Esta condição  
619 trará consequências homeostáticas severas para a membrana, refletindo,  
620 principalmente, na sua perda de integridade, permeabilidade e fluidez (KAGAN,  
621 2018). Os produtos formados das oxidações dos lipídios (malondialdeídos)  
622 podem ser quantificados em espectrofotômetro por técnicas específicas  
623 laboratoriais (OLIVEIRA et al., 2015).

624 Dessa forma, como o dano oxidativo é uma condição presente  
625 observada no desenvolvimento da obesidade e das suas comorbidades, a  
626 administração de substâncias antioxidantes, que pudessem neutralizar os  
627 radicais livres ou elevar a defesa antioxidantas nesses portadores poderia  
628 apresentar-se como uma alternativa aos diversos tipos de tratamentos já  
629 existentes. Um potente agente antioxidant produzido naturalmente pelo  
630 organismo é a melatonina, hormônio produzido e secretado pela glândula  
631 pineal, que desempenha diversas funções fisiológicas (MAGANHIN et al.  
632 2013).

633

#### 634 **2.4. SÍNTSE E AÇÃO DA MELATONINA**

635

636 Nos mamíferos, a integração entre a temporalidade externa e interna, ou  
637 seja, a percepção entre o claro e o escuro, é fornecida pelos núcleos  
638 supraquiasmáticos (NSQ) do hipotálamo (FUCHS et al., 2010), que recebem  
639 informações da luminosidade advindas diretamente do ambiente através do  
640 feixe nervoso retino-hipotalâmico (BUENO; WEY, 2012). A partir destas  
641 informações, os NSQ trabalham como um relógio fornecendo o sinal para a  
642 sincronização da ordem temporal interna com o ciclo claro/escuro dado pelo  
643 movimento de rotação da terra (PEREIRA; TUFIK; PEDRAZZOLI, 2009). As  
644 mensagens, que partem dos NSQ, são transmitidas para neurônios do  
645 segmento cervical da medula, e, em seguida, são enviadas para os gânglios  
646 simpáticos cervicais superiores, e destes para a glândula pineal (HIRIART,  
647 2012).

648 Esta glândula, também conhecida como epífise, está localizada no teto do  
649 terceiro ventrículo entre os dois hemisférios cerebrais, originando-se do  
650 diencéfalo (MAGANHIN et al., 2013). É um órgão endócrino ativo, formado por  
651 células com função neurosecretora, os pinealócitos, e por células intersticiais  
652 semelhantes às células da glia (COMMENTZ; HELMKE, 1995). Seus produtos  
653 bioquimicamente específicos são indolaminas e peptídeos. A melatonina, uma  
654 indolamina, é o mais bem estudado dos produtos pineais (CALVO et al., 1995).  
655 Possui baixo peso molecular e característica anfifílica, ou seja, difunde-se tanto  
656 nos meios lipofílicos como hidrofílicos (CIPOLLA-NETO; AFECHE, 2008),  
657 permitindo sua entrada em qualquer compartimento do organismo.

658 Em humanos também é conhecida como N-acetil-5-metoxitriptamina, um  
659 composto orgânico de coloração amarelo-claro, que é transportada no plasma  
660 ligado a proteínas, em especial à albumina, tendo sua vida média variando  
661 entre 30 e 60 minutos (MAGANHIN et al., 2013).

662 A melatonina é sintetizada pelos pinealócitos a partir do neurotransmissor  
663 serotonina, o qual, por sua vez, tem como precursor o aminoácido triptofano  
664 (MAGANHIN et al., 2013). Esse processo ocorre quando a enzima  
665 triptofanohidroxilase (TH) converte o triptofano em 5-hidroxitriptofano (5-HTP).  
666 Posteriormente a 5-hidroxitriptofano descarboxilase (5-HTPD) remove o grupo  
667 alfa-carboxil terminal do 5-HTP e o transforma em serotonina. A N-  
668 acetiltransferase (NAT) catalisa a transferência do grupo acetil para a  
669 serotonina a partir do acetil-CoA, resultando na formação da N-acetylserotonina  
670 (NAS). Por fim, a enzima hidroxindol-O-metiltransferase (HIOMT) catalisa a  
671 reação de conversão do NAS em melatonina (MARONDE et al., 2011). Como a  
672 HIOMT só pode ser fabricada na ausência de luz, o mesmo ocorre com a  
673 melatonina, que é então denominada de agente endócrino da escuridão  
674 (HIRIART et al., 2012).

675

## 676 **2.5. MELATONINA E TECIDO ADIPOSO**

677

678 A atividade funcional do tecido adiposo demonstra forte correlação com  
679 os ritmos circadianos, comprovando que existe um elo entre a glândula pineal e  
680 esse tecido. Os níveis circulantes de algumas citocinas como adiponectina,  
681 leptina, IL-6 e TNF- $\alpha$ , apresentam um perfil oscilatório num período de 24  
682 horas, atestando essa correlação. A desregulação desse ritmo correlaciona-se  
683 com aumento do risco de obesidade, doenças cardiovasculares, diabetes,  
684 hipertensão, resistência à insulina, hipercolesterolemia e hipertrigliceridemia  
685 (SINGH; JADHAV, 2014).

686 Estudos apontam que a melatonina tem um importante papel na  
687 regulação da massa corpórea e balanço energético, podendo atuar de forma  
688 direta nos adipócitos, através de receptores MT1 e MT2 (TRUFAKIN et al.,  
689 2014). Segundo Alonso-Vale et al. (2004), a produção normal de leptina pelo  
690 TAB de ratos pinealectomizados se mostrou reduzida em relação aos animais  
691 intactos durante o jejum. Outros trabalhos confirmaram ainda que a

692 pinealectomia leva a um quadro de resistência à insulina devido a uma queda  
693 de mais de 50% na quantidade de transportadores GLUT-4 nas células do  
694 tecido adiposo e muscular, e que a reposição noturna de melatonina nesses  
695 animais provocava a reversão completa do quadro (SANTOS, 2018).

696 Segundo Stenvers et al., (2019), o tratamento crônico com melatonina  
697 induz aumento da sensibilidade à insulina acompanhada de regulação positiva  
698 das etapas iniciais da ação do hormônio no hipotálamo, fígado, músculo  
699 esquelético e tecido adiposo.

700

701

702

703

704

705

706

707

708

709

710

711

712

713

714

715

716

717

718 3. REFERÊNCIAS

719

- 720 ALONSO-VALE, M.I.C; FORATO-ANHÉ, G.; BORGES-SILVA, C.N.;  
721 ANDREOTTI, S; PERES, S. B.; CIOPOLLA-NETO, J.; LIMA, F.B.; Pinealectomy  
722 alters adipose tissue adaptability to fasting in rats. **Metabolism.** v. 53, p. 500-  
723 506, 2004.
- 724 AMORIM, R. G.; GUEDES, G. S.; VASCONCELOS, S. M. L. Doença Renal do  
725 Diabetes: Cross-Linking entre Hiperglicemia, Desequilibrio Redox e Inflamação.  
726 Arquivo Brasileiro de Cardiologia. v. 112, n. 5, p. 577-587, 2019.
- 727 BALIKCIOGLU P.G., NEWGARD C.B. Metabolomic Signatures and Metabolic  
728 Complications in Childhood Obesity. Pediatric Obesity. Contemporary  
729 Endocrinology. P. 343-361. 2018.
- 730 BEZPALKO L.; et al. Inflammatory response in visceral fat tissue and liver is  
731 prenatally programmed: Experimental research. **J Physiol Pharmacol**, v. 66, n.  
732 1, p. 57-64, 2015
- 733 BORENGASSER, S.J.; et al. High fat diet and in utero exposure to maternal  
734 obesity disrupts circadian rhythm and leads to metabolic programming of liver in  
735 rat offspring. **PLoS One.** v. 9, n. 1, p. 1-13, 2014
- 736 BUENO, C.; WEY, D. Gênese e ontogênese do ritmo de sono/ vigília em  
737 humanos. **Rev. Biol.** v. 9, n. 3, p. 62-67, 2012.
- 738 CALVO, J. R.; RAFII-EL-IDRISSI, M.; POZO, D.; GUERRERO, J. M.;  
739 Immunomodulatory role of melatonin: specific binding sites in human and rodent  
740 lymphoid cells (review). **J. Pineal Res.** v.18, p. 119-126, 1995.
- 741 CIOPOLLA-NETO, J.; AFECHE, S. C. Glândula pineal. In: Aires MM (Ed.) **Fisiol.**  
742 3º ed. Rio de Janeiro: Editora Ganabara Koogan, p. 981-990, 2008.
- 743 COMMENTZ, J. C.; HELMKE, K. Precocious puberty and decreased melatonin  
744 secretion due to a hypothalamic hamartoma. **Horm.Res.**, v.44, n. 6, p. 271-275,  
745 1995.

- 746 CREPALDI, T. D. Goji Berry (*Lycium barbarum*) normaliza insulinemia e a  
747 sensibilidade hepática à insulina de ratos Wistar alimentados com dieta  
748 enriquecida com carboidratos simples. Dissertação apresentada ao Programa  
749 de Pós-graduação de Ciências Biológicas, Universidade Estadual de Maringá,  
750 2018.
- 751 FERNANDES, M. S. S. Efeitos do treinamento físcico na doença hepática  
752 gordurosa não alcoólica em camundongos: aspectos relacionados à biogênese  
753 mitochondrial, estresse oxidative hepático e muscular. Dissertação apresentada  
754 à Faculdade de Medicina da Universidade de São Paulo. Universidade de São  
755 Paulo, 2019
- 756 FRANÇA, B. K.; ALVES, M. R. M.; SOUTO, F. M. S.; TIZIANE, L.;  
757 BOAVENTURA, R. F.; GUIMARÃES, A.; ALVES, A. J. Peroxidacão lipídica e  
758 obesidade: Métodos para aferição do estresse oxidativo em obesos. **J. Port. Gastroenterol.** v.20, n.5, p. 199--206, 2013.
- 760 FRUH, S. Obesity: Risk factors, complications, and strategies for sustainable  
761 long-term weight management. **J Am Acad Nurse Pract**, v. 29, p. S3–S14,  
762 2017
- 763 FUCHS, L. F. P.; GUIMARAES, C. R.; MAGANHIN, C. C.; SIMÕES, R. S.;  
764 BARACAT, M. C. P.; SMITH, J. M. J.; BARACAT, E. C. Melatonin action in  
765 apoptosis and vascular endothelial growth factor in adrenal cortex of  
766 pinealectomized female rats. **Rev. Bras. Ginecol. Obstet.** v. 32, p. 374-380,  
767 2010.
- 768 GOHIR W.; et al. High-fat diet intake modulates maternal intestinal adaptations  
769 to pregnancy and results in placental hypoxia, as well as altered fetal gut barrier  
770 proteins and immune markers. **J Physiol**, v. 597, n.12, p. 3029-3051, 2019.
- 771 GREGORASZCZUK, E.; et al. Maternal high-fat diet during pregnancy and  
772 lactation had gender difference effect on adiponectin in rat offspring. **J Physiol Pharmacol**, v. 67, n. 4, p. 543-553, 2016.

- 774 HIRIART, B. M.; MORFFIZ, Y. S.; TORRES, K. U.; MICHELL, Y. D. T.; SOSA,  
775 J. L. B. Hormona de laoscuridad. ÍNDICE CONTENTS. Hormona de  
776 laoscuridad. **Rev. Latinoamer. Patol. Clin.** v. 59, n. 4, p. 222-232 , 2012.
- 777 IBGE – INSTITUTO BRASILEIRO DE GEOGRAFIA E ESTATÍSTICA. IBGE dá  
778 início à Pesquisa Nacional de Saúde (PNS) 2019. Disponível em <  
779 <https://www.ibge.gov.br/>>. Acesso em: 29 de out. 2019.
- 780 IBGE- Instituto Brasileiro de Geografia e Estatística. Pesquisa de Orçamentos  
781 Familiares, 2008-2009: Antropometria e estado nutricional de crianças,  
782 adolescentes e adultos do Brasil. Rio de Janeiro: **IBGE**, 2010.
- 783 JUNQUEIRA, L.C.; CARNEIRO, J. **Histol. Bas.** 13<sup>a</sup> edição – Editora  
784 Guanabara-Koogan, 2017.
- 785 KAGAN, E. V. Lipid peroxidation in biomembranes. 2<sup>º</sup> edição. Editor: CRC  
786 Press, 2018
- 787 KATZUNG, BERTRAM G.; MASTERS, SUSAN B.; TREVOR, Anthony J.  
788 **Fisiologia Médica de Ganong**.AMGH Editora, 2014.
- 789 LEITE, B. F.; JAMAR, G.; CARANTI, D. A. Efeito dos ácidos graxos na  
790 Síndrome Metabólica: uma revisão de literatura. **Nutrire: Rev. Soc. Bras.** v.  
791 39, n. 1, p. 113-129, São Paulo, 2014.
- 792 LIMA, B. S.; LUCCA, L. B.; MENEZES, C.; SIMINO, L. A. P.; TORSONI, M. A.;  
793 MILANSKI, M.; TORSONI, A. S.; IGNACIO-SOUZA, L. M. Relação entre  
794 metabolism materno e crescimento fetal na prole de camundongos alimentados  
795 com dieta hiperlipídica. **Rev. trab. Inciaç. Cient.** n. 26, 2018.
- 796 LIMA, L. Obesidade: a arte de remover esse peso. 1<sup>º</sup> edição – Editora Haryon,  
797 2018
- 798 LOMBARDO, E.; VAN ROOMEN, C.P.A.A.; VAN PUJVELDE, G.H.;  
799 OTTENHOFF, R.; VAN EIJK, M.; ATEN, J.; KUIPER, J.; OVERKLEEFT, H.S.;  
800 GROEN, A.K.; VERHOEVEN, A.J.; AERTS, J.M.F.G.; BIETRIX, F. Correction of

- 801 Liver Steatosis by a Hydrophobic Iminosugar Modulating Glycosphingolipids  
802 Metabolism. **PLoS ONE**, v.7, n.10, p. 38520, 2012.
- 803 MAGANHIN, C. C.; CARBONEL, A. A. F.; HATTY, J. H.; FUCHS, L. F. P.;  
804 OLIVEIRA-JÚNIOR, I. S. D.; SIMÕES, M. D. J.; SOARES-JR, J. M. Melatonin  
805 effects on the female genital system: a brief review. **Rev. Assoc. Med. Bras.**  
806 v.54, n.3, p. 267-271, 2008.
- 807 MAGANHIN, C. C.; FUCHS, L. F. P.; SIMÕES, R. S.; OLIVEIRA-FILHO, R. M.;  
808 SIMÕES, M. J.; BARACAR, E. C.; SOARES-JR, J. M. Effects of melatonin on  
809 ovarian follicles. European Journal of Obstetrics & Gynecology and  
810 Reproductive Biology. v. 166, p. 178-184, 2013.
- 811 MAHANY, E. B.; et al. Obesity and High-Fat Diet Induce Distinct Changes in  
812 Placental Gene Expression and Pregnancy Outcome. **Endocrinology**, v. 159,  
813 n. 4, p. 1718-1733, 2018
- 814 NEVES, C.F. Avaliação de biomarcadores de estresse oxidativo e estado  
815 inflamatório em pacientes no pré e pós-operatório de cirurgia da obesidade  
816 [Dissertação apresentada ao Programa de Pós-graduação em Nutrição  
817 Humana; Faculdade de Ciências da Saúde, Departamento de  
818 nutrição]. Brasília: Universidade de Brasília, 2010.
- 819 NINAHUAMAN, M. F.; CAMPOS, D.; DE MATOS, R.; DE ABREU, V.  
820 ELABORAÇÃO DE DIETA HIPERLIPÍDICA DE BAIXO CUSTO PARA  
821 INDUÇÃO DE HIPERCOLESTEROLEMIA EM RATOS. Acta Scientiae  
822 Biological Research, v. 2, n. 2, p. 55-67, 2018.
- 823 OLIVEIRA, G. R.; DARTAGNAN, R. P. G. Desempenho de diferentes critérios  
824 diagnósticos de sobrepeso e obesidade como preditores de syndrome  
825 metabólica em adolescentes. Jornal de Pediatria, v. 93, n. 5, p. 525-531, 2017.
- 826 OLIVEIRA, T. W. S. Dieta hiperlipídica na gestação e lactação: efeitos sobre  
827 parâmetros metabólicos e do consumo alimentar em ratos adultos. Programa  
828 de Pós graduação em alimentos, nutrição e saúde. [Dissertação de  
829 Mestrado]. 2010. Disponível em:<http://www.repositorio.ufba.br/ri/handle/ri/9676>

- 830 PANVELOSKI-COSTA, A. C.; PINTO, D. A. C. J.; BRANDÃO, B. B.; MOREIRA,  
831 R. J.; MACHADO, U. F.; SERAPHIM, P. M. Treinamento resistido reduz  
832 inflamação em músculo esquelético e melhora a sensibilidade à insulina  
833 periférica em ratos obesos induzidos por dieta hiperlipídica. **Arq. Bras.**  
834 **Endocrinol. Metab.** v. 55, n.2, 2011.
- 835 PEDREIRA, G. D. M.; FERNANDES, A. L. M.; BORBA, M. C. O.; BECHARA,  
836 M. Z. Tecido Adiposo Marrom: Atualizações e Perspectivas. International  
837 journal of nutrology. V. 11, n 1. P. 324-327
- 838 PEREIRA, D. S.; TUFIK, S.; PEDRAZZOLI, M. Moléculas que marcam o tempo:  
839 implicações para os fenótipos circadianos, Timekeepingmolecules: implications  
840 for circadianphenotypes. **Rev. Brasileira de psiquiatria.**v. 31, n. 1, p. 63-71,  
841 2009.
- 842 RASMUSSEN, D.D.; MITTON, D.R.; LARSEN, S.A.; YELLON, S.M. Aging  
843 dependente changes in thge effect of daily melatonina supplementation on rat  
844 metabolic and behavioral esponses. **J. Pineal Res.** v.1, p.89-94, 2001.
- 845 REITER, R. J.; et al. Melatonin as an antioxidant: under promises but over  
846 delivers. **J Pineal Res**, v. 61, n. 3, p. 253-78, 2016
- 847 REZENDE, R.; SANTOS, C.; DUBOW, C.; VARGAS, S. C.; POHL, H. H.;  
848 PAIVA, D. N. Efeitos do exercício físico na resistência à insulin em indivíduos  
849 obesos. CINERGIS, v. 17, n. 3, p. 245-249, 2016.
- 850 RHEE, C. M.; AHMADI, S-F.; KOESDY, C. P.; KALANTAR-ZALDEH, K. Low-  
851 protein diet for conservative management of chronic kidney desease: a  
852 systematic review and meta-analysis of controlled trials. Journal of cachexia,  
853 sarcopenia and muscle, v. 9, p. 235-245, 2018.
- 854 ROMANATTO, T.; ROMAN, E. A.; ARRUDA, A. P.; DENIS, R. G.; SOLON, C.;  
855 MILANSKI, M.; MORAES, J. C.; BONFLEUR, M. L.; DEGASPERI, G. R.;  
856 PICARDI, P. K.; HIRABARA, S.; BOSCHERO, A. C.; CURI, R.; VELLOSO, L. A.  
857 Deletion of tumor necrosis factor-a receptor 1 (TNFR1) protects agains diet-

- 858 induced obesity by means of increased thermogenesis. *Journal of Biological*  
859 *Chemestry*, v. 284, p. 3613-3622, 2016.
- 860 ROSINI, T. C.; DA SILVA, A. S. R.; DE MORAES, C. Obesidade induzida por  
861 consumo de dieta: modelo em roedores para o estudo dos distúrbios  
862 relacionados com a obesidade. **Rev. As. Med. Bra.**, v.58, n.3, p. 383-387,2012.
- 863 SIES, H.; BERNT, C.; JONES, D. P. Oxidative Stress. *Annu. Rev. Biochem.* V.  
864 86, p. 715-748, 2017.
- 865 SINGH, M.; JADHAV, H. R. Melatonin: Functions and ligands. **Drug Discov**  
866 **Today**. v. 19, n. 9, p. 1410-1418, 2014
- 867 STENVERS, D. J.; SCHEER, F. A. J. L.; SCHRAUWEN, P.; LA FLEUR, S.;  
868 KALSBEEK, A. Circadian clocks and insulin resistance. *Nature Reviews:*  
869 *Endocrinology*, v. 15, p. 75-89, 2019.
- 870 STRANAHAN, A.M.; CUTLER, R.G.; BUTTON, C.; TELLJOHANN, R.;  
871 MATTSON, M.P. Diet-induced elevations in serum cholesterol are associated  
872 with alterations in hippocampal lipid metabolism and increased oxidative stress.  
873 **J. Neurochem.** v. 118(4), p. 611-615, 2011.
- 874 TAN, D. X.; et al. Melatonin as a Potent and Inducible Endogenous Antioxidant:  
875 *Synthesis and Metabolism. Molecule*, v. 20, n. 10, p. 18886- 18906, 2015.
- 876 TILG, H.; MOSCHEN, A. R.; RODEN, M. NAFLD and diabetes mellitus. *Nature*  
877 *Reviews: Gastroenterology & hepatology*. v. 14, p. 32-42, 2017.
- 878 TRUFAKIN, V. A.; et al. Effect of Melatonin on Cellular Composition of the  
879 Spleen and Parameters of Lipid Metabolism in Rats with Alimentary Obesity. **B**  
880 **Exp Biol Med**, v. 158, n. 1, p. 49-52, 2014
- 881 VALERO, N.; MOSQUERA, J. Adipocitos, pepitídeos antimicrobianos e  
882 inmunidad. *Investigacion Clinica*, v. 58, n. 4, p. 319-321, 2017.
- 883 **VIGITEL Brasil 2011:** vigilancia de fatores de risco e protecão para doenças  
884 crônicas por inquerito telefonico. Brasilia, 2012.

885 WHO. Obesity and overweight, 2018. Disponível em < <https://www.who.int/>>. 886 Acesso em: 23 de jul. 2018.

887 WORLD HEALTH ORGANIZATION. Bod mass indexclassification – report of a  
888 WHO consultation on obesity. Geneva: **WHO**, 1995. Technical Reports Series  
889 854.

890

891

892

893

894

895

896

897

898

899

900

901

902

903

904

905

906

907

908

909

910

## CAPÍTULO II

911

912

### EFEITOS DE DIETA HIPERLIPÍDICA ASSOCIADA OU NÃO A MELATONINA EXÓGENA DURANTE A GESTAÇÃO E LACTAÇÃO SOBRE A HISTOFISIOLOGIA RENAL DOS NEONATOS

916

917

918 Clovis José Cavalcanti Lapa Neto<sup>a</sup>; Ismaela Maria Ferreira de Melo<sup>a</sup>; Ana Janaina  
919 Jeanine Lemos-Jordão<sup>b</sup>; Leucio Duarte Vieira Filho<sup>c</sup>; Álvaro Aguiar Coelho Teixeira<sup>a</sup>;  
920 Valéria Wanderley Teixeira<sup>a\*</sup>

921

922 <sup>a</sup>Departamento de Morfologia e Fisiologia Animal, Universidade Federal Rural de  
923 Pernambuco (UFRPE), Rua Dom Manoel de Medeiros, s/n, 52171-900, Recife - PE,  
924 Brasil

925 <sup>b</sup>Departamento Medicina, Universidade Federal de Campina Grande (UFCG), R.  
926 Aprígio Veloso, 882- Universitário, 58428-830, Campina Grande - PB, Brasil

927

928 <sup>c</sup>Departamento de Fisiologia e Farmacologia, Universidade Federal de Pernambuco  
929 (UFPE), Av. Prof. Moraes Rego, 1235 - Cidade Universitária, 50670-901, Recife - PE,  
930 Brasil

931

932 **\*Autor para correspondência:** UFRPE-DMFA. Av. Dom Manoel de Medeiros, s/n,  
933 Dois Irmãos, Recife, PE, Brasil. CEP 52171-900. Tel. +55 81 33206389.  
934 E-mail: valeria.wanderley@ufrpe.br (Wanderley-Teixeira,V.)

935 **RESUMO**

936 A má-nutrição intra-uterina pode “programar” os tecidos fetais de maneira a torná-los  
937 mais vulneráveis a desordens relacionadas à alimentação tais como diabetes tipo 2,  
938 síndrome metabólica e também influenciam negativamente no desenvolvimento renal da  
939 prole. A melatonina, produto hormonal da glândula pineal, este hormônio tem efeitos  
940 atenuadores da lesão celular induzida por radicais livres, sendo assim considerada um  
941 dos mais poderosos agentes antioxidantes naturais. A presente pesquisa investigou os  
942 efeitos do consumo de dieta hiperlipídica durante a gestação e lactação associada ou não  
943 à melatonina sobre os rins da prole. Utilizou-se 40 ratas albinas, divididas em quatro  
944 grupos: DC - ratas prenhas submetidas à dieta comum; DC+Mel - ratas prenhas  
945 submetidas à dieta comum, tratadas com melatonina (5,0mg / kg); DH - ratas prenhas  
946 submetidas à dieta hiperlipídica; DH+Mel - ratas prenhas submetidas à dieta  
947 hiperlipídica, tratadas com melatonina (5,0mg / kg). Foram dosados parâmetros  
948 bioquímicos, hemograma completo, contagem diferencial de leucócitos além da  
949 histopatologia, histoquímica e morfometria do rim. Os rins dos animais do grupo DH  
950 demonstraram glomerulonefrite e atrofia glomerular, além de alterações bioquímicas e  
951 no hemograma, porém no grupo que recebeu melatonina, a mesma foi capaz de  
952 normalizar praticamente todos os parâmetros mantendo estatisticamente semelhantes ao  
953 grupo controle (DC). Assim, concluímos que a melatonina tem um grande potencial em  
954 reverter os danos na função renal da prole de ratos devido a uma dieta hiperlipídica  
955 durante a gestação e a lactação.

956

957 Palavras-chave: rins, melatonina, hemograma, histopatologia, programação fetal

958

959 **1. INTRODUÇÃO**

960 Obesidade gestacional pode acarretar vários riscos maternos e fetais. Dentre estes,  
961 destacam-se a ocorrência do diabetes mellitus gestacional, síndromes hipertensivas  
962 (hipertensão crônica e pré-eclâmpsia), infecção urinária, parto induzido e cesarianas,  
963 hemorragia pós-parto, infecção puerperal e doença tromboembólica (ATHUKORALA  
964 et al., 2010; FONSECA; TRALDI, 2014).

965 A obesidade materna não causa apenas complicações em curto prazo, mas  
966 também têm efeitos em longo prazo na composição corporal, metabolismo, resistência à  
967 insulina e dislipidemia (WANKHADE et al., 2016). Há um foco crescente de estudos  
968 nos efeitos específicos da obesidade induzida pela dieta hiperlipídica materna (DFC) na  
969 prole, onde a obesidade materna pode induzir efeitos na programação fisiológica e  
970 desenvolvimento de órgãos (ELLSWORTH et al., 2018; CHANG et al., 2019; FALL;  
971 KUMARAN 2019).

972 Nos fetos uma dieta hipercalórica pode levar a uma ativação inapropriada do  
973 sistema renina-angiotensina e um manuseio incorreto do sódio tubular, além disso, o  
974 relógio circadiano renal está envolvido no balanço de sódio e controle da pressão  
975 arterial, a desregulação deste relógio pode aumentar o risco de uma variedade de  
976 doenças metabólicas futuras (TOKONAMI et al., 2014, TAIN; JOLES, 2015, TAIN;  
977 HSU, 2017, TAIN et al., 2017).

978 Segundo Júnior et al. (2015), a participação de mecanismos inflamatórios tem  
979 sido cada vez mais apresentada nos processos fisiopatológicos da progressão da doença  
980 renal, incluindo fibrose glomerular e/ou túbulo intersticial progressiva, lesão capilar  
981 peritubular por hipóxia e perda da funcionalidade dos néfrons.

982 Essas alterações agem conjuntamente em muitos tecidos com o estresse oxidativo  
983 o qual induz a produção de citocinas inflamatórias promovendo a produção de radicais

984 livres (GUIMARÃES-SOUZA et al., 2015), apresentando-se, portanto, como um sério  
985 problema relacionado a obesidade e suas comorbidades.

986 Devido a esse fato tem-se buscado estratégias terapêuticas através do uso de  
987 antioxidantes, cujo objetivo é atenuar a superprodução das espécies reativas de oxigênio  
988 (ROS) e de nitrogênio (RNS) (FORD; AJANI; MOKDAD, 2005). A melatonina, uma  
989 indolamina produzida durante a fase de escuro pela glândula pineal, é considerada um  
990 dos mais poderosos agentes antioxidantes naturais (TAN et al., 2002) e apresenta  
991 relações diretas com o tecido adiposo, sendo mediadora fundamental para a otimização  
992 do balanço de energia e regulação do peso corporal (CIPOLLA-NETO et al., 2014).

993 Assim, a presente pesquisa avaliou se a melatonina exógena associada ou não a  
994 uma dieta hiperlipídica em ratas prenhas pode prevenir danos na histofisiologia renal da  
995 prole.

996

997 **2. MATERIAL E MÉTODOS**

998 **2.1. Obtenção dos animais**

999

1000 O experimento foi realizado no Laboratório de Histologia do Departamento de  
1001 Morfologia e Fisiologia Animal da Universidade Federal Rural de Pernambuco. Foram  
1002 utilizadas 40 ratas albinas (*Rattus norvegicus albinus*) com 90 dias de idade, com  $200 \pm$   
1003 30g, linhagem Wistar, procedentes do Biotério do Departamento de Morfologia e  
1004 Fisiologia Animal da UFRPE. O protocolo experimental foi aprovado pela Comissão de  
1005 Ética Institucional (CEUA), licença de número: 012/2014. Vinte fêmeas foram mantidas  
1006 em gaiolas com alimentação comercial da marca (Labina®) e água à vontade e as outras  
1007 vinte receberam dieta hipercalórica da empresa Prag Soluções Comercio e Servicos

1008 Ltda Me (Pragsolutions<sup>®</sup>), previamente padronizada por Estadella (2001), e água à  
1009 vontade, formando-se assim 4 grupos de matrizes:  
1010 DC: ratas prenhas submetidas à dieta comum durante toda a gestação e lactação;  
1011 DC+Mel: ratas prenhas submetidas à dieta comum e administradas com  
1012 melatonina durante toda a gestação e período de lactação;  
1013 DH: ratas prenhas submetidas à dieta hiperlipídica durante toda a gestação e  
1014 período de lactação;  
1015 DH+Mel: ratas prenhas submetidas à dieta hiperlipídica e administradas com  
1016 melatonina durante toda a gestação e período de lactação.

1017

## 1018 **2.2 Composição Nutricional Das Rações**

1019

1020 As dietas possuem a composição estabelecida nas tabelas abaixo:

1021

1022 1 - Dieta (High Fat) Integral 60% 5205 cal/Kg - Peletes mais macios

1023

	Composição (%)	Composição (cal/Kg)
Matéria mineral	5,00	0
Proteína bruta	26,00	1040
Extrato etéreo (gordura)	34,50	3105
Fibra bruta	8,00	0
Carboidratos	26,50	1060
	100,00	5205

1024

1025 2 - Dieta Controle Integral

1026

	Composição (%)	Composição (cal/Kg)
Matéria mineral	6,00	0
Proteína bruta	22,00	880
Extrato etéreo (gordura)	4,00	360
Fibra bruta	7,00	0
Carboidratos	61,00	2440
	100,00	3680

1027

1028 **2.3. Diagnóstico de prenhez**

1029

1030 O diagnóstico da prenhez foi realizado através do exame colpocitológico, onde  
 1031 após confirmação da presença de espermatozoide no esfregaço vaginal, o animal era  
 1032 considerado prenhe.

1033 **2.4. Tratamento com Melatonina**

1034

1035 A administração de melatonina foi realizada nas ratas dos grupos DC+Mel e  
 1036 DH+Mel de acordo com o protocolo estabelecido por KIM et al, (1998). A dose de  
 1037 melatonina (Sigma Chemical Co., St. Louis, Mo., USA) administrada foi de 0,5 mg/Kg,  
 1038 dissolvida em 100 microlitros de álcool e acrescido de 300 microlitros de solução  
 1039 fisiológica (NaCl 0,9%) (Subramanian et al., 2007). A melatonina foi aplicada às 18:00  
 1040 horas por via intraperitoneal.

1041

1042 **2.5. Coletas de sangue, rim e análise bioquímica**

1043

1044 A coleta de sangue dos filhotes foi feita por punção cardíaca no 21º dia, após  
1045 anestesia com pentobarbital 40mg/kg por via intraperitoneal (LIMA et al., 2005). O  
1046 sangue dos filhotes foi coletado em tubos com gel separador, os tubos foram  
1047 centrifugados à 500 G durante 10 minutos para obtenção do soro. Este, foi  
1048 acondicionado à -80°C até o momento das análises. Para isto foi utilizado kits da  
1049 Labtest, segundo os catálogos referenciados: Uréia (cod: 104-4/50), Creatinina (cod: 96-  
1050 300), Proteínas totais (cod: 99-250) e Albumina (cod: 19-1/250). Todas as amostras  
1051 foram realizadas em triplicata. Após eutanásia dos animais, os rins foram coletados e  
1052 fixados em formaldeído a 10% tamponado por 24 horas, para posterior inclusão em  
1053 parafina e confecção das lâminas. Para a realização do hemograma foi utilizado 1 mL de  
1054 sangue do filhote de cada grupo, coletado no 21º dia em microtubos contendo ácido  
1055 etilenodiamino tetra-acético (EDTA). Após a coleta o sangue foi enviado ao hospital  
1056 veterinário da UFRPE para realização do hemograma.

1057

## 1058 **2.6 Estresse Oxidativo Plasmático**

1059

1060 Foi utilizado 1 mL de sangue dos filhotes de 21 dias de cada grupo experimental.  
1061 As amostras foram submetidas à centrifugação em uma temperatura de 4°C com  
1062 velocidade de 3000 RPM por 10 minutos para obtenção do plasma, que foi mantido em  
1063 -80°C até o momento da análise. Os níveis de óxido nítrico foram determinados pelo  
1064 método baseado na reação colorimétrica de Griess (GREEN et al. 1982), que envolve a  
1065 detecção do nitrito ( $\text{NO}^{2-}$ ) e a oxidação do Óxido Nítrico (NO) no plasma. Em  
1066 duplicatas, 50 microlitros de plasma foram colocados em uma placa de 96 poços, onde o  
1067 mesmo volume de reagente de Griess foi adicionado. Após 10 minutos de incubação a

1068 leitura foi realizada em espectrofotômetro regulado para 490 nm de comprimento de  
1069 onda.

1070

1071 **2.7 Análise histopatológica, morfométrica e histoquímica (colágeno) dos rins**

1072

1073 Para a análise histopatológica foram feitos cortes do tecido e foram corados pela  
1074 Hematoxilina-Eosina (H.E.). A análise histoquímica foi realizada através da coloração  
1075 do Tricrômico de Mallory, onde o resultado da quantificação de colágeno foi expresso  
1076 através de quantificação de pixels. Para análise morfométrica foram mensurados os  
1077 seguintes parâmetros: Diâmetro do glomerular (DG), volume do glomérulo (VG) e  
1078 diâmetro (DCB) e volume (VCB) da cápsula de Bowman seguindo a metodologia de  
1079 Akaoka et al. (1994).

1080

1081

1082

1083 **2.8 Análise imunohistoquímica**

1084

1085 Secções dos rins dos animais de todos os grupos foram usadas para análise  
1086 imunohistoquímica. Inicialmente, as secções foram desparafinizadas com xanol e  
1087 hidratadas com etanol. Os cortes foram incubados com anticorpo anti-IL-1(Santa Cruz  
1088 Biotechnology, 1:50), overnight, e posteriormente incubados com streptavidina-  
1089 peroxidase, sendo então revelados com substrato cromógeno 3, 3'diaminobenzidina  
1090 (DAB) e contra-coradas com Hematoxilina de Harris. O controle negativo foi realizado  
1091 na ausência do anticorpo primário. A quantificação em pixels da marcação foi realizada  
1092 utilizando o programa GIMP 2.8.

1093

1094 **2.9. Análise Estatística**

1095

1096 Os dados obtidos foram submetidos ao teste não paramétrico de Kruskal-Wallis,  
1097 onde as médias obtidas foram comparadas pelo teste de Wilcoxon Mann-Whitney ( $p <$   
1098 0,05).

1099 **RESULTADOS**

1100 **3.1 Avaliação Bioquímica**

1101 As dosagens de albumina, creatinina e proteína não demonstraram diferença  
1102 estatística entre os grupos experimentais. As dosagens de óxido nítrico e ureia foram  
1103 elevadas no grupo DH. (Tabela 1).

1104

1105 **3.2 Hemograma**

1106 Foi possível observar que não houve alterações nos valores de hematócrito  
1107 (HCT) e hemoglobina (HGB) em nenhum dos grupos experimentais. Já para os valores  
1108 de hemoglobina corpuscular média (CHCM), plaquetas (PLT), proteínas plasmáticas  
1109 totais (PPT), eritrócitos (RBC) e leucócitos (WBC), a melatonina administrada no grupo  
1110 DH+Mel foi capaz de manter os valores estatisticamente semelhantes aos do grupo  
1111 controle (DC), entretanto os valores do volume corpuscular médio (VCM) se mostraram  
1112 estatisticamente reduzido em relação aos demais grupos (DC). O grupo DH só  
1113 apresentou média elevada para os valores de PLT (Tabela 2).

1114 A contagem diferencial de leucócitos revelou que não houve diferença estatística  
1115 em relação a quantidade de basófilos, eosinófilos, metamioelócitos, monócitos e  
1116 neutrófilos bastonetes entre os grupos experimentais. No entanto, sobre o número de  
1117 linfócitos, a melatonina administrada no grupo DH+Mel foi capaz de manter os valores

1118 estatisticamente semelhantes ao do grupo controle (DC). A menor média de linfócito foi  
1119 verificada para o grupo DH. Para os neutrófilos segmentados o maior valor foi  
1120 observado para o grupo DH, entretanto a melatonina restabeleceu a valores similares  
1121 aos demais grupos. Apenas a contagem de neutrófilos bastonetes foi reduzida no grupo  
1122 DH+Mel em relação ao grupo controle (DC) (Tabela 3).

1123 **3.3 Análise Histopatológica, Histoquímica e Imunohistoquímica dos Rins**

1124 Os rins dos animais dos grupos experimentais apresentaram todos os seus  
1125 componentes estruturais bem definidos, constituindo-se de cápsula fibrosa, região  
1126 cortical e medular. Nos animais dos grupos DC e DC+Mel observou-se cápsula de  
1127 Bowman, espaço capsular e glomérulos bem preservados.

1128 Os rins dos animais do grupo DH apresentaram glomerulonefrite proliferativa  
1129 com desaparecimento do espaço de Bowman e atrofia glomerular, sem sinais de  
1130 necrose. Já os rins dos filhotes do grupo DH + Mel revelaram glomerulos sem atrofia,  
1131 porém com a presença de glomerulonefrite proliferativa discreta (inflamação discreta  
1132 nos glomérulos), mostrando que a melatonina foi capaz de amenizar efeitos causados  
1133 pela dieta (Figura 1).

1134 A análise histoquímica para quantificação do colágeno revelou a potencial  
1135 eficácia da melatonina exógena em diminuir os níveis de colágeno presente nos rins dos  
1136 filhotes ao comparar a significativa diminuição no grupo DH+Mel em relação ao grupo  
1137 DH, sendo assim, semelhante ao grupo DC e DC + Mel. (Gráfico 1).

1138 Houve imunomarcação para a interleucina IL-1, entretanto, a análise quantitativa  
1139 dessa citocina revelou aumento significativo nos rins dos filhotes cujas matrizes foram  
1140 alimentadas com a dieta hiperlipídica (Figura 2)

1141 **3.4 Análise da Morfometria dos Rins**

1142 Os dados obtidos revelam que o grupo tratado com dieta hiperlipídica associada  
1143 à melatonina (DH+MEL) apresentou aumento do diâmetro e volume glomerular, além  
1144 do aumento do diâmetro e volume da cápsula de Bowman, se igualando aos demais  
1145 grupos que receberam a dieta comum (DC) e dieta comum associada à melatonina  
1146 (DC+Mel) (Tabela 4).

1147

1148

1149 **6. DISCUSSÃO**

1150 A não alteração dos valores de creatinina e albumina e proteínas demonstra que  
1151 a função renal não foi alterada a ponto de causar danos aos animais, tendo em vista que  
1152 essas substâncias são indicadoras de patologias renais (AL-HABORI et al., 2002). Já os  
1153 níveis da uréia se mostraram elevados no grupo DH, o que pode indicar o início de uma  
1154 patologia renal crônica, levando a uma deficiência de filtração dos rins (VIANNA et al.  
1155 2011). Porém a melatonina foi capaz de normalizar estes valores mantendo-os  
1156 semelhantes ao do grupo DC.

1157 O aumento da dosagem de NO no grupo DH demonstra uma situação de estresse  
1158 oxidativo, já que é uma molécula potencialmente tóxica. Em casos de glomerulonefrite  
1159 é comum observar uma quantidade elevada de NO (BACHMANN; MUNDEL, 1994),  
1160 que foi revertido pela melatonina devido a sua capacidade antioxidante (FLORA  
1161 FILHO; ZILBERSTEIN, 2000)

1162 O hemograma é um exame que traz informações importantes para o diagnóstico  
1163 de doenças (ROSENFIELD, 2012). Os resultados obtidos na pesquisa demonstraram que  
1164 os animais do grupo DH+Mel, não apresentaram quadro de anemia, tendo em vista que  
1165 a melatonina pode ter protegido a produção hormonal de eritropoietina, por ter  
1166 apresentado valores dentro da normalidade em todos os grupos (DOS ANJOS;

1167 BARBOSA, 2015). Um aumento plaquetário foi observado no grupo DH, isso pode  
1168 estar relacionado com eventos vasculares agudos ligados a obesidade, como a  
1169 aterosclerose, já que após erosão ou ruptura de uma placa aterosclerótica, a ativação  
1170 plaquetária é necessária na realização de eventos pró-trombóticos. (DO PRADO  
1171 JUNIOR et al., 2015).

1172 Segundo Dos Anjos; Barbosa (2015) a obesidade interfere diminuindo a função  
1173 imune do animal, porém, esta influência depende do tempo de exposição da dieta  
1174 hiperlipídica. Este curto período pode ser o responsável pela não alteração da maioria  
1175 dos parâmetros analisados na contagem diferencial leucocitária. Já a quantidade de  
1176 neutrófilos foi menor no grupo DH+Mel que no grupo DC, por se tratarem de células  
1177 que associadas a doenças autoimunes e inflamatórias, mostra o efeito da melatonina em  
1178 promover uma diminuição dessas células (CALVO; GONZÁLES-YANES;  
1179 MALDONADO, 2013).

1180 Os resultados da histopatologia demonstraram que a dieta hipercalórica  
1181 promoveu glomerulonefrite proliferativa, atrofia glomerular e desaparecimento do  
1182 espaço de Bowman, resultado que é confirmado pela análise morfométrica do rim onde  
1183 foi visto a redução do diâmetro e volume glomerular além do volume e diâmetro da  
1184 capsula de Bowman, mostrando que esta dieta promoveu um efeito nocivo ao  
1185 funcionamento renal muito provavelmente pelo aumento de danos oxidativos no tecido  
1186 e possíveis células pré apoptóticas podendo causar uma redução da massa nefrótica e  
1187 dificuldade na filtração glomerular. (MUNHFELD et al, 2004; PRAGA; MORALES,  
1188 2016)

1189 Já ao comparar os resultados do grupo DH+Mel, foi visto que, a melatonina,  
1190 exerceu a normalização histopatológica dos glomérulos, e também dos valores de  
1191 diâmetro e volume tanto da capsula de Bowman quanto dos glomérulos se igualando

1192 aos do grupo DC. Esse efeito provavelmente se dá pelas propriedades antioxidantes da  
1193 melatonina (GOUDARZI et al, 2017).

1194 A quantificação histoquímica também demonstrou um aumento nos níveis de  
1195 colágeno, levando ao uma possível fibrose, tendo em vista que em estudos com ratas  
1196 pinealectomizadas os níveis de colágeno foram aumentados e nos animais que  
1197 receberam melatonina, esses níveis de colágeno foram reduzidos, se igualando ao do  
1198 grupo controle (ATIK et al, 2011). O mesmo efeito foi visto no nosso trabalho, onde a  
1199 melatonina reduziu os níveis de colágeno no grupo DH+Mel em relação ao grupo DH,  
1200 diminuindo assim os riscos de fibrose renal. (YURT et al, 2013).

1201 O aumento significativo na expressão da citocina IL-1 $\beta$  do grupo submetido a  
1202 dieta hiperlipídica (DH) pode ser explicado pelo processo inflamatório associado a  
1203 ingestão de dietas ricas em gorduras e a obesidade, dessa forma, se sabe que a IL-1 está  
1204 diretamente relacionada com o aumento da TNF- $\alpha$ , e de modo que juntas estimulam a  
1205 síntese de IL-6. (VOLP, 2008.; MONTES, 2013). Essa relação entre as citocinas pró-  
1206 inflamatórias também pode ser associada a fibrogênese observada no grupo DH, pois de  
1207 acordo com Silva (2016) durante esse processo a IL-6 e TNF- $\alpha$  estão atuando como  
1208 promotores desse encadeamento. Enquanto a redução para a quantificação da IL-1 nos  
1209 grupos tratados com melatonina em relação ao grupo DH pode ser explicada pela  
1210 capacidade inibidora de citocinas pró-inflamatórias desse hormônio. (HARDELAND,  
1211 2018).

1212

## 1213 7. CONCLUSÃO

1214 É possível concluir que a melatonina exerceu efeito protetor em alguns dos  
1215 parâmetros estudados, em filhotes provenientes de mães alimentadas com dieta

1216 hiperlipídicas durante a gravidez e lactação, mantendo a função renal normalizada, e  
1217 diminuindo os riscos de patologias renais, relacionadas à obesidade, na idade adulta.

1218

## 1219 **8. REFERÊNCIAS BIBLIOGRÁFICAS**

1220 AKAOKA, K.; WHITE, R.H.; RAAFAT, F. Human glomerular growth during  
1221 childhood: a morphometric study. *J. Pathol.* v. 173, p. 261-268, 1994.

1222 AL-HABORI, M.; AL-AGHBARI, A.; AL-MAMARY, M.; BAKER, M. Toxicological  
1223 evaluation of Catha edulis leaves: a long term feeding experiment in animals. *J*  
1224 *Ethnopharmacol*, v. 83, n. 3, p. 209- 217, 2002.

1225 ATHUKORALA, C.; RUMBOLD, A.R.; WILLSON, K.J.; CROWTHER, C.A. The risk of  
1226 adverse pregnancy outcomes in women who are overweight or obese. *BMC Pregnancy and*  
1227 *Childbirth*. v. 10(56). p.2-8, 2010.

1228 ATIK, B. et al. The Effects of Exogenous Melatonin on Peripheral Nerve Regeneration  
1229 and Collagen Formation in Rats. *Journal of Surgical Research*, v. 166. n. 2, p. 330-336,  
1230 2011.

1231 Bachmann S, Mundel P. Nitric oxide in the kidney: synthesis, localization and  
1232 function. *American J Kidney Dis.* v. 24, p. 112-129, 1994.

1233 BARBOSA, Kiriaque Barra Ferreira et al . Estresse oxidativo: conceito, implicações e  
1234 fatores modulatórios. *Rev. Nutr.*, Campinas , v. 23, n. 4, p. 629-643, 2010 .

1235 BLOCH, K, V.; et al. ERICA: Prevalences of hypertension and obesity in Brazilian  
1236 adolescents. *Revista de Saúde Pública*, p. 1-9, 2016

1237 CALVO, J.R. et al. The role of melatonin in the cells of the innate immunity: a review.  
1238 *J. Pineal Res.* v. 55, p. 103–120, 2013.

1239 CHANG, E.; HAFNER, H.; VARGHESE, M.; GRIFFIN, C.; CLEMENTE, J.,  
1240 ISLAM, M.; CARLSON, Z.; ZHU, A.; HAK, L., ABRISHAMI, S., GREGG, B.;  
1241 SINGER, K. Programming effects of maternal and gestational obesity on offspring  
1242 metabolism and metabolic inflammation. *Scientific Reports*. V. 9, n. 16027, p. 1-15,  
1243 2019.

- 1244 CIPOLLA-NETO, J.; AMARAL, F. G.; AFECHE, S. C.; TAN, D. X.; REITER, R. J.
- 1245 Melatonin, energy metabolism, and obesity: a review. *Journal of pineal research.* v.56(4), p.
- 1246 371-381, 2014.
- 1247 DO PRADO JUNIOR, P. P.; DE FARIA, F. R.; DE FARIA, E. R.; FRANCESCHINI,
- 1248 3806 S. D. C. C.; PRIORE, S. E. Leucócitos como marcadores de risco para doenças
- 1249 3807 cardiovasculares na adolescência: associação com características de nascimento,
- 1250 3808 situação nutricional e exames bioquímicos. *Revista Paulista de Pediatria*, 2015.
- 1251 DOS ANJOS, C. S.; BARBOSA, A. F. S. Avaliação da agregação plaquetária em 3815
- 1252 pacientes diabéticos em um laboratório de análises clínicas em belém-pa1. *Revista 3816*
- 1253 Paraense de Medicina
- 1254 v. 29, n. 1, p. 17, 2015.
- 1255 ELLSWORTH, L., HARMAN, E., PADMANABHAN, V. & GREGG, B. Lactational
- 1256 programming of glucose homeostasis: a window of opportunity. *Reproduction* 156,
- 1257 R23–R42, 2018.
- 1258 ESTADELLA, D. Efeitos da dieta de cafeteria e de ciclos alternados de dieta padrão
- 1259 com dieta de cafeteria sobre o metabolismo de ratos sedentários ou exercitados.
- 1260 Dissertação de Mestrado apresentada ao Departamento de Nutrição da Escola Paulista
- 1261 de Medicina, Universidade Federal de São Paulo, São Paulo, 2001.
- 1262 FALL, C. H. D. & KUMARAN, K. Metabolic programming in early life in humans.
- 1263 Philos Trans R Soc Lond B Biol Sci 374, 1-9, 2019.
- 1264 FERREIRA, A., SILVA, C., ANTUNES, D., SOUSA, F., LOBO, A. C., MOURA, P.,
- 1265 Diabetes Gestacional: Serão os Atuais Critérios de Diagnóstico Mais Vantajosos? *Acta*
- 1266 *Med Port*, v. 31 n. 7, p.416 – 424, 2018.
- 1267 FLORA FILHO, R.; ZILBERSTEIN, B.. Óxido nítrico: o simples mensageiro
- 1268 percorrendo a complexidade. *Metabolismo, síntese e funções*. Rev. Assoc. Med. Bras.,
- 1269 São Paulo , v. 46, n. 3, p. 265-271, 2000.
- 1270 FONSECA, M. R. C. C.; TRALDI, M. C. Sobrepeso e obesidade pré-gestacionais:
- 1271 Repercussões sobre a gestação e parto. *Revista Saúde-UnG*, v. 8, n. 3-4, p. 26-36, 2015.

- 1271 FORD, E.S.; AJANI, U.A.; MOKDAD, A.H. Brief communication: The prevalence of high  
1272 intake of vitamin E from the use of supplements among U.S. adults. Annals of internal  
1273 medicine.v.143(2). p.116-20, 2005.
- 1274 GOUDARZI, M. et al. Pretreatment with melatonina protects against  
1275 cyclophosphamide-induced oxidative stress and renal damage in mice. Fundamental &  
1276 Clinical Pharmacology, v. 31, p. 625-635, 2017.
- 1277 GREEN, L. C.; WAGNER, D. A.; GLOGOWSKI, J.; SKIPPER, P. L.; WISHNOK, J.  
1278 3840 S.; TANNENBAUM, S. R. “Analysis of nitrate, nitrite, and [15N]nitrate in  
1279 biological 3841 fluids,” Analytical Biochemistry, v. 126, n. 1, p. 131–138, 1982.
- 1280 GUIMARÃES-SOUZA, N. K.; YAMALEYEVA, L. M.; LU, B.; DE SOUZA RAMOS, A.  
1281 C. M.; BISHOP, C. E.; ANDERSSON, K. E. Produção aumentada de superóxido e fibrose  
1282 renal: novo modelo animal. Einstein, v.13(1), 2015.
- 1283 HARDELAND, R. Melatonin and inflammation-Story of a double-edged blade. J Pineal  
1284 Res, v. 65, n. 4, p. e12525, 2018.
- 1285 HULL, H.R.; DINGER, M.K.; KNEHANS, A.W. et al. Impact of maternal body mass  
1286 index on neonate birth- weight and body composition. Am J ObstetGynecol. 198:416.e1-  
1287 e6, 2008.
- 1288 JÚNIOR, O.; SABINO, A. D. P.; FIGUEIREDO, R. C.; RIOS, D. R. A. Inflammation  
1289 3867 and poor response to treatment with erythropoietin in chronic kidney 3868 disease.  
1290 Jornal Brasileiro de Nefrologia. v. 37(2). p. 255-263, 2015.
- 1291 JÚNIOR, O.; SABINO, A. D. P.; FIGUEIREDO, R. C.; RIOS, D. R. A. Inflammation and  
1292 poor response to treatment with erythropoietin in chronic kidney disease. JornalBrasileiro  
1293 de Nefrologia. v. 37(2). p. 255-263, 2015.
- 1294 KIM, H.P.; LEE, E.J.; KIM, S.H.; HAN, H.M.; KIM, Y.C. Cell death and cytoskeletal  
1295 alterations in cultured hepatic fat-storing cells induced by 6-hydroxydopamine. Res.  
1296 Commun. Mol. Pathol. Pharmacol. v. 107, n. 1, p.59-68, 1998.
- 1297 KONING, S.H., ZANDEN, J. J., HOOGENBERG, K., et al., New diagnostic criteria for  
1298 gestational diabetes mellitus and their impact on the number of diagnoses and  
1299 pregnancy outcomes. Diabetologia, v.61, p.800 – 809, 2018.

- 1300 LEDDY, M.A.; POWER, M.L.; SCHULKIN. J. The impact of maternal obesity on  
1301 maternal and fetal health. Rev Obstet Gynecol. 1(4):170-178, 2008.
- 1302 LIMA, E.; SOARES J.R.; GARRIDO, Y. C.S.; VALENTEA S.G.; PRIELA, M.R.;  
1303 BARACAT, E.C.; CAVALHEIRO, E.A.; NAFFAH-MAZZACORATTIC, M.G.;  
1304 AMADO, D. Effects of pinealectomy and the treatment with melatonin on the temporal  
1305 lobe epilepsy in rats. Brain Res. v. 1043, p. 24 – 31, 2005.
- 1306 MONTES, E. G. O Efeito da Esplenectomia sobre a Obesidade Induzida por Glutamato  
1307 Monossódico (MSG). 2013. Dissertação (Mestrado em Biologia Evolutiva) –  
1308 Universidade Estadual de Ponta Grossa, Ponta Grossa.
- 1309 MÜHNFELD, A. S. et al. Hyperlipidemia aggravates renal disease in B6.ROD Os/+  
1310 mice. Kidney International, v. 66, p. 1393-1402, 2004.
- 1311 NAKAOKA, V. Y. E. S.; PEREIRA, A.M.O.; KASHIWABARA, T. G . B. Qualidade  
1312 de sono e melatonina: Relato de caso. Brazilian Journal of Surgeryand Clinical  
1313 Research. 4(1): 32-36; 2013.
- 1314 PEREIRA, L. O.; et al. Obesidade e sua Implicações – Ação da Atividade Física e  
1315 Controle Nutricional. Rev Bras Nutr Clin, v. 14, p. 9-17, 1999.
- 1316 POSSIGNOLO, L.F. Effect of high fat diet chronic ingestion on the metabolism of  
1317 female rats, and on the sr-bi and abcal expression in the placenta, small intestine, liver  
1318 and kidney of the offspring. Dissertação de Mestrado, p. 176, 2012.
- 1319 PRAGA, M.; MORALES, E. The Fatty Kidney: Obesity and Renal Disease. Nephron  
1320 Clinical Practice. 2016.
- 1321 REITER, R. J.; et al. Melatonin as an antioxidant: biochemical mechanisms and  
1322 pathophysiological implications in humans. Acta Biochim Pol, v. 50, n. 4, p. 1129-46,  
1323 2003
- 1324 REITER, R. J.; et al. Obesity and metabolic syndrome: Association with  
1325 chronodisruption, sleep deprivation, and melatonin suppression. Ann Med. v. 44, n. 6, p.  
1326 564-577, 2012.
- 1327 ROSENFIELD, R. Hemograma-Complete blood count. J Bras Patol Med Lab. v.48,  
1328 3913 n.4, 2012.

- 1329 SEWELL, M.F.; HUSTON-PRESLEY, L.; SUPER, D.M. et al. Increased neonatal fat  
1330 mass, not lean body mass, is associated with maternal obesity. *Am J Obstet Gynecol.*  
1331 195: 1100-1103, 2006.
- 1332 SILVA, S. B. Influência da melatonina exógena sobre parâmetros sanguíneos,  
1333 hormonais, metabólicos e inflamatórios em ratas alimentadas com dieta hipercalórica  
1334 durante a prenhez. Recife, 2016. Tese (Doutorado em Biociência Animal) -  
1335 Universidade Federal Rural de Pernambuco, Recife.
- 1336 SIMEONI, U.; BARKER, D. J. Offspring of diabetic pregnancy: Long-term outcomes.  
1337 Seminars in Fetal & Neonatal Medicine, v.14, p. 119–124, 2009.
- 1338 SINGH, M.; JADHAV, H. R. Melatonin: Functions and ligands. *Drug Discov Today.* v.  
1339 19, n. 9, p. 1410-1418, 2014
- 1340 TAIN Y. L., HSU C. N. Developmental origins of chronic kidney disease: Should we  
1341 focus on early life? *Int. J. Mol. Sci.* v. 18, e. 381, 2017.
- 1342 TAIN Y. L., JOLES J. A. Reprogramming: A preventive strategy in hypertension  
1343 focusing on the kidney. *Int. J. Mol. Sci.* v. 17, e. 23, 2015.
- 1344 TAIN, Y. L., LIN, Y. J., SHEEN, J. M., YU, H. R., TIAO, M. M., CHEN, C. C., TSAI,  
1345 C. C., HUANG, L. T., HSU, C. N. High Fat Diets Sex-Specifically Affect the Renal  
1346 Transcriptome and Program Obesity, Kidney Injury, and Hypertension in the  
1347 Offspring. *Nutrients.* v. 9, e. 4, p. 357-376, 2017.
- 1348 TAN, D.; REITER, R. J.; MANCHESTER, L. C.; YAN, M.; EL-SAWI,M.; SAINZ, R. M.;  
1349 MAYO, J.C.; KOHEN, R.; ALLEGRA,M.C.; HARDELAND,R. Chemical and physical  
1350 properties and potential mechanisms:melatonin as a broad spectrum antioxidant and free  
1351 radical scavenger. *Curr. Top. Med. Chem.* v.2, n.2, p.181-197, 2002.
- 1352 TIMPER, K.; BRÜNING, J.C. Hypothalamic circuits regulating appetite and energy  
1353 homeostasis: pathways to obesity. *Disease Models & Mechanisms,* v. 10, p. 679-689,  
1354 2017
- 1355 TOKONAMI N., MORDASINI D., PRADERVAND S., CENTENO G., JOUFFE C.,  
1356 MAILLARD M., BONNY O., GACHON F., GOMEZ R.A., SEQUEIRA-LOPEZ M.L.,

- 1357 Local renal circadian clocks control fluid-electrolyte homeostasis and BP. J. Am. Soc.  
1358 Nephrol. v. 25, p.1430–1439, 2014.
- 1359 VIANNA, H. R.; SOARES, C. M. B. M.; TAVARES, M. S.; TEIXEIRA, M. M.; 3942  
1360 SILVA, A. C. S. Inflammation in chronic kidney disease: the role of cytokines. Jornal  
1361 3943 Brasileiro de Nefrologia. v. 33(3). p.351-364, 2011.
- 1362 VOLP, A. C. P.; et al. Capacidade dos biomarcadores inflamatórios em predizer a  
1363 síndrome metabólica: Inflammation biomarkers capacity in predicting the metabolic  
1364 syndrome. Arq Bras Endocrinol Metab, v. 52, n. 3, p. 537-549, 2008.
- 1365 WANKHADE, U. D., TAKALI, K. M. & SHANKAR, K. Persistent influence of  
1366 maternal obesity on offspring health: Mechanisms from animal models and clinical  
1367 studies. Mol Cell Endocrinol 435, 7–19, 2016.
- 1368 WHO. Obesity and overweight, 2018. Disponível em <<https://www.who.int/>>. Acesso  
1369 em: 23 de jul. 2018.
- 1370
- 1371
- 1372
- 1373

1374 Tabela 1. Análise bioquímica de filhotes com 21 dias de nascidos.

<b>Variáveis</b>	<b>Grupos</b>			
	<b>DC</b>	<b>DC+Mel</b>	<b>DH</b>	<b>DH+Mel</b>
Albumina (mg/dL)	$2,52 \pm 0,04$ a	$2,51 \pm 0,11$ a	$2,45 \pm 0,06$ a	$2,54 \pm 0,10$ a
Creatinina (mg/dL)	$0,49 \pm 0,03$ a	$0,43 \pm 0,07$ a	$0,45 \pm 0,02$ a	$0,40 \pm 0,04$ a
NO	$5,95 \pm 1,82$ b	$5,56 \pm 1,50$ b	$11,78 \pm 3,02$ a	$4,42 \pm 0,39$ b
Proteínas (mg/dL)	$6,11 \pm 0,07$ a	$5,77 \pm 0,19$ a	$5,85 \pm 0,22$ a	$6,36 \pm 0,46$ a
Ureia (mg/dL)	$33,94 \pm 3,36$ b	$18,98 \pm 1,77$ c	$65,44 \pm 9,86$ a	$36,97 \pm 4,51$ b

1375 Médias seguidas pelas mesmas letras não diferem entre si pelo teste de Tukey ao nível de 5% de  
1376 probabilidade. (0) não detectado

1377

1378

1379 Tabela 2. Valores médios de leucócitos (WBC), eritrócitos (RBC), hemoglobina (HGB),  
1380 hematócrito (HCT), volume corpuscular médio (VCM), hemoglobina corpuscular média  
1381 (CHCM), plaquetas (PLT) e proteínas plasmáticas totais (PPT) dos filhotes de 21 dias.

<b>Variáveis</b>	<b>Grupos</b>			
	<b>DC</b>	<b>DC+Mel</b>	<b>DH</b>	<b>DH+Mel</b>
CHCM (%)	$32,49 \pm 0,87$ b	$34,02 \pm 0,46$ a	$33,46 \pm 0,31$ ab	$32,59 \pm 0,53$ b
HCT (%)	$34,75 \pm 3,30$ a	$32,75 \pm 2,63$ a	$30,00 \pm 4,32$ a	$34,00 \pm 1,41$ a
HGB (g/dL)	$11,47 \pm 1,02$ a	$11,00 \pm 1,15$ a	$10,10 \pm 1,34$ a	$10,75 \pm 0,42$ a
VCM (FL)	$64,29 \pm 5,67$ a	$61,50 \pm 2,19$ a	$63,80 \pm 4,52$ a	$55,47 \pm 0,41$ b
PLT ( $10^3$ mm $^3$ )	$283,07 \pm 24,15$ b	$310,75 \pm 4,34$ b	$400,63 \pm 47,13$ a	$324,94 \pm 38,39$ b
PPT (g/dL)	$5,95 \pm 0,10$ a	$5,40 \pm 0,16$ b	$5,85 \pm 0,19$ a	$5,67 \pm 0,15$ ab
RBC ( $10^3$ µL)	$5,09 \pm 0,98$ ab	$5,92 \pm 0,41$ ab	$4,55 \pm 0,91$ b	$6,13 \pm 0,27$ a
WBC ( $10^3$ µL)	$3,65 \pm 0,79$ b	$6,32 \pm 0,34$ a	$2,42 \pm 0,47$ c	$3,07 \pm 0,31$ bc

1382 Médias seguidas pelas mesmas letras não diferem entre si pelo teste de Tukey ao nível de 5% de  
1383 probabilidade. (0) não detectado

1384

1385

1386 Tabela 3. Contagem diferencial de leucócitos de filhotes com 21 dias de nascidos.

Variáveis	Grupos			
	DC	DC+Mel	DH	DH+Mel
Basófilos	0,00 ± 0,00 a			
Eosinófilos	1,00 ± 1,15 a	0,00 ± 0,00 a	1,00 ± 1,15 a	1,25 ± 0,95 a
Linfócitos	63,25 ± 6,39 a	68,25 ± 4,92 a	56,00 ± 2,44 b	65,00 ± 3,55 a
Metamielócitos	0,00 ± 0,00 a			
Monócitos	1,25 ± 0,50 a	1,75 ± 0,50 a	1,50 ± 0,57 a	2,00 ± 0,00 a
Neutrófilos Bastonetes	2,50 ± 1,00 a	0,50 ± 1,00 a	1,75 ± 0,50 a	0,50 ± 1,00 a
Neutrófilos Segmentados	32,25 ± 7,50 b	24,50 ± 6,40 b	40,00 ± 3,83 a	31,00 ± 2,16b

1387 Médias seguidas pelas mesmas letras não diferem entre si pelo teste de Tukey ao nível de 5% de  
1388 probabilidade. (0) não detectado

1389

1390

1391

1392

1393

1394

1395

1396

1397

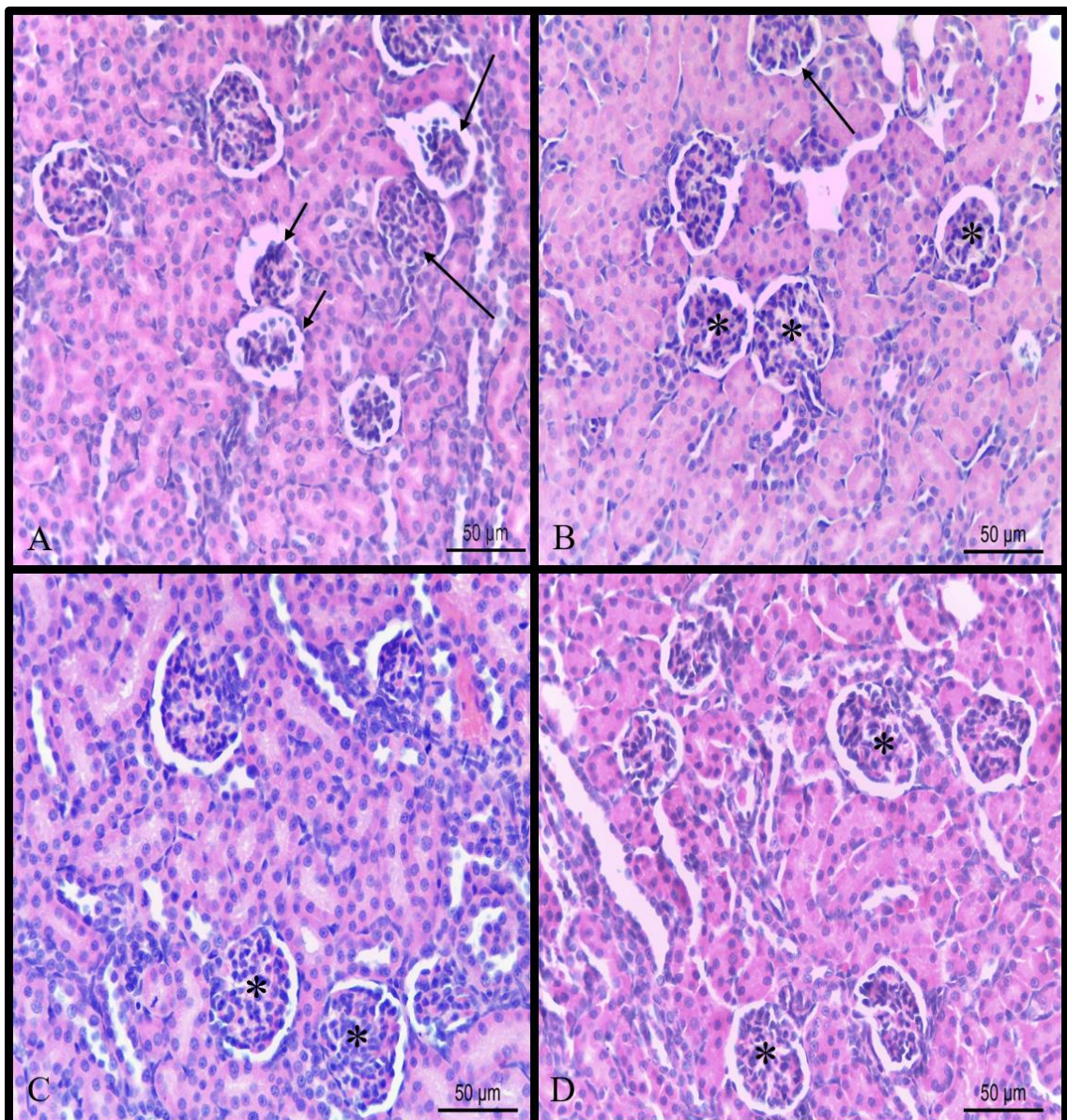
1398

1399

1400

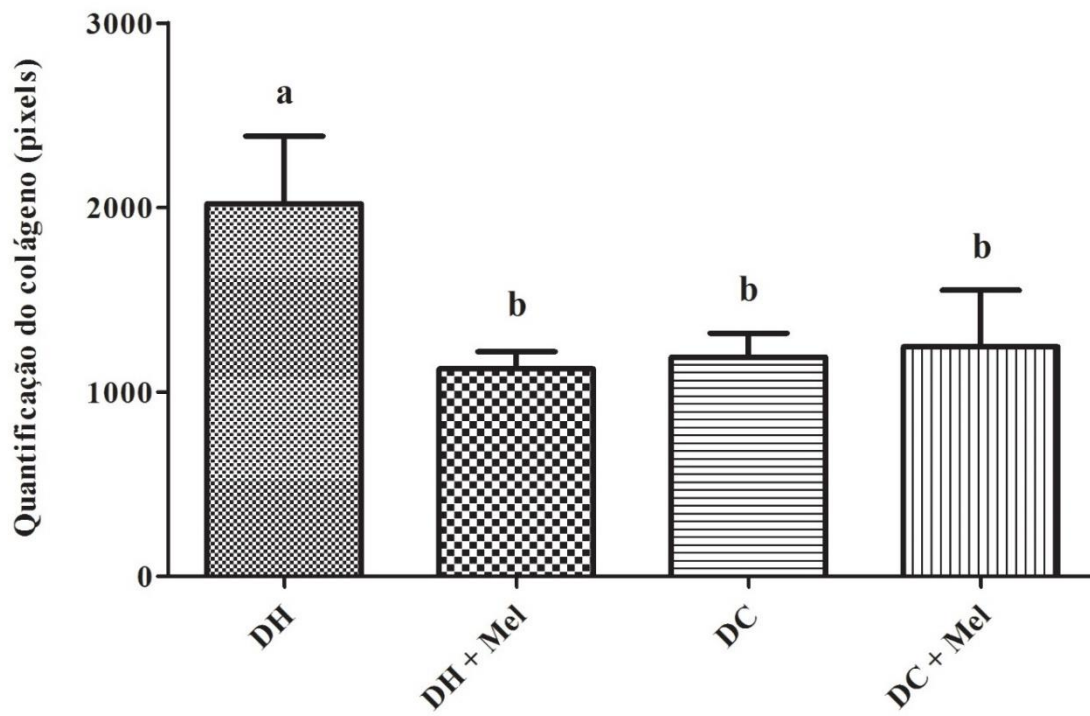
1401

1402



1403  
1404  
1405  
1406  
1407  
1408

Figura 1. Rins dos filhotes dos grupos experimentais: A) DH; B) DH + Mel; apresentando regiões com glomerulonefrite proliferativa (seta longa) e atrofia glomerular (seta curta). C) DC; D) DH + Mel; apresentando glomerulonefrite branda e glomérulos normais (\*). Coloração H.E.



1409

1410 Gráfico 1. Média dos valores da quantificação de colágeno por Tricrômico de Mallory  
1411 nos rins dos filhotes das ratas dos grupos experimentais.

1412

1413

1414

1415

1416

1417

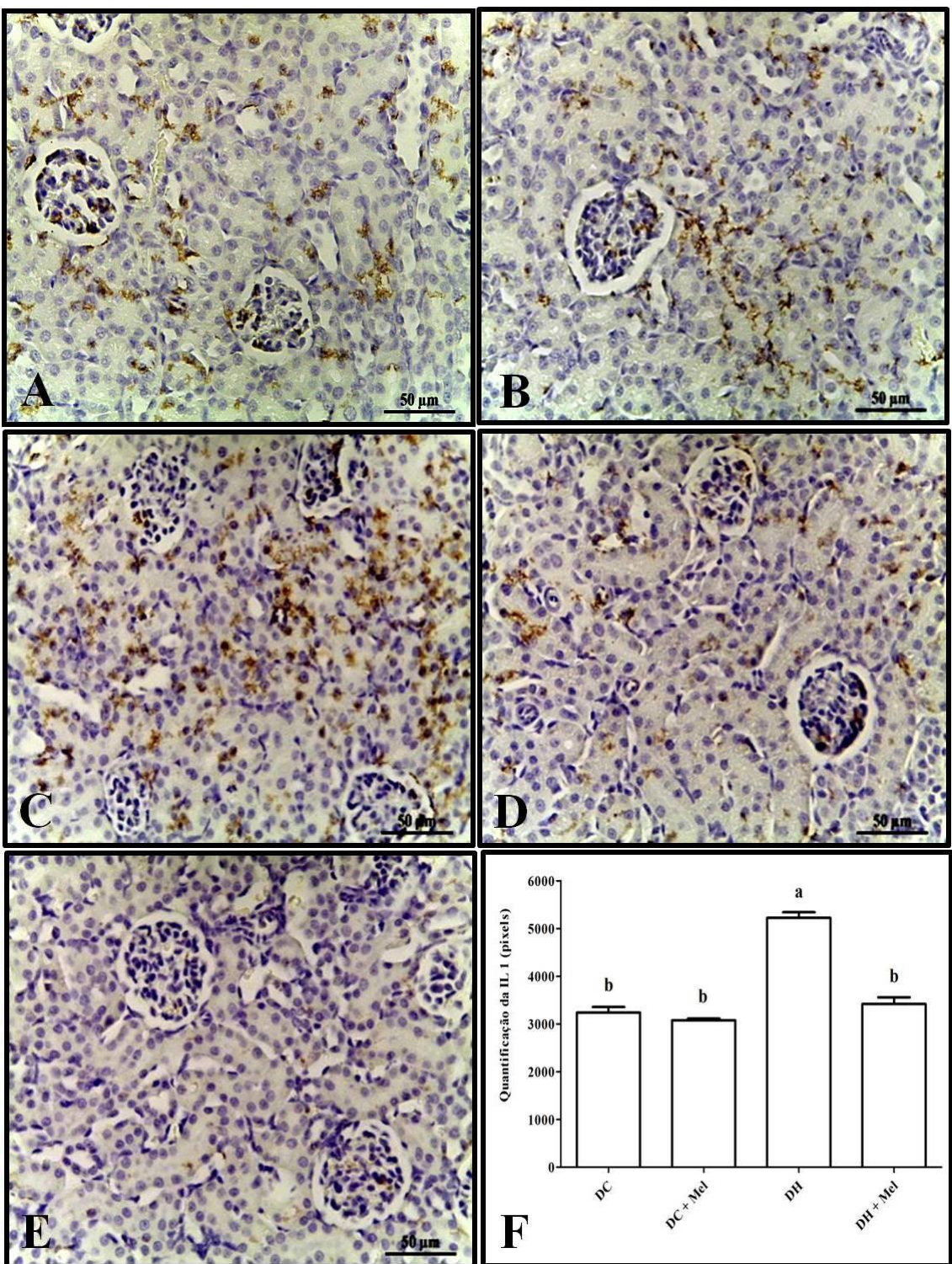
1418

1419

1420

1421

1422



1423  
1424 Figura 2. Imunohistoquímica para o IL-1 nos rins dos filhotes dos grupos experimentais.  
1425 A) DH; B) DH+Mel; C) DC; D) DC+Mel; E) Controle negativo; F) Quantificação em  
1426 pixels do IL-1. Observar maior marcação (detalhes) no grupo DH. As médias seguidas  
1427 pela mesma letra não diferiram significativamente entre si pelo teste de Wilcoxon-  
1428 Mann-Whitney ( $P > 0,05$ ).  
1429  
1430

1431 Tabela 4. Média  $\pm$  desvio padrão do diâmetro do glomerular (DG), volume do  
1432 glomérulo (VG) e diâmetro (DCB) e volume (VCB) da cápsula de Bowman dos rins  
1433 dos filhotes das ratas dos grupos experimentais.

Grupos	DH	DH + Mel	DC	DC + Mel	P
DG ( $\mu\text{m}$ )	52,25 $\pm$ 3,13b	68,11 $\pm$ 1,90a	66,06 $\pm$ 3,52a	67,18 $\pm$ 2,07a	0,0022
VG ( $\mu\text{m}^3$ )	60,73 $\pm$ 1,35b	71,44 $\pm$ 3,41a	69,46 $\pm$ 2,46a	68,89 $\pm$ 2,76a	0,0103
DCB ( $\mu\text{m}$ )	61,48 $\pm$ 1,11b	74,30 $\pm$ 3,74a	68,06 $\pm$ 2,57a	70,47 $\pm$ 3,60a	0,0217
VCB ( $\mu\text{m}^3$ )	67,01 $\pm$ 2,41b	76,59 $\pm$ 4,97a	73,93 $\pm$ 3,71a	75,12 $\pm$ 3,36a	0,0045

1434 Médias seguidas pela mesma letra não diferem significativamente entre si pelo teste de  
1435 Wilcoxon-Mann-Whitney ( $P>0,05$ ).

1436

1437

1438

1439

1440

1441

1442

1443

1444

1445

1446

1447

1448

1449

1450

1451

1452

1453

1454

1455

1456

1457

1458

## CAPÍTULO III

1459

1460 EFEITOS DE DIETA HIPERLIPÍDICA ASSOCIADA OU NÃO A MELATONINA  
1461 EXÓGENA DURANTE A GESTAÇÃO E LACTAÇÃO SOBRE A  
1462 HISTOFISIOLOGIA DO FÍGADO DE NEONATOS

1463

1464 Clovis José Cavalcanti Lapa Neto<sup>a</sup>; Ismaela Ferreira de Melo<sup>a</sup>; Paloma Karen Bandeira  
1465 de Melo Alpivezza<sup>a</sup>; Valéria Wanderley Teixeira<sup>a</sup>; Álvaro Aguiar Coelho Teixeira<sup>a\*</sup>

1466

1467

1468 <sup>a</sup>Departamento de Morfologia e Fisiologia Animal, Universidade Federal Rural de  
1469 Pernambuco (UFRPE), Rua Dom Manoel de Medeiros, s/n, 52171-900, Recife - PE,  
1470 Brasil

1471

1472

1473

1474

1475

1476

1477

1478

1479

1480

1481 \*Autor para correspondência UFRPE-DMFA. Av. Dom Manoel de Medeiros, s/n,  
1482 Dois Irmãos, Recife, PE, Brasil. CEP 52171-900. Tel. +55 81 33206389.  
1483 E-mail: cjcn.lapa@hotmail.com (LAPA-NETO, C J C)

1484

1485 **RESUMO**

1486

1487 A exposição a uma dieta rica em gorduras saturadas durante a gestação e a  
1488 lactação pode causar disturbios metabólicos na prole, devido a indução ao estresse  
1489 oxidativo. A melatonina é um potente antioxidante, exercendo efeitos diretos na  
1490 eliminação de radicais livres. A presente pesquisa investigou os efeitos do consumo de  
1491 dieta hiperlipidica durante a gestação e lactação associada ou não à melatonina sobre os  
1492 fígados da prole. Utilizou-se 40 ratas albinas, divididas em quatro grupos: DH - ratas  
1493 prenhes submetidas à dieta hiperlipídica durante a gestação e lactação; DH+Mel - ratas  
1494 prenhes submetidas à dieta hiperlipídica durante a gestação e lactação, tratadas com  
1495 melatonina (5,0mg / kg); DC - ratas prenhes submetidas à dieta comum durante a  
1496 gestação e lactação e DC+Mel - ratas prenhes submetidas à dieta comum durante a  
1497 gestação e lactação, tratadas com melatonina (5,0mg / kg). Nos fígados dos animais dos  
1498 grupos DH e DH+Mel observou-se tumefação celular em torno dos vasos, esteatose e  
1499 alguns núcleos picnóticos nos hepatocitos. Entretanto, a melatonina normalizou os  
1500 parâmetros bioquímicos hepáticos, teor de glicogenio e de fibras colágenas. O aumento  
1501 do parênquima lobular foi observado no fígado dos grupos DH e DH+Mel. Assim,  
1502 concluímos que a melatonina tem um grande potencial em reverter os danos na função  
1503 hepática da prole de ratos devido a uma dieta hiperlipidica durante a gestação e a  
1504 lactação.

1505 **Palavras-chave:** Dieta hipercalórica; ratos; histofisiologia; morfometria; fígado;  
1506 antioxidante.

1507

1508

1509

1510

1511

1512 **1. INTRODUÇÃO**

1513  
1514 Obesidade é uma complexa condição que envolve uma gama de fatores, como  
1515 históricos, socioeconômico, psicossociais, biológicos e culturais, caracterizada pelo  
1516 acúmulo anormal ou excessivo de gordura corporal em um nível capaz de comprometer  
1517 a saúde dos indivíduos (WHO, 2018). Essa está relacionada com o balanço energético  
1518 positivo, ou seja, o valor calórico ingerido é superior ao gasto, promovendo aumento na  
1519 reserva de energia e peso corporal, e por sua vez pode estar associado a um acréscimo  
1520 na ingestão calórica, como a redução no total calórico gasto, ou ambos fatores  
1521 (PEREIRA et al., 2003). Ao contrário do suposto, a epidemia da obesidade não está  
1522 restrita aos países industrializados; nos países em desenvolvimento é estimado que mais  
1523 de 115 milhões de pessoas sofram de problemas relacionados a obesidade (WHO,  
1524 2018).

1525 Atualmente, a obesidade tem sido considerada a mais importante desordem  
1526 nutricional em países desenvolvidos e em desenvolvimento, devido ao aumento em sua  
1527 incidência (TIMPER; BRÜNING, 2017; WHO, 2018). Previsões supõem que  
1528 abundância de alimentos hipercalóricos e o sedentarismo irão tornar a obesidade um  
1529 provável cenário para a maioria da população mundial adulta dentro de duas décadas  
1530 (KELLY et al., 2008; WANG et al., 2008; REITER et al., 2012).

1531 O consumo de uma dieta hiperlipídica durante a gestação quanto na lactação pode  
1532 predispor o surgimento de uma sequência de alterações na prole como maior  
1533 susceptibilidade em apresentar obesidade, resistência à insulina, hipertensão,  
1534 dislipidemias, resistência hipotalâmica à leptina e até mesmo mudanças  
1535 comportamentais como ansiedade (POSSIGNOLO, 2012; FERREIRA et al.; 2018).  
1536 Macrossomia fetal em mulheres obesas não está apenas relacionada com o aumento do

1537 tamanho absoluto do feto, como também, a mudanças na composição corporal  
1538 (SEWELL et al., 2006; HULL et al., 2008; LEDDY et al., 2008; KONING et al, 2018).

1539 Hipóteses propõem que a doença hepática gordurosa não alcoólica aconteceria por  
1540 uma sequência de dois fatores: o primeiro sendo o acúmulo de triglicerídeos nos  
1541 hepatócitos (esteatose); seguido pelo segundo fator ao desencadear a progressão para  
1542 patologias hepáticas mais graves, como esteatohepatite e fibrose/cirrose. Os fatores que  
1543 compõem essa patologia hepática possui a capacidade de induzir o estresse oxidativo,  
1544 em parte por defeito no processo de oxidação mitocôndrial, sugerindo que esses  
1545 promova a produção de espécies reativas de oxigênio (ROS) (BHUPATHIRAJU; HU,  
1546 2016; YOUNOSSI et al., 2018). Em consequência da esteatose, o fígado se torna mais  
1547 sensível aos efeitos do estresse oxidativo (MANTENA et al., 2008; FRANÇA et al.,  
1548 2013, YOUNOSSI et al., 2018).

1549 A melatonina é uma indolamina, conhecida como N-acetil-5-metoxitriptamina,  
1550 sintetizada principalmente pela glândula pineal pelas células parenquimatosas em  
1551 resposta as informações luminosas recebidas pelo trato retino-hipotalâmico (SINGH,  
1552 2014). Apresentando o papel de potente antioxidante, pois seus metabolitos exercem  
1553 efeitos diretos através da eliminação de radicais e pela estimulação a síntese de outro  
1554 antioxidante, a glutationa, capaz de reduzir a perda de elétrons da cadeia de elétrons  
1555 mitocôndrias (REITER et al, 2003; NAKAOKA et al., 2013; SINGH et al., 2014).

1556 Assim, em virtude da possibilidade de desenvolvimento de desordens hepáticas  
1557 em filhotes causadas pela dieta hipercalórica, a presente pesquisa tem o objetivo  
1558 investigar os efeitos da melatonina exógena sobre o fígado da prole de matrizes  
1559 submetidas a uma dieta hipercalórica durante a gestação e lactação.

1560

1561

1562 **3.MATERIAL E METODOS**

1563

1564 **3.1 Obtenção dos Animais**

1565

1566 O experimento foi realizado no Laboratório de Histologia do Departamento de  
1567 Morfologia e Fisiologia Animal da Universidade Federal Rural de Pernambuco. Foram  
1568 utilizadas 40 ratas albinas *Rattus norvegicus albinus* com 90 dias de idade, com 200±  
1569 20g, linhagem Wistar, procedentes do Biotério do Departamento de Morfologia e  
1570 Fisiologia Animal da UFRPE. O protocolo experimental foi aprovado pela Comissão de  
1571 Ética Institucional (CEUA), licença de número: 012/2014. Vinte fêmeas foram mantidas  
1572 em gaiolas com alimentação comercial Labina e água “*ad libitum*” e as outras vinte  
1573 receberam dieta hiperlipídica, previamente padronizada por Estadella (2001), e água “*ad*  
1574 *libitum*”, formando-se assim 4 grupos de matrizes:

1575 DC: ratas prenhas submetidas à dieta comum durante toda a gestação e lactação;

1576 DC+Mel: ratas prenhas submetidas à dieta comum e administradas com  
1577 melatonina durante toda a gestação e período de lactação;

1578 DH: ratas prenhas submetidas à dieta hiperlipídica durante toda a gestação e  
1579 período de lactação;

1580 DH+Mel: ratas prenhas submetidas à dieta hiperlipídica e administradas com  
1581 melatonina durante toda a gestação e período de lactação.

1582

1583 **3.2 Diagnóstico de Prenhez**

1584 Após a realização de exames colpocitológicos, as fêmeas que apresentaram três  
1585 ciclos estrais regulares foram acasaladas na proporção de um macho para três fêmeas  
1586 sempre no início da noite (19:00 horas). Pela manhã (7:00 horas), o diagnóstico da  
1587 prenhez foi feito através do exame colpocitológico.

1588

1589           **3.3 Tratamento com Melatonina**

1590           A administração de melatonina foi realizada nas ratas dos DH+Mel e DC+Mel  
1591          de acordo com o protocolo estabelecido por Kim et al. (1998). A dose de melatonina  
1592          (Sigma ChemicalCo., St. Louis, Mo., USA) administrada foi de 5,0 mg/Kg, dissolvida  
1593          diariamente em 100 microlitros de álcool, diluída em 300 microlitros de soro e aplicada  
1594          sempre no início da noite (18:00 horas).

1595           **3.4 Coletas de Sangue**

1596  
1597           A coleta de sangue dos filhotes foi feita por punção cardíaca, após anestesia com  
1598          Tiopental 40mg/kg por via intraperitoneal (LIMA et al., 2005). O plasma dos filhotes  
1599          foi acondicionado à -20°C, até o momento das dosagens. Posteriormente, foi coletado  
1600          dos filhotes o fígado para análise histológica, histoquímica e morfométrica. Após a  
1601          coleta do órgão foi realizada a eutanásia utilizando-se o aprofundamento da anestesia  
1602          associado com Tiopental (100 mg/kg) por via intraperitoneal até a dose letal, de acordo  
1603          com a resolução do CFMV 714/2002.

1604  
1605           **3.5 Bioquímicas Hepática**

1606           Foram utilizados kits comerciais específicos da Labtest (Lagoa Santa, Minas  
1607          Gerais, Brasil) para dosagem de: ALT, AST, Fosfatase Alcalina, Amilase, Ureia,  
1608          Albumina, Creatinina, Proteínas totais, Glicose, Lipase, Colesterol, Triglicerídeos,  
1609          HDL, LDL e Frutosaminas.

1610  
1611           **3.6 Histoquímica e Morfometria Hepática**

1612           O fígado dos filhotes foi fixado em formol a 10% tamponado por 48 horas. Após  
1613          esse período, fragmentos foram processados para inclusão em parafina e os cortes foram  
1614          submetidos à técnica de coloração pelo ácido periódico de Schiff (PAS), Picrosírius e  
1615          Hematoxilina-Eosina (HE). O estudo morfométrico do fígado foi realizado segundo a

1616 metodologia descrita por Engelman et al. (2001), sendo quantificado o parênquima  
1617 lobular e não lobular.

1618

1619 **3.7Análise Estatística**

1620 Os dados obtidos dos parâmetros bioquímicos, bem como os dados morfométricos  
1621 do fígado dos neonatos foram submetidos ao teste não paramétrico de Kruskal-Wallis,  
1622 onde as médias obtidas foram comparadas pelo teste de Wilcoxon Mann-Whitney ( $p <$   
1623 0,05).

1624

1625 **4. RESULTADOS**

1626

1627 **4.1 Análise Bioquímica**

1628

1629 O grupo experimental tratado com dieta hiperlipídica (DH) apresentou um  
1630 aumento significante nas taxas bioquímicas de ALT, AST, fosfatase alcalina, ureia,  
1631 creatina, glicose, lipase, colesterol, triglicerídeos, LDL e frutosamina, e redução nos  
1632 níveis de HDL. Enquanto o grupo tratado com dieta hiperlipídica associada à  
1633 melatonina (DH+MEL) exibiu valores semelhantes ao grupo controle e o grupo DC +  
1634 Mel. Os níveis de Amilase, Albumina e Proteínas totais não apresentaram diferenças  
1635 significativas entre os grupos experimentais (Tabela 1).

1636

1637

1638

1639

1640

1641

1642

**Tabela 1.** Média ± desvio padrão dos parâmetros bioquímicos dos filhotes de 21 dias de idade dos ratos dos grupos experimentais.

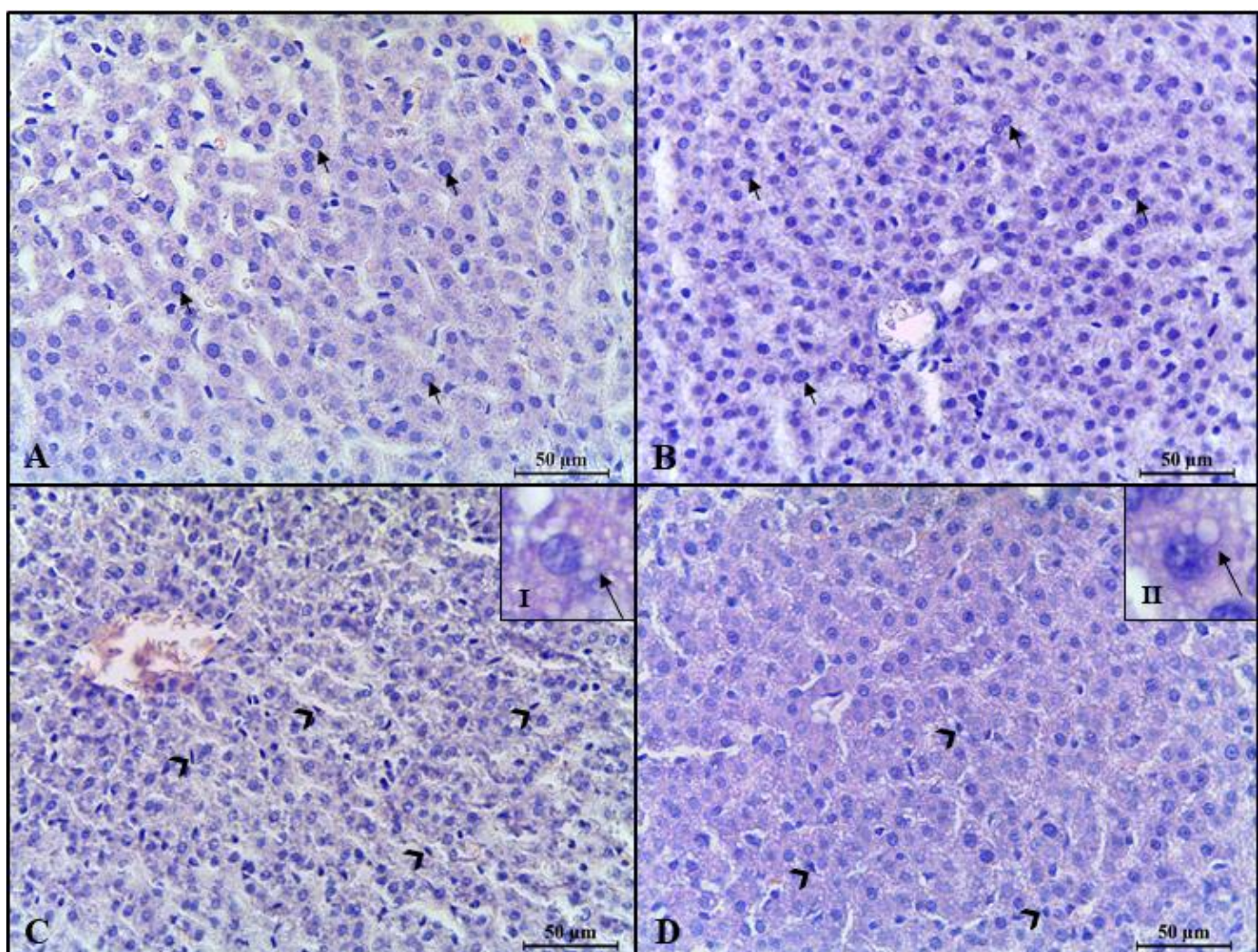
Grupos	DC	DC + Mel	DH	DH + Mel	P
<b>ALT (U/L)</b>	27,63 ± 5,30b	22,72 ± 0,65b	48,85 ± 9,79a	27,75 ± 2,66b	0,0050
<b>AST (U/L)</b>	10,56 ± 1,91b	10,17 ± 3,17b	22,17 ± 2,78a	12,55 ± 2,52b	0,0309
<b>Fosfatase Alcalina (U / L)</b>	320,70 ± 28,11b	369,70 ± 42,65b	780,50 ± 109,00a	388,60 ± 40,73b	0,0439
<b>Amilase (U / L)</b>	114,40 ± 8,76a	101,20 ± 19,63a	99,60 ± 20,91a	97,80 ± 10,13a	0,3624
<b>Ureia (mg / dL)</b>	35,76 ± 4,74b	31,07 ± 4,91b	60,73 ± 13,57a	35,77 ± 5,01b	0,0111
<b>Albumina (g / dL)</b>	2,47 ± 0,11a	2,43 ± 0,20a	2,48 ± 0,09a	2,70 ± 0,36a	0,2609
<b>Creatinina (mg / dL)</b>	0,33 ± 0,03b	0,35 ± 0,03b	0,48 ± 0,01a	0,34 ± 0,01b	0,0312
<b>Proteínas totais (g / dL)</b>	6,03 ± 0,20a	6,12 ± 0,78a	5,93 ± 0,26a	6,55 ± 0,58a	0,2827
<b>Glicose (mg / dL)</b>	123,50 ± 10,47b	126,20 ± 6,35b	146,20 ± 7,23a	128,40 ± 13,23b	0,0079
<b>Lipase (U / L)</b>	18,00 ± 9,27b	20,60 ± 8,64b	41,40 ± 5,12a	27,20 ± 6,49b	0,0007
<b>Colesterol (mg / dL)</b>	111,70 ± 9,31b	117,40 ± 10,95b	160,20 ± 22,40a	124,30 ± 5,51b	0,0147
<b>Triglicerídeos (mg / dL)</b>	68,03 ± 9,25b	73,04 ± 12,54b	175,70 ± 26,92a	83,89 ± 14,28b	0,0261
<b>HDL (mg / dL)</b>	59,00 ± 3,00a	55,00 ± 5,74a	30,60 ± 8,38b	59,20 ± 4,76a	0,0023
<b>LDL (mg / dL)</b>	18,83 ± 3,43b	21,97 ± 5,89b	42,76 ± 9,06a	27,31 ± 5,74b	0,0101
<b>Frutosaminas (μmol / L)</b>	76,20 ± 3,42b	78,00 ± 5,78b	126,80 ± 14,20a	82,60 ± 5,17b	0,0227

As <sup>1646</sup>as seguidas pela mesma letra não diferiram significativamente entre si pelo teste de Wilcoxon-Mann-Whitney (<sup>1646</sup>y P > 0,05).

#### 4.2 Análise Histopatológica do Fígado

<sup>1647</sup>

<sup>1648</sup> O fígado dos filhotes dos grupos DC e DC + Mel apresentaram hepatócitos bem preservados, sem maiores alterações no parênquima (Figura 1A-B). Entretanto no <sup>1650</sup> fígado dos filhotes dos grupos DH e DH + Mel verificamos a ocorrência de tumefação <sup>1651</sup> celular nas áreas ao redor dos vasos, esteatose e alguns núcleos picnóticos (Figura 1C-<sup>1652</sup> D).



1654

1655 **Figura 1.** Histopatologia do fígado dos filhotes dos grupos experimentais. A) DC –  
1656 Dieta Comum e B) DC+Mel. Observar hepatócitos preservados (seta curta); C) DH e D)  
1657 DH+Mel. Notar a presença de núcleo picnótico em hepatócitos (cabeça de seta),  
1658 esteatose (seta longa nos detalhes I e II) e hepatócito com tumefação celular (detalhes I  
1659 e II). Coloração HE

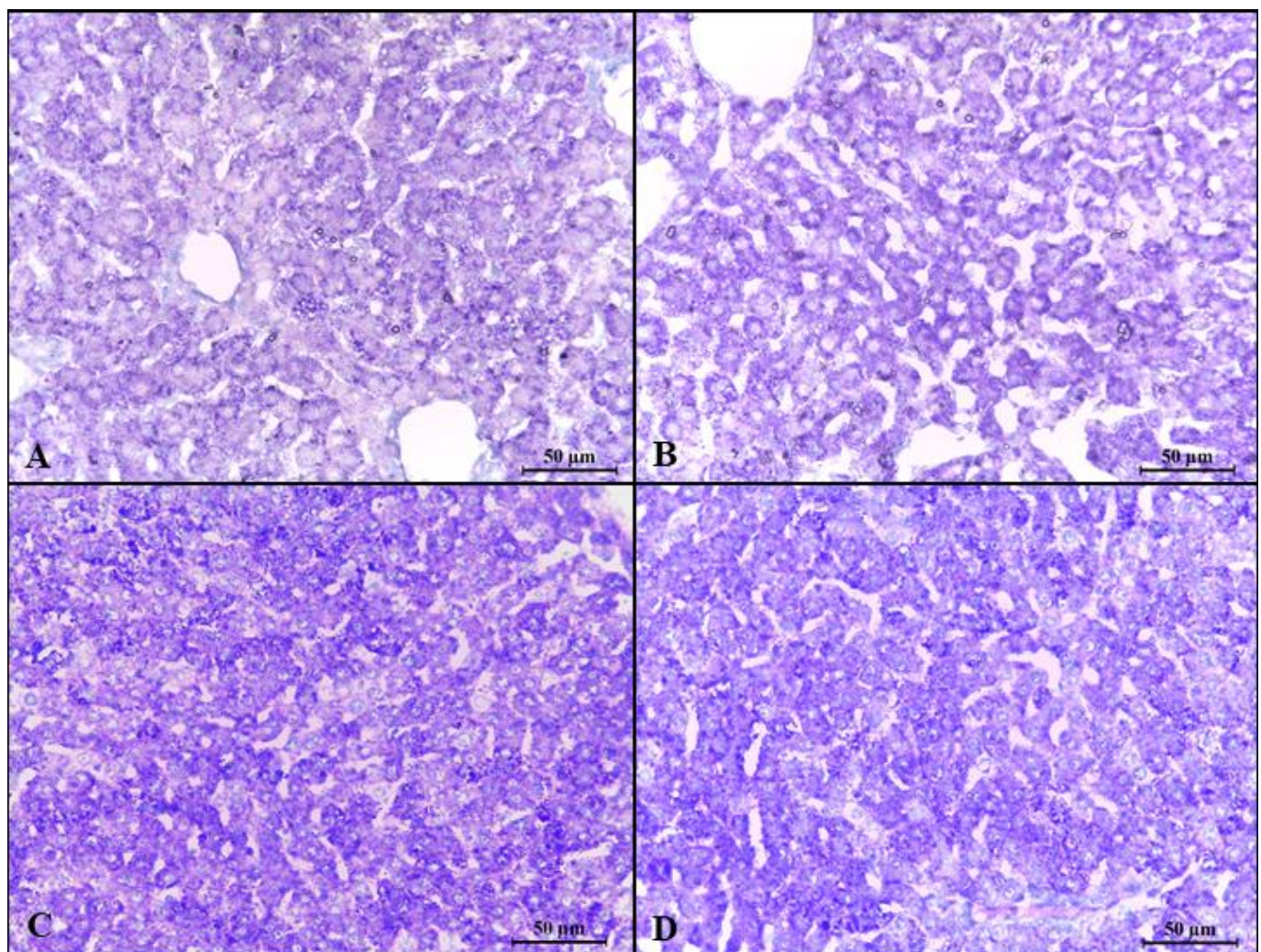
1660

1661 **Histoquímica do Fígado**

1662

1663 A quantificação de glicogênio por meio de PAS revelou um aumento significativo  
1664 no fígado dos filhotes do grupo dieta hiperlipídica (DH) em relação aos demais grupos  
1665 experimentais. O grupo dieta hiperlipídica + Melatonina (DH + Mel), revelou uma  
1666 redução significativa em relação ao grupo DH. Entretanto o menor valor foi observado  
1667 no grupo dieta comum associada a melatonina (DC+Mel), diferindo do controle (DC)  
1668 (Figura 2 e Gráfico1).

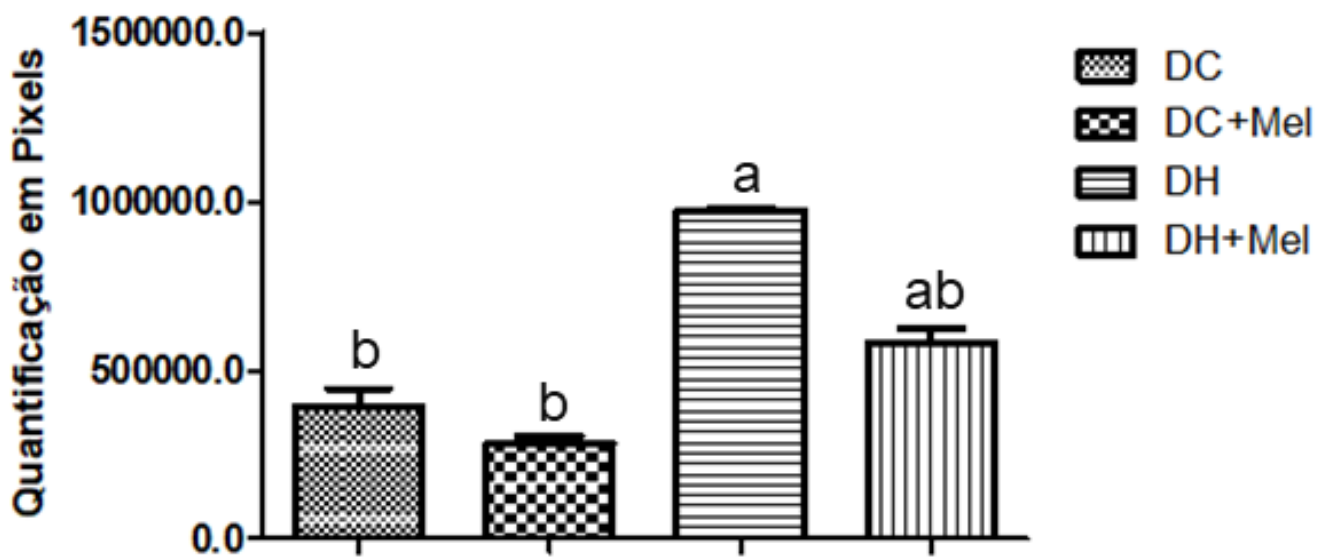
1669 Os dados obtidos através da quantificação com picrosírius mostraram um aumento  
1670 significativo no percentual de colágeno no grupo experimental tratado com dieta  
1671 hiperlipídica (DH) quando comparado aos demais grupos experimentais (Figura 3 e  
1672 Gráfico 2).



1673 **Figura 2.** Histoquímica do fígado dos filhotes dos grupos experimentais para a  
1674 quantificação de glicogênio. A) DC – Dieta Comum; B) DC+Mel – Dieta Comum +  
1675 Melatonina; C) DH – Dieta Hipercalórica; D) DH+Mel – Dieta Hipercalórica +  
1676 Melatonina.

Coloração

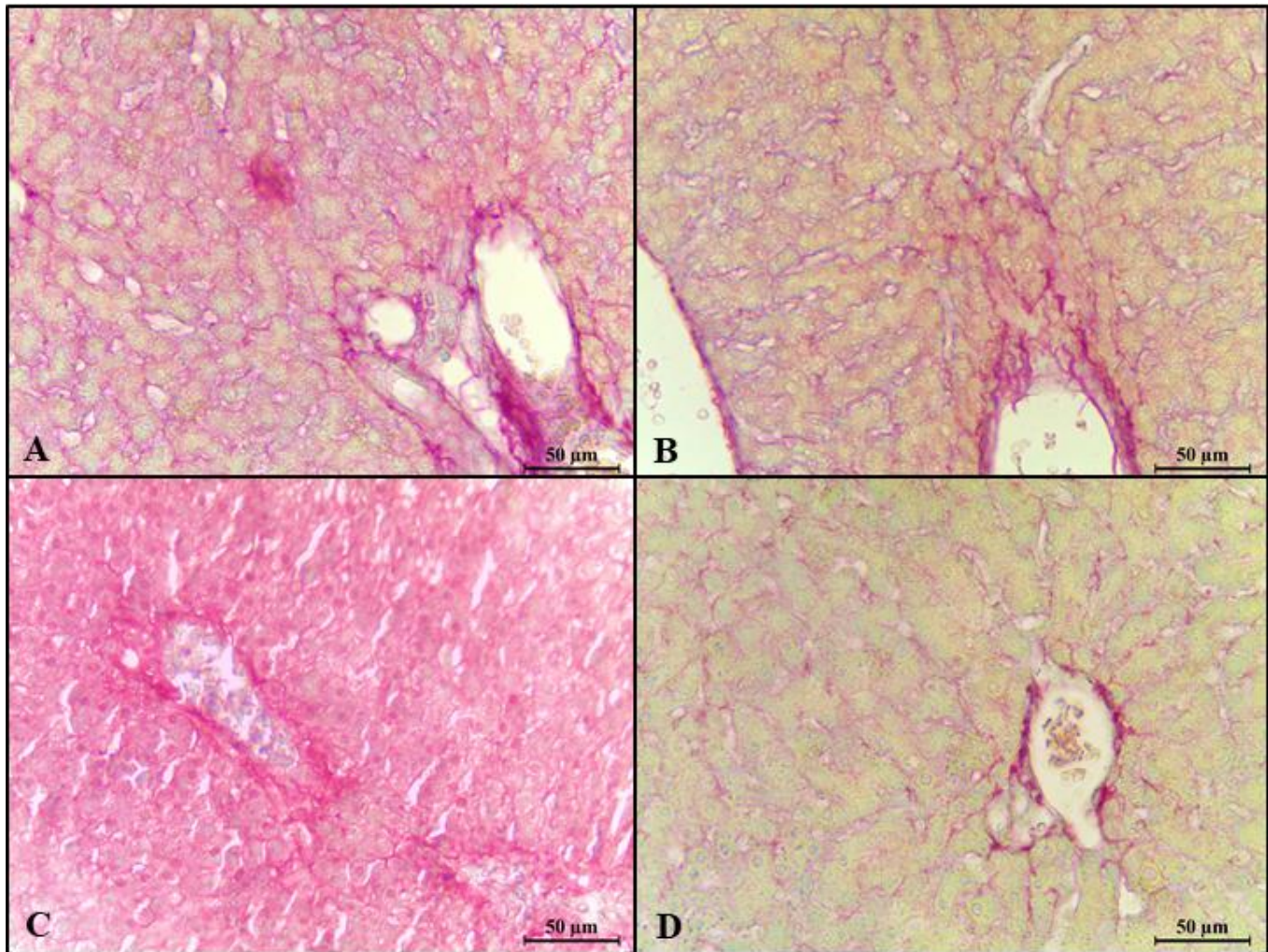
PAS.



1677   **Gráfico 1.** Média dos valores da quantificação de glicogênio por Ácido Periódico de  
1678 Schiff (PAS) no fígado dos filhotes das ratas dos grupos experimentais.

1679

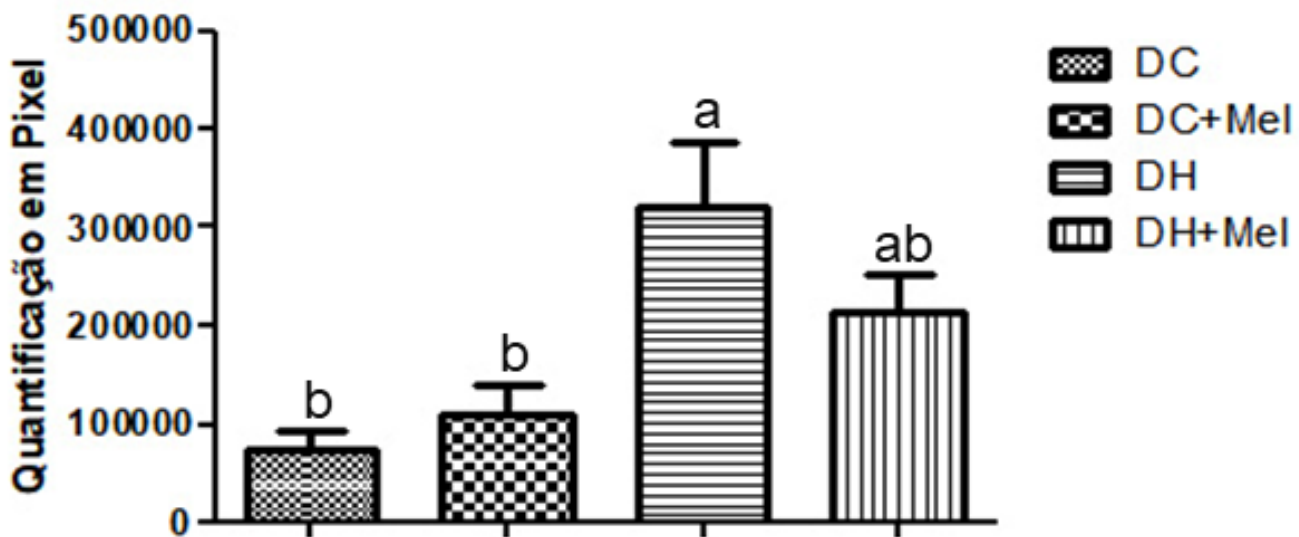
1680



1681

1682 **Figura 3.** Histoquímica dos fígados dos filhotes dos grupos experimentais para a  
1683 quantificação de colágeno. A) DC – Dieta Comum; B) DC+Mel – Dieta Comum +  
1684 Melatonina; C) DH – Dieta Hipercalórica; D) DH+Mel – Dieta Hipercalórica +  
1685 Melatonina. Coloração Picosírius.

1686



1687

1688 **Gráfico 2.** Média dos valores da quantificação colágeno por picosírius nos fígados dos  
1689 filhotes das ratas dos grupos experimentais.

1690

#### 1691 **4.4 Análise da Morfometria do Fígado**

1692

1693 A análise morfométrica revelou um aumento na porcentagem do parênquima  
1694 lobular nos grupos experimentais dieta hiperlipídica (DH) e dieta hiperlipídica com  
1695 melatonina (DH+Mel) em relação aos grupos controles (DC e DC+Mel), enquanto os  
1696 mesmos grupos tratados com dieta hiperlipídica associada ou não a melatonina,  
1697 apresentaram uma redução significativa no parênquima não lobular (Tabela 2).

1698 **Tabela 2.** Média ± desvio padrão do percentual do parênquima lobular e não lobular do  
1699 fígado dos filhotes com 21 dias.

Groups	DC	DC+Mel	DH	DH+Mel	P
<b>Parênquima Lobular</b>	$68,90 \pm 3,62$ b	$67,35 \pm 2,84$ b	$79,35 \pm 2,53$ a	$76,09 \pm 3,91$ a	0,0129
<b>Parênquima não Lobular</b>	$31,10 \pm 1,50$ b	$32,65 \pm 3,87$ b	$20,65 \pm 2,96$ a	$23,91 \pm 2,87$ a	0,0422

Médias seguidas pela mesma letra não diferem significativamente entre si pelo teste de Wilcoxon-Mann-Witney ( $P > 0,05$ ).

1702

1703

1704     **5. DISCUSSÃO**

1705  
1706         A mudança de hábitos alimentares, associada, principalmente, ao processo de  
1707         globalização vem agravando a ingesta de dietas ricas em gordura e açúcares,  
1708         promovendo, assim, um aumento na incidência de patologias associadas a obesidade.  
1709         Estudos mostram que a prevalência nos índices de obesidade por mulheres em idade  
1710         reprodutiva durante a gestação e lactação pode inferir uma predisposição ao surgimento  
1711         de perturbações no desenvolvimento fetal e saúde da prole durante a sua vida, como  
1712         obesidade e disfunções metabólicas, que podem levar a distúrbios hepáticos (LEDDY et  
1713         al., 2008; MOURALIDARANE et al., 2013).

1714         Os resultados obtidos a partir da análise bioquímica do perfil lipídico, incluindo  
1715         colesterol, triglicerídeos e LDL, mostraram elevações significativas nas taxas do grupo  
1716         DH em relação aos demais grupos experimentais, enquanto o grupo DH+Mel  
1717         apresentou índices satisfatoriamente próximos aos grupos DC e DC + Mel. Dessa  
1718         forma, nosso trabalho indica um ação da melatonina em reduzir taxas como: colesterol,  
1719         triglicerídeos e LDL, corroborando com considerações realizadas por Pan et al. (2006) e  
1720         Hatzis et al. (2013) os quais relataram que a melatonina apresenta potencial papel em  
1721         restabelecer atividade hepática, em casos de doença hepática gordurosa não alcoólica  
1722         (DHGNA) e dietas hiperlipídicas, sendo capaz de reduzir significativamente taxas de  
1723         AST e ALT, utilizadas na mensuração da função do fígado.

1724         De acordo com Seraphinet al. (2000) e Silva (2010), a melatonina exibe papel  
1725         sobre a regulação do metabolismo de carboidratos, promovendo um aumento na  
1726         concentração de uma proteína transportadora de glicose, resultando em um aumento da  
1727         sensibilidade tecidual com a glicose. Assim sendo, nossos resultados mostram uma  
1728         diminuição na taxa de glicose por parte do grupo DH+Mel na análise bioquímica em  
1729         comparação ao DH, enquanto a quantificação de mucopolissacarídeos apresenta um

1730 aumento significativo no percentual do grupo DH+Mel quando comparado ao grupo  
1731 controle.

1732 Segundo Koopmanet al. (2014) e Parry; Hodson (2017) tanto o consumo de  
1733 açúcar como de gordura têm sido implicados como causa de esteatose hepática  
1734 aumentando as taxas de obesidade e consequentemente promovendo injurias hepáticas  
1735 como por exemplo a doença hepática gordurosa não alcoólica. Este fato foi observado  
1736 nos filhotes dos grupos DH e DH + Mel. Embora a melatonina seja relatada com  
1737 hepatoprotetora, não foi capaz de reverter o quadro de esteatose. Talvez isso esteja  
1738 relacionado com a dose administrada ou o tempo de tratamento, pois de acordo com  
1739 Hatziset al. (2013) ratos submetidos a uma dieta hipercalórica e tratados concomitante  
1740 com melatonina na mesma dosagem utilizada em nosso experimento, também não  
1741 apresentaram reversão da esteatose hepática. No entanto, a melatonina foi capaz de  
1742 melhorar a funcionalidade hepática como ficou demonstrado na analise bioquímica.

1743 Estudos realizados por Helgeet al. (2001), em humanos, demonstraram que o  
1744 consumo de dietas hipercalóricas contribuiu para uma maior oxidação de gorduras,  
1745 limitando o uso de carboidratos como substrato energético no trabalho celular. Ainda de  
1746 acordo com Carvalho et al. (2006), dietas hiperlipídicas, ricas em gordura fazem com  
1747 que os ácidos graxos, depositem-se no fígado na forma de triacilgliceróis. Isso pode  
1748 levar a um “clareance” hepático de insulina, aumentando a produção hepática de glicose,  
1749 uma vez que a insulina é o principal hormônio que inibe a produção desse carboidrato.  
1750 Isso poderia explicar o aumento do glicogênio nos fígados dos filhotes do grupo dieta  
1751 hiperlipídica. Com relação a redução do glicogênio no fígado dos filhotes dos grupos  
1752 DC + Mel, em relação ao DC, DH + Mel e DH, pode ser devido ao tratamento crônico  
1753 prolongado (gestação e lactação) que os filhotes foram submetidos (MARKOVÁ et al.,  
1754 2004). Isso sugere que a melatonina pode desempenhar um papel indireto,

1755 possivelmente através de alterações na fisiologia da insulina, na regulação do  
1756 metabolismo de carboidratos (SOENGAS et al., 1998).

1757 Segundo Rosa et al. (2010), em pesquisas semelhantes, avaliando o potencial de  
1758 ação da melatonina sobre patologia hepáticas, observou-se no grupo experimental não  
1759 tratado com melatonina um aumento de colágeno, sugerindo a presença de fibrose  
1760 hepática, enquanto o grupo tratado com melatonina apontou uma diminuição nos níveis  
1761 de colágeno. A literatura tem reportado os efeitos antifibróticos da melatonina, bem  
1762 como suas propriedades em controlar níveis de colágeno nos tecidos (OGETURK et al.  
1763 2008). A ativação de células estreladas hepáticas e a iniciação da síntese de colágeno  
1764 desequilibrada são os principais componentes na patogénesis que conduz a fibrose.  
1765 Dados atuais indicam que estresse oxidativo, peroxidação lipídica e liberação de MDA  
1766 estão relacionados com a ativação destas células e esta ativação é bloqueada por  
1767 antioxidantes (SVEGLIATI et al., 1998; TAHAN et al., 2004). Rosa et al. (2010)  
1768 induziram cirrose em ratos e avaliaram a integridade hepática dos animais quando estes  
1769 eram tratados com melatonina. Os resultados mostraram que este hormônio diminuiu o  
1770 estresse oxidativo atuando como removedor de radicais livres e fornecendo proteção  
1771 antioxidante de biomoléculas. Também reduziu significativamente os níveis de  
1772 lipoperoxidação hepática, prevenindo significativamente a deposição de colágeno  
1773 no fígado. Assim, corroborando com nosso trabalho que exibiu um aumento de colágeno  
1774 na quantificação por picrosírus no grupo DH, enquanto o grupo tratado com melatonina  
1775 DH+Mel apresentou índices reduzido.

1776 O aumento da proporção do parênquima lobular no fígado da prole das ratas dos  
1777 grupos de DH e DH + Mel poderia estar relacionado à tumefação dos hepatócitos ou o  
1778 que é mais provável, a presença da esteatose fator preponderante em decorrências de  
1779 dietas hipercalóricas (BAYRAKTAR; VAN THIEL 1997), uma vez que, como relatado

1780 anteriormente, a melatonina não foi capaz de reverter essa injuria hepática, isso poderia  
1781 explicar a não diferença entre os parênquimas lobulares desses grupos. Assim,  
1782 concluímos que a melatonina apresenta um grande potencial em reverter os danos na  
1783 função hepática da prole de ratas em decorrência de uma dieta hiperlipídica  
1784 administrada durante a gestação e lactação.

1785 **6. REFERÊNCIAS BIBLIOGRÁFICAS**

- 1786 AGIL, A.*et al.* **Beneficial effects of melatonin on obesity and lipid profile in young**  
1787 **Zucker diabetic fatty rats.** *J Pineal Res.* 50(2):207-212, 2011.
- 1788 ALFARADHI, M.Z. *et al.* **Oxidative stress and altered lipid homeostasis in the**  
1789 **programming of offspring fatty liver by maternal obesity.** *AJP Regul Integr Comp*  
1790 *Physiol.* 307(1):R26-R34, 2014.
- 1791 ANDRADE Z, A. **Regression of hepatic fibrosis.** *Rev Soc Bras Med Trop.* 38(6):514-  
1792 520, 2005.
- 1793 ANGULO, P. **Nonalcoholic fatty liver disease.** *N Engl J Med.* 346: 1221-1231, 2002
- 1794 ASHINO, N.G.; SAITO, K.N.; SOUZA, F.D. *et al.* **Maternal high-fat feeding**  
1795 **through pregnancy and lactation predisposes mouse offspring to molecular insulin**  
1796 **resistance and fatty liver.** *J Nutr Biochem.* 23(4):341-348, 2012.
- 1797 AZEVEDO, F.R.; BRITO C.B. **Influência das variáveis nutricionais e da obesidade**  
1798 **sobre a saúde e o metabolismo.** *Rev Assoc Med Bras.* 58(6):714-723, 2012.
- 1799 BAIRD, D.T.; CNATTINGIUS, S.; COLLINS, J. *et al.* **Nutrition and reproduction in**  
1800 **women.** *Hum Reprod Update.* 12(3):193-207, 2006.
- 1801 BAYOL, S.A.; FARRINGTON, S.J.; STICKLAND, N.C. **A maternal “junk food” diet**  
1802 **in pregnancy and lactation promotes an exacerbated taste for “junk food” and a**  
1803 **greater propensity for obesity in rat offspring.** *Br J Nutr.* 98(4):843-851, 2007.
- 1804 BAYOL, S.A.; SIMBI, B.H.; FOWKES, R.C. *et al.* **A maternal “junk food” diet in**  
1805 **pregnancy and lactation promotes nonalcoholic fatty liver disease in rat offspring.**  
1806 *Endocrinology.* 151(4):1451-1461, 2010.
- 1807 BAYRAKTAR, M.; VAN THIEL, D.H. **Abnormalities in measures of liver function**  
1808 **and injury in thyroid disorders.** *Hepatogastroenterology,* 44:614-618, 1997.
- 1809 BAZWINSKY-WUTSCHEK, I.; BIESEKE, L.; MÜHLBAUER, E. *et al.* **Influence of**  
1810 **melatonin receptor signalling on parameters involved in blood glucose**  
1811 **regulation.** *J. Pineal Res.* 56, 82–96, 2014.
- 1812 BEGRICHE, K.; IGOUDJIL, A.; PESSAYRE, D. *et al.* **Mitochondrial dysfunction in**  
1813 **NASH: causes, consequences and possible means to prevent it.** *Mitochondrion* 6:1–  
1814 28; 2006.
- 1815 BERALDO, F.C., VAZ,I.M.F, NAVES, M.M.V. **Nutrição, atividade física e**  
1816 **obesidade em adultos: aspectos atuais e recomendações para prevenção e**  
1817 **tratamento.** *RevMed Minas Gerais.* 14(1):57-62, 2004.

- 1818 BLEIL, S.I. **O Padrão Alimentar Ocidental: considerações sobre a mudança de**  
1819 **hábitos no Brasil.** *Revista Cadernos de Debate.* VI:1-25, 1998.
- 1820 BOO, H.A.; HARDING, J.E. **The developmental origins of adult disease (Barker)**  
1821 **hypothesis.** *Aust N Z J Obstet Gynaecol.* 46:4-14, 2006.
- 1822 BORENGASSER, S.J.; KANG, P.; FASKE, J. *et al.* **High fat diet and in utero**  
1823 **exposure to maternal obesity disrupts circadian rhythm and leads to metabolic**  
1824 **programming of liver in rat offspring.** *PLoS One.* 9(1), 1-13, 2014.
- 1825 BORENGASSER, S.J.; ZHONG, Y.; KANG, P. *et al.* **Maternal obesity enhances**  
1826 **white adipose tissue differentiation and alters genome-scale DNA methylation in**  
1827 **male rat offspring.** *Endocrinology.* 154(11):4113-4125, 2013.
- 1828 BORENGASSER, S.J., LAU, F.; KANG, P. *et al.* **Maternal obesity during gestation**  
1829 **impairs fatty acid oxidation and mitochondrial SIRT3 expression in rat offspring**  
1830 **at weaning.** *PLoS One.* 6(8), 1-9, 2011.
- 1831 BOUANANE, S.; MERZOUK, H.; BENKALFAT, N.B. *et al.* **Hepatic and very low-**  
1832 **density lipoprotein fatty acids in obese offspring of overfed dams.** *Metabolism.*  
1833 59(12):1701-1709, 2010.
- 1834 BROWNING, J.D.; HORTON, J.D. **Molecular mediators of hepatic steatosis and**  
1835 **liver injury.** *JCI.* 114(2), 147-152, 2004.
- 1836 BUBENIK, G.A. **Gastrointestinal melatonin: localization, function, and clinical**  
1837 **relevance.** *Dig. Dis. Sci.* 47, 2336-2348, 2002.
- 1838 CARVALHO, M.H.C.; COLAÇO, A.L.; FORTES, Z.B. **Citocinas, disfunção**  
1839 **endotelial e resistência à insulina.** *Arq Bras Endocrinol Metab.* 50(2), 304-12, 2006.
- 1840 CATALANO, P.M.; EHRENBERG, H.M. **The short- and long-term implications of**  
1841 **maternal obesity on the mother and her offspring.** *BJOG An Int J Obstet Gynaecol.*  
1842 113(10):1126-1133, 2006.
- 1843 CUZZOCREA, S.; REITER, R.J. **Pharmacological action of melatonin in shock,**  
1844 **inflammation and ischemia/reperfusion injury.** *Eur J Pharmacol.* 426(1-2):1-10,  
1845 2001.
- 1846 DAY, C.P.; JAMES, O.F. **Steatohepatitis: a tale of two “hits”?** *Gastroenterology*  
1847 114:842-845, 1998.
- 1848 DOUGLAS, C.R. **Tratado de fisiologia aplicada às ciências médicas.** 2006. 6 ed. Rio  
1849 de Janeiro: Guanabara Koogan.
- 1850 DULLOO, A.G.; ANTIC, V.; MONTANI, J.P. **Ectopic fat stores: housekeepers that**  
1851 **can overspill into weapons of lean body mass destruction.** *Int J Obesity.*  
1852 28(suppl):S1-S2, 2004.
- 1853 FABBRINI, E.; SULLIVAN, S.; KLEIN, S. **Obesity and nonalcoholic fatty liver**  
1854 **disease: Biochemical, metabolic, and clinical implications.** *Hepatology.* 51(2):679-  
1855 689, 2010.
- 1856 FARRELL, G.C.; LARTER, C.Z. **Nonalcoholic fatty liver disease: from steatosis to**  
1857 **cirrhosis.** *Hepatology* 43:S99-S112; 2006.
- 1858 FELDSTEIN, A.E.; WERNEBURG, N.W.; CANBAY, A. *et al.* **Free fatty acids**  
1859 **promote hepatic lipotoxicity by stimulating TNF-alpha expression via a lysosomal**  
1860 **pathway.** *Hepatology*, 40:185-194; 2004.

- 1861 FELDSTEIN, A.E.; WERNEBURG, N.W.; LI, Z. *et al.* **Bax inhibition protects against**  
1862 **free fatty acid-induced lysosomal permeabilization.** Am. J. Physiol.: Gastrointest.  
1863 Liver Physiol. 290:G1339–G1346; 2006.
- 1864 FÉRÉZOU-VIALA, J.; ROY, A.F.; SEROUGNE, C. *et al.* **Long-term consequences of**  
1865 **maternal high-fat feeding on hypothalamic leptin sensitivity and diet-induced**  
1866 **obesity in the offspring.** Am J PhysiolRegulIntegr Comp Physiol. 293, R1056–  
1867 R1062, 2007.
- 1868 FLEGAL, K.M.; CARROLL, M.D., KIT, B.K. *et al.* **Prevalence of obesity and trends**  
1869 **in the distribution of body mass index among US adults, 1999–2010.** JAMA  
1870 307:491–497, 2012.
- 1871 FURUKAWA, S.; FUJITA, T.; SHUMABUKURO, M. *et al.* **Increased oxidative**  
1872 **stress in obesity and its impact on metabolic syndrome.** J Clin Invest. 114(12):1752–  
1873 1761, 2004.
- 1874 GARN, S.M.; CLARK, D.C. **Trends in fatness and the origins of obesity.** Pediatrics  
1875 57:443–56, 1976.
- 1876 GARN, S.M.; COLE, P.E.; BAILEY, S.M. **Living together as a factor in family line**  
1877 **resemblances.** Hum Biol 51:565–87, 1979.
- 1878 HARDELAND, R.; TAN, D.X.; REITER, R.J. **Kynuramines, metabolites of**  
1879 **melatonin and other indoles: the resurrection of an almost forgotten class of**  
1880 **biogenic amine.** J. Pineal Res. 47, 109–126, 2009.
- 1881 HATZIS, G.; ZIAKAS, P.; KAVANTZAS, N. *et al.* **Melatonin attenuates high fat**  
1882 **diet-induced fatty liver disease in rats.** World J Hepatol. 27; 5(4): 160–169, 2013.
- 1883 HAYES, E.K.; LECHOWICZ, A.; PETRIK, J.J. **Adverse Fetal and Neonatal**  
1884 **Outcomes Associated with a Life-Long High Fat Diet: Role of Altered**  
1885 **Development of the Placental Vasculature.** Plos one. 7(3):e33370, 2012.
- 1886 HEIMBERG M, FIZETTE NB. **The action of norepinephrine on the transport of**  
1887 **fatty acids and triglycerides by the isolated perfused rat liver.** Biochem Pharmacol.  
1888 1963;12(4):392–394.
- 1889 HELGE, J.W.; WATT, P.W.; RICHTER, E.A. *et al.* **Utilization during exercise:**  
1890 **adaptation to a fat-rich diet increases utilization of plasma fatty acids and very**  
1891 **low density lipoprotein-triacylglycerol in humans.** J Physiol. 537(3), 1009–1020,  
1892 2001.
- 1893 HULL, H.R.; DINGER, M.K.; KNEHANS, A.W. *et al.* **Impact of maternal body mass**  
1894 **index on neonate birth-weight and body composition.** Am J ObstetGynecol.  
1895 198:416.e1–e6, 2008.
- 1896 ILONA, I.; CEGIELSKI, M.; GEBAROWSKA, E. *et al.* **Effect of melatonin on human**  
1897 **keratinocytes and fibroblasts subjected UVA and UVB radiation in vitro.** In Vivo,  
1898 23, 739–746. 2009.
- 1899 JAMES, P.T.; LEACH, R.; KALAMARA, E. *et al.* **The Worldwide Obesity**  
1900 **Epidemic.** Obes Res. 9(4), 228S–233S, 2001.
- 1901 KANG, J.W.; KOH, E.J.; LEE, S.M. **Melatonin protects liver against ischemia and**  
1902 **reperfusion injury through inhibition of toll-like receptor signaling pathway.** J  
1903 Pineal Res. 50(4):403–411, 2011.

- 1904 KELLY, T.; WANG, W.; CHEN, C.S. *et al.* Global burden of obesity in 2005 and  
1905 projections to 2030. *Int J Obes.* 32:1431 – 1437, 2008.
- 1906 KHAN, I.Y.; DEKOU, V.; DOUGLAS, G. *et al.* A high-fat diet during rat pregnancy  
1907 or suckling induces cardiovascular dysfunction in adult offspring. *Am J*  
1908 *PhysiolRegulIntegr Comp Physiol.* 288(1):R127- R133, 2005.
- 1909 KIRK, S.L.; SAMUELSSON, A.M.; ARGENTON, M. *et al.* Maternal obesity induced  
1910 by diet in rats permanently influences central processes regulating food intake in  
1911 offspring. *PLoS One.* 4(6), 1-13, 2009.
- 1912 KOOPMAN, K.E.; CAAN, M.W.A.; NEDERVEEN, A.J. *et al.* Hypercaloric diets  
1913 with increased meal frequency, but not meal size, increase intrahepatic  
1914 triglycerides: a randomized controlled trial. *Hepatology,* 60 (2): 545-553, 2014.
- 1915 LANDAR, A.; SHIVA, S.; LEVONEN, A.L. *et al.* Induction of the permeability  
1916 transition and cytochrome c release by 15-deoxy-Delta12,14-prostaglandin J2 in  
1917 mitochondria. *Biochem. J.* 394:185–195, 2006.
- 1918 LANDAR, A.; ZMIJEWSKI, J. W.; DICKINSON, D.A. *et al.* Interaction of  
1919 electrophilic lipid oxidation products with mitochondria in endothelial cells and  
1920 formation of reactive oxygen species. *Am. J. Physiol., Heart Circ. Physiol.*  
1921 290:H1777–H1787, 2006.
- 1922 LEDDY, M.A.; POWER, M.L.; SCHULKIN, J. The impact of maternal obesity on  
1923 maternal and fetal health. *Rev Obstet Gynecol.* 1(4):170-178, 2008.
- 1924 LI, M.; SLOBODA, D.M.; VICKERS, M.H. Maternal obesity and developmental  
1925 programming of metabolic disorders in offspring: Evidence from animal  
1926 models. *Exp Diabetes Res.* 2011, 1-9, 2011.
- 1927 LIANG, R.; NICKKHOLGH, A.; HOFFMANN, K. *et al.* Melatonin protects from  
1928 hepatic reperfusion injury through inhibition of IKK and JNK pathways and  
1929 modification of cell proliferation. *J Pineal Res.* 46:8–14, 2009.
- 1930 MANTENA, S.K.; KING, A.L.; ANDRINGA, K.K. *et al.* Mitochondrial dysfunction  
1931 and oxidative stress in the pathogenesis of alcohol- and obesity-induced fatty liver  
1932 diseases. *Free Radic Biol Med.* 44(7):1259-1272, 2008.
- 1933 MARKOVÁ, M.; ADÁMEKOVÁ, E.; BOJKOVÁ, B.; KUBATKA, P.;  
1934 KASSAYOVÁ, M.; AHLERSOVÁ, E.; AHLERS, I. Effect of Low-dose Chronic  
1935 Melatonin Administration on Metabolic and Hormonal Variables in Young  
1936 Laboratory Rats. *Acta Vet. Brno,* 73: 445–453, 2004.
- 1937 MATEOS, S.S.; ALONSO-GONZALEZ, C.; GONZALEZ, A. *et al.* Melatonin and  
1938 estradiol effects on food intake body weight and leptin in ovariectomized  
1939 rats. *Maturitas* 58, 91–101. 2007.
- 1940 MCCURDY, C.E.; BISHOP, J.M.; WILLIAMS, S.M. *et al.* Maternal high-fat diet  
1941 triggers lipotoxicity in the fetal livers of nonhuman primates. *J Clin Invest.* 119: 323–  
1942 335. 2009.
- 1943 MONTEIRO, C.A.; MONDINI, L.; SOUZA, A.L.M. *et al.* Da desnutrição para a  
1944 obesidade – a transição nutricional no Brasil. Velhos e novos males da Saúde Pública  
1945 no Brasil: a evolução do país e de suas doenças. São Paulo: Huci- tec; 1995.

- 1946 MOURALIDARANE, A.; SOEDA, J.; SUGDEN, D.*et al.* Maternal obesity programs  
 1947 offspring non-alcoholic fatty liver disease through disruption of 24-h rhythms in  
 1948 mice.*Int J Obes.* 39(9):1339-1348, 2015.
- 1949 MOURALIDARANE, A.; SOEDA, J.; VISCONTI-PUGMIRE, C.*et al.* Maternal  
 1950 obesity programs offspring nonalcoholic fatty liver disease by innate immune  
 1951 dysfunction in mice. *Hepatology.* 58(1):128-138, 2013.
- 1952 NISHIDA, S.; SATO, R.; MURAI, I.*et al.* Effect of pinealectomy on plasma levels of  
 1953 insulin and leptin. *J Pineal Res.* 35(4):251-256, 2003.
- 1954 NISHIDA, S.; SEGAWA, T.; MURAI, I. *et al.* Long-term melatonin administration  
 1955 reduces hyperinsulinemia and improves the altered fatty-acid compositions in  
 1956 type-2 diabetic rats via the restoration of Delta-5 desaturase activity. *J. Pineal Res.*  
 1957 32, 26-33. 2002.
- 1958 OBEN, J.A.; MOURALIDARANE, A.; SAMUELSSON, A.M.*et al.* Maternal obesity  
 1959 during pregnancy and lactation programs the development of offspring non-  
 1960 alcoholic fatty liver disease in mice. *J Hepatol.* 52(6):913-920, 2010.
- 1961 OBEN, J.A.; ROSKAMS, T.; YANG, S.*et al.* Norepinephrine induces hepatic  
 1962 fibrogenesis in leptin deficient ob/ob mice. *Biochem Biophys Res Commun.*  
 1963 308(2):284-292, 2003.
- 1964 OBEN, J.A.; ROSKAMS, T.; YANG, S. *et al.* Hepatic fibrogenesis requires  
 1965 sympathetic neurotransmitters. *Gut*, 53:438-445, 2004.
- 1966 OGETURK, M.; KUS, I.; PEKMEZ, H. *et al.* Inhibition of carbon tetrachloride-  
 1967 mediated apoptosis and oxidative stress by melatonin in experimental liver  
 1968 fibrosis. *Toxicology and industrial health.* 24(4), 201-208, 2008.
- 1969 OKEN, E.; GILLMAN, M.W. Fetal origins of obesity. *Obes Res.* 11:496- 506, 2003.
- 1970 OZTURK, G.; COSKUN, S.; ERBAS, D.*et al.* The effect of melatonin on liver  
 1971 superoxide dismutase activity, serum nitrate and thyroid hormone levels. *Jpn J*  
 1972 *Physiol.* 50(1):149-153, 2000.
- 1973 PAN, M., SONG, Y. L., XU, J. M., & GAN, H. Z. Melatonin ameliorates  
 1974 nonalcoholic fatty liver induced by high-fat diet in rats. *J Pineal Res.* 41(1), 79-84,  
 1975 2006.
- 1976 PARRY, S.A.; HODSON, L. Influence of dietary macronutrients on liver fat  
 1977 accumulation and metabolism. *J Investig Med.* 65(8):1102-1115, 2017.
- 1978 PEREIRA, L.O.; FRANCISCHI, R.P.; LANCHÁ JR. AH. **Obesidade: hábitos**  
 1979 **nutricionais, sedentarismo e resistência à insulina.** *Arq Bras Endocrinol Metabol.*  
 1980 47(2):111-127, 2003.
- 1981 PEREIRA, L.O.; FRANCISCHI, R.P.; KLOPFER, M. *et al.* **Obesidade e sua**  
 1982 **Implicações – Ação da Atividade Física e Controle Nutricional.** *Rev Bras*  
 1983 *Nutr Clin* 14:9-17, 1999.
- 1984 POSSIGNOLO, L.F. Effect of high fat diet chronic ingestion on the metabolism of  
 1985 female rats, and on the sr-bi and abca1 expression in the placenta, small intestine, liver  
 1986 and kidney of the offspring. **Dissertação de Mestrado**, p. 176, 2012.
- 1987 POSTON, L. **Maternal obesity, gestational weight gain and diet as determinants of**  
 1988 **offspring long term health.** *Best Pract Res Clin Endocrinol Metab.* 26(5):627-639, 2012.

- 1989 REITER, J.R.; MANCHESTER, C.L.; TAN. D.X. **Neurotoxins: Free Radical Mechanisms and Melatonin Protection.***Curr Neuropharmacol.* 8(3):194-210, 2010.
- 1990
- 1991 REITER, R.J.; TAN, D.X.; KORKMAZ, A.; M.A.S. **Obesity and metabolic syndrome: Association with chronodisruption, sleep deprivation, and melatonin suppression.***Ann Med.* 44(6):564-577, 2012.
- 1992
- 1993
- 1994 REITER, R.J. *et al.* **Melatonin as an antioxidant: biochemical mechanisms and pathophysiological implications.***Acta Biochim. Pol.* 50, 1129–1146. 2003.
- 1995
- 1996 REYNOLDS, J.R.M. **The risk of maternal obesity to the long-term health of the offspring.***Clin Endocrinol (Oxf).* 78: 9-16, 2013.
- 1997
- 1998 ROSA, D.P.; BONA, S.; SIMONETTO, D. *et al.* **Melatonin protects the liver and erythrocytes against oxidative stress in cirrhotic rats.***Arq Gastroenterol.* 47(1):72-78, 2010.
- 1999
- 2000
- 2001 ROSINI, T.C.; DA SILVA, A.S.R.; MORAES, C.D.E. **Obesidade induzida por consumo de dieta: modelo em roedores para o estudo dos distúrbios relacionados com a obesidade.***Rev Assoc Med Bras.* 58(3):383-387, 2012.
- 2002
- 2003
- 2004 SCHEER, F.A.J.L. *et al.* **Adverse metabolic and cardiovascular consequences of circadian misalignment.***Proc. Natl. Acad. Sci. U. S. A.* 106, 4453–4458. 2009.
- 2005
- 2006 SERAPHIM, P.M.; SUMIDA, D.H.; NISHIDE, F.T. *et al.* **A glândula pineal e o metabolismo de carboidratos.***Arq Bras Endocrinol Metabol.* 44(4):331-338, 2000.
- 2007
- 2008 SEWELL, M.F.; HUSTON-PRESLEY, L.; SUPER, D.M. *et al.* **Increased neonatal fat mass, not lean body mass, is associated with maternal obesity.***Am J Obstet Gynecol.* 195: 1100-1103, 2006.
- 2009
- 2010
- 2011 SHIMOZUMA, M. *et al.* **Expression and cellular localization of melatonin synthesizing enzymes in rat and human salivary glands.***Histochem. Cell. Biol.* 135, 389–396. 2011.
- 2012
- 2013
- 2014 SILVA, F.C.A. **Efeito do fotoperíodo no disco placentário e o impacto sobre o fígado da prole.** 2010. Dissertação (Mestrado em Morfofisiologia) - Universidade Federal Rural de Pernambuco, Pernambuco.
- 2015
- 2016
- 2017 SINGH, M.; JADHAV, H.R. **Melatonin: Functions and ligands.***Drug Discov Today.* 19(9):1410-1418, 2014.
- 2018
- 2019 SRINIVASAN, M.; KATEWA, S.D.; PALANIYAPPAN, A. *et al.* **Maternal high- fat diet consumption results in fetal malprogramming predisposing to the onset of metabolic syndrome-like phenotype in adulthood.***Am J Physiol Endocrinol Metab.* 291(4):E792-9, 2006;
- 2020
- 2021
- 2022
- 2023 SOENGAS, J.L.; STRONG, E.F.; ANDRÉS, M.D. *et al.* **Dose-dependent effects of acute melatonin treatments on brain carbohydrate metabolism of rainbow trout.***Fish Physiol. Biochem.* 18, (4), 311–319, 1998.
- 2024
- 2025
- 2026 SULLIVAN, E.L.; SMITH, M.S.; GROVE, K.L. **Perinatal exposure to high-fat diet programs energy balance, metabolism and behavior in adulthood.***Neuroendocrinology.* 93(1):1-8, 2011;
- 2027
- 2028
- 2029 SULLIVAN, E.L.; GRAYSON, B.; TAKAHASHI, D. *et al.* **Chronic Consumption of a High-Fat Diet during Pregnancy Causes Perturbations in the Serotonergic System and Increased Anxiety-Like Behavior in Nonhuman Primate Offspring.***J Neuro.* 30(10): 3826-3830, 2011.
- 2030
- 2031
- 2032

- 2033 SVEGLIATI, B.G.; D'AMBROSIO, L.; FERRETTI, G. *et al.* Fibrogenic effect of  
2034 oxidative stress on 3006 rat hepatic stellate cells. *Hepatology*.27(3), 720-726, 1998.
- 2035 TAHAN, V.; OZARAS, R.; CANBAKAN, B. *et al.* Melatonin reduces  
2036 dimethylnitrosamine-induced liver 3018 fibrosis in rats. *Journal of Pineal  
2037 Research*.v. 37(2), p.78-84, 2004.
- 2038 TAIN, Y.L.; HUANG, L.T.; HSU, C.N. *et al.* Melatonin therapy prevents  
2039 programmed hypertension and nitric oxide deficiency in offspring exposed to  
2040 maternal caloric restriction. *Oxidative Medicine and Cellular Longevity*, 1-21, 2014.
- 2041 TAN, D.X.; MANCHESTER, L.C.; FUENTES-BROTO, L. *et al.* Significance and  
2042 application of melatonin in the regulation of brown adipose tissue metabolism:  
2043 Relation to human obesity. *Obes Rev.* 12(3):167-188,2011.
- 2044 TERRON, M.P. *et al.* Melatonin reduces body weight gain and increase nocturnal  
2045 activity in male Wistar rats. *PhysiolBehav.* 118, 8–13. 2013.
- 2046 WANDERLEY, E.N.; FERREIRA, V.A. **Obesidade: uma perspectiva plural.** *Ciênc.  
2047 Saúde Coletiva*.15(1), 185-194, 2010.
- 2048 WANG, Y.; BEYDOUN, M.A.; LIANG, L. *et al.* Will all Americans become  
2049 overweight or obese? Estimating the progression and cost of the US obesity  
2050 epidemic. *Obesity*.16:2323 – 2330,2008.
- 2051 WEHR, T.A. *et al.* A circadian signal of change of season in patients with seasonal  
2052 affective disorder. *Arch. Gen. Psychiatry* 58, 1108–1114. 2001.
- 2053 WEI, Y.; WANG, D.; PAGLIASSOTTI, M. J. Saturated fatty acid-mediated  
2054 endoplasmic reticulum stress and apoptosis are augmented by trans-10, cis-12-  
2055 conjugated linoleic acid in liver cells. *Mol. Cell. Biochem.* 303:105–113; 2007.
- 2056 WEI, Y.; WANG, D.; TOPCZEWSKI, F.; PAGLIASSOTTI, M. J. Saturated fatty  
2057 acids induce endoplasmic reticulum stress and apoptosis independently of  
2058 ceramide in liver cells. *Am. J. Physiol: Endocrinol. Metab.* 291: E275–E281; 2006.
- 2059 WHITE, C.L.; PURPERA, M.N.; MORRISON, C.D. Maternal obesity is necessary  
2060 for programming effect of high-fat diet on offspring. *AJP RegulIntegr Comp Physiol.*  
2061 296(5):R1464-R1472, 2009.
- 2062 WHITE, P.A.S.; CERCATO, L.M.; ARAÚJO, J.M.D. *et al.* **Modelo de obesidade  
2063 induzida por dieta hiperlipídica e associada à resistência à ação da insulina e  
2064 intolerância à glicose.** *ArqBras EndocrinolMetabol.* 57(5):339-345, 2013.
- 2065 WHO. **Obesity : Preventing And Managing The Global Epidemic** Report of a. 2000.
- 2066 WILLIAMS, C.B.; MACKENZIE, K.C.; GAHAGAN, S. **The effect of maternal  
2067 obesity on the offspring.** *ClinObstet Gynecol.* 57(3):508-15, 2014.
- 2068 YAGI, K. Assay for blood plasma or serum. *Methods in Enzymology*, v. 105, p. 328–  
2069 331, 1984.
- 2070 YONEI, Y. *et al.* Effects of melatonin: basic studies and clinical applications. *Anti-  
2071 Ageing Med.* 7, 85–91. 2010.
- 2072 YOSHIDA, Y. **Melatonin receptor MT1 is expressed in mouse skin and In vitro  
2073 treatment enhances whisker growth.** *J. Clin. Exp. Dermatol. Res.* 4, 1–5. 2013.

- 2074 ZAGAJEWSKI, J. *et al.* Conversion of L-tryptophan to melatonin in the GIT: new  
2075 HPLC method enabling simultaneous determination of six metabolites of L-  
2076 tryptophan by native fluorescence and UV-VIS detection. *J. Phys. Pharmacol.* 63,  
2077 613–621. 2012.
- 2078 ZHANG, W.H.; LI, J.Y.; ZHOU, Y. Melatonin abates liver ischemia/reperfusion  
2079 injury by improving the balance between nitric oxide and endothelin.  
2080 *HepatobiliaryPancreatDis Int.* 5(4):574-579, 2006.
- 2081
- 2082
- 2083
- 2084
- 2085
- 2086
- 2087
- 2088
- 2089
- 2090
- 2091
- 2092
- 2093
- 2094
- 2095
- 2096
- 2097
- 2098
- 2099
- 2100
- 2101
- 2102
- 2103
- 2104
- 2105
- 2106
- 2107
- 2108
- 2109
- 2110



2111

## 2112 1. Guide for Authors

### 2113 Your Paper Your Way

2114

2115 We now differentiate between the requirements for new and revised submissions. You  
2116 may choose to submit your manuscript as a single Word or PDF file to be used in the  
2117 refereeing process. Only when your paper is at the revision stage, will you be requested  
2118 to put your paper in to a 'correct format' for acceptance and provide the items required  
2119 for the publication of your article.

2120 **To find out more, please visit the Preparation section below.**



### 2121 2122 Introduction

2123 Food and Chemical Toxicology (FCT), an internationally renowned journal, aspires to  
2124 publish original research articles and reviews on **toxic effects**, in animals or humans, of  
2125 natural or synthetic chemicals occurring in the human environment with particular  
2126 emphasis on **food, drugs, and chemicals, including agricultural and industrial**  
2127 **safety, and consumer product safety**. Areas such as safety evaluation of **novel foods**  
2128 and **ingredients, biotechnologically-derived products, and nanomaterials** are  
2129 included in the scope of the journal. FCT also encourages submission of papers  
2130 on **inter-relationships between nutrition and toxicology** and on *in vitro* techniques,  
2131 particularly those fostering the **3 Rs**.

2132 The principal aim of the journal is to publish high impact, scholarly work and to serve  
2133 as a multidisciplinary forum for research in toxicology. Papers submitted will be judged  
2134 on the basis of scientific originality and contribution to the field, quality and subject  
2135 matter. Studies should address at least one of the following:

- 2136 • Physiological, biochemical, or pathological changes induced by specific substances
- 2137 • Techniques for assessing potential toxicity, including molecular biology
- 2138 • Mechanisms underlying toxic phenomena
- 2139 • Toxicological examinations of specific chemicals or consumer products, both those  
2140 showing adverse effects and those demonstrating safety, that meet current standards  
2141 of scientific acceptability

2142

2143

2144 Manuscripts concerning materials/substances of only local interest for which the  
2145 chemical composition of the material/substance is **not clearly defined** will **not** be  
2146 considered. Manuscripts addressing only pharmacological properties, or only potentially  
2147 beneficial effects using *in vitro* or *in vivo* systems, are not within the scope of the  
2148 journal.

2149 FCT is committed to the highest standards. Only papers that have not been previously  
2150 published, that fit in the above mentioned scope, and that have been reviewed by experts  
2151 in the field prior to publication will be accepted. Cover letters must state that the paper  
2152 is new and original and not under consideration for publication elsewhere. Papers  
2153 pending in other journals will not be considered. Co-authors should be individuals who  
2154 have contributed substantially to the content of the papers.

## 2155 **Types of paper**

2156  
2157 The Journal's main purpose is the publication of papers reporting and interpreting  
2158 original unpublished toxicological research, particularly studies promoting an  
2159 understanding of the mechanisms underlying toxic effects or improvements in methods  
2160 for predicting adverse effects. Papers reporting the toxicological examination of specific  
2161 foods, chemicals or consumer products will be published, irrespective of the positive or  
2162 negative nature of the results, provided the tests and reporting meet current standards of  
2163 acceptability. In addition, Short Communications will also be considered, as will  
2164 concise interpretative Reviews of toxicological topics of contemporary significance.  
2165 Letters to the Editor will be limited to comments on contributions already published in  
2166 the journal; if a letter is accepted, a response (for simultaneous publication) will be  
2167 invited from the authors of the original contribution. All Letters to the Editor should be  
2168 submitted to the Editor in Chief, Jose L. Domingo through the online submission system  
2169 of the Journal.

## 2170 **SPECIAL ISSUE PUBLICATION RULES**

2171 The policies and guidelines mentioned in [THIS DOCUMENT](#) is intended for Guest  
2172 Editors intending to submit a special issue proposal for Food and Chemical Toxicology  
2173 (FCT).

### 2174 **Submission checklist**

2175  
2176 You can use this list to carry out a final check of your submission before you send it to  
2177 the journal for review. Please check the relevant section in this Guide for Authors for  
2178 more details.

### 2179 **Ensure that the following items are present:**

2180 One author has been designated as the corresponding author with contact details:

- 2181 • E-mail address
- 2182 • Full postal address

2183 All necessary files have been uploaded:

2184 *Manuscript:*

- 2185 • Include keywords

- 2186 • All figures (include relevant captions)  
2187 • All tables (including titles, description, footnotes)  
2188 • Ensure all figure and table citations in the text match the files provided  
2189 • Indicate clearly if color should be used for any figures in print  
2190 *Graphical Abstracts / Highlights files* (where applicable)  
2191 *Supplemental files* (where applicable)

- 2192 Further considerations  
2193 • Manuscript has been 'spell checked' and 'grammar checked'  
2194 • All references mentioned in the Reference List are cited in the text, and vice versa  
2195 • Permission has been obtained for use of copyrighted material from other sources  
2196 (including the Internet)  
2197 • A competing interests statement is provided, even if the authors have no competing  
2198 interests to declare  
2199 • Journal policies detailed in this guide have been reviewed  
2200 • Referee suggestions and contact details provided, based on journal requirements

2201 For further information, visit our [Support Center](#).



## Before You Begin

### Ethics in publishing

2203 Please see our information pages on [Ethics in publishing](#) and [Ethical guidelines for journal publication](#).

### Studies in humans and animals

2204 If the work involves the use of human subjects, the author should ensure that the work  
2205 described has been carried out in accordance with [The Code of Ethics of the World](#)  
2206 [Medical Association](#) (Declaration of Helsinki) for experiments involving humans. The  
2207 manuscript should be in line with the [Recommendations for the Conduct, Reporting,](#)  
2208 [Editing and Publication of Scholarly Work in Medical Journals](#) and aim for the  
2209 inclusion of representative human populations (sex, age and ethnicity) as per those  
2210 recommendations. The terms [sex and gender](#) should be used correctly.

2211 Authors should include a statement in the manuscript that informed consent was  
2212 obtained for experimentation with human subjects. The privacy rights of human  
2213 subjects must always be observed.

2214 All animal experiments should comply with the [ARRIVE guidelines](#) and should be  
2215 carried out in accordance with the U.K. Animals (Scientific Procedures) Act, 1986 and  
2216 associated guidelines, [EU Directive 2010/63/EU for animal experiments](#), or the  
2217 National Institutes of Health guide for the care and use of Laboratory animals (NIH  
2218 Publications No. 8023, revised 1978) and the authors should clearly indicate in the  
2219 manuscript that such guidelines have been followed. The sex of animals must be  
2220 indicated, and where appropriate, the influence (or association) of sex on the results of  
2221 the study.

2227 **Declaration of interest**

2228

2229 All authors must disclose any financial and personal relationships with other people or  
2230 organizations that could inappropriately influence (bias) their work. Examples of  
2231 potential conflicts of interest include employment, consultancies, stock ownership,  
2232 honoraria, paid expert testimony, patent applications/registrations, and grants or other  
2233 funding. Authors should complete the declaration of interest statement using [this](#)  
2234 [template](#) and upload to the submission system at the Attach/Upload Files step. If there  
2235 are no interests to declare, please choose: 'Declarations of interest: none' in the template.  
2236 This statement will be published within the article if accepted. [More information](#).

2237 **Submission declaration**

2238

2239 Submission of an article implies that the work described has not been published  
2240 previously (except in the form of an abstract, a published lecture or academic thesis, see  
2241 '[Multiple, redundant or concurrent publication](#)' for more information), that it is not  
2242 under consideration for publication elsewhere, that its publication is approved by all  
2243 authors and tacitly or explicitly by the responsible authorities where the work was  
2244 carried out, and that, if accepted, it will not be published elsewhere in the same form, in  
2245 English or in any other language, including electronically without the written consent of  
2246 the copyright-holder.

2247 **Submission declaration and verification**

2248

2249 Submission of an article implies that the work described has not been published  
2250 previously (except in the form of an abstract or as part of a published lecture or  
2251 academic thesis or as an electronic preprint,  
2252 see <https://www.elsevier.com/postingpolicy>), that it is not under consideration for  
2253 publication elsewhere, that its publication is approved by all authors and tacitly or  
2254 explicitly by the responsible authorities where the work was carried out, and that, if  
2255 accepted, it will not be published elsewhere in the same form, in English or in any other  
2256 language, including electronically without the written consent of the copyright-holder.  
2257 To verify originality, your article may be checked by the originality detection service  
2258 CrossCheck <https://www.elsevier.com/editors/plagdetect>.

2259 Each manuscript must also be accompanied by a cover letter outlining the basic findings  
2260 of the paper and their significance. Furthermore, it is understood that with submission of  
2261 this article the authors have complied with the institutional policies governing the  
2262 humane and ethical treatment of the experimental subjects (i.e. animals and human  
2263 subjects), and that they are willing to share the original data and materials if so  
2264 requested.

2265 **Preprints**

2266 Please note that [preprints](#) can be shared anywhere at any time, in line with  
2267 Elsevier's [sharing policy](#). Sharing your preprints e.g. on a preprint server will not count  
2268 as prior publication (see '[Multiple, redundant or concurrent publication](#)' for more  
2269 information).

2270 **Use of inclusive language**

2271

2272 Inclusive language acknowledges diversity, conveys respect to all people, is sensitive to  
2273 differences, and promotes equal opportunities. Articles should make no assumptions  
2274 about the beliefs or commitments of any reader, should contain nothing which might  
2275 imply that one individual is superior to another on the grounds of race, sex, culture or  
2276 any other characteristic, and should use inclusive language throughout. Authors should  
2277 ensure that writing is free from bias, for instance by using 'he or she', 'his/her' instead of  
2278 'he' or 'his', and by making use of job titles that are free of stereotyping (e.g.  
2279 'chairperson' instead of 'chairman' and 'flight attendant' instead of 'stewardess').

## 2280 **Author contributions**

2281  
2282 For transparency, we encourage authors to submit an author statement file outlining  
2283 their individual contributions to the paper using the relevant CRediT roles:  
2284 Conceptualization; Data curation; Formal analysis; Funding acquisition; Investigation;  
2285 Methodology; Project administration; Resources; Software; Supervision; Validation;  
2286 Visualization; Roles/Writing - original draft; Writing - review & editing. Authorship  
2287 statements should be formatted with the names of authors first and CRediT role(s)  
2288 following. [More details and an example](#)

## 2289 **Changes to authorship**

2290  
2291 Authors are expected to consider carefully the list and order of  
2292 authors **before** submitting their manuscript and provide the definitive list of authors at  
2293 the time of the original submission. Any addition, deletion or rearrangement of author  
2294 names in the authorship list should be made only **before** the manuscript has been  
2295 accepted and only if approved by the journal Editor. To request such a change, the  
2296 Editor must receive the following from the **corresponding author**: (a) the reason for  
2297 the change in author list and (b) written confirmation (e-mail, letter) from all authors  
2298 that they agree with the addition, removal or rearrangement. In the case of addition or  
2299 removal of authors, this includes confirmation from the author being added or removed.  
2300 Only in exceptional circumstances will the Editor consider the addition, deletion or  
2301 rearrangement of authors **after** the manuscript has been accepted. While the Editor  
2302 considers the request, publication of the manuscript will be suspended. If the manuscript  
2303 has already been published in an online issue, any requests approved by the Editor will  
2304 result in a corrigendum.

## 2305 **Article transfer service**

2306 This journal is part of our Article Transfer Service. This means that if the Editor feels  
2307 your article is more suitable in one of our other participating journals, then you may be  
2308 asked to consider transferring the article to one of those. If you agree, your article will  
2309 be transferred automatically on your behalf with no need to reformat. Please note that  
2310 your article will be reviewed again by the new journal. [More information](#).

## 2311 **Copyright**

2312

2313 Upon acceptance of an article, authors will be asked to complete a 'Journal Publishing  
2314 Agreement' (see [more information](#) on this). An e-mail will be sent to the corresponding  
2315 author confirming receipt of the manuscript together with a 'Journal Publishing  
2316 Agreement' form or a link to the online version of this agreement.

2317 Subscribers may reproduce tables of contents or prepare lists of articles including  
2318 abstracts for internal circulation within their institutions. [Permission](#) of the Publisher is  
2319 required for resale or distribution outside the institution and for all other derivative  
2320 works, including compilations and translations. If excerpts from other copyrighted  
2321 works are included, the author(s) must obtain written permission from the copyright  
2322 owners and credit the source(s) in the article. Elsevier has [preprinted forms](#) for use by  
2323 authors in these cases.

2324 For gold open access articles: Upon acceptance of an article, authors will be asked to  
2325 complete an 'Exclusive License Agreement' ([more information](#)). Permitted third party  
2326 reuse of gold open access articles is determined by the author's choice of [user license](#).

2327 ***Author rights***

2328 As an author you (or your employer or institution) have certain rights to reuse your  
2329 work. [More information](#).

2330 ***Elsevier supports responsible sharing***

2331 Find out how you can [share your research](#) published in Elsevier journals.

2332 ***Role of the funding source***

2333 You are required to identify who provided financial support for the conduct of the  
2334 research and/or preparation of the article and to briefly describe the role of the  
2335 sponsor(s), if any, in study design; in the collection, analysis and interpretation of data;  
2336 in the writing of the report; and in the decision to submit the article for publication. If  
2337 the funding source(s) had no such involvement then this should be stated. Please  
2338 see <https://www.elsevier.com/funding>.  
2339

2340 ***Open access***

2341  
2342 Please visit our Open Access page from the Journal Homepage for more information.

2343 ***Elsevier Researcher Academy***

2344 [Researcher Academy](#) is a free e-learning platform designed to support early and mid-  
2345 career researchers throughout their research journey. The "Learn" environment at  
2346 Researcher Academy offers several interactive modules, webinars, downloadable guides  
2347 and resources to guide you through the process of writing for research and going  
2348 through peer review. Feel free to use these free resources to improve your submission  
2349 and navigate the publication process with ease.

2350 ***Language (usage and editing services)***

2351 Please write your text in good English (American or British usage is accepted, but not a  
2352 mixture of these). Authors who feel their English language manuscript may require  
2353 editing to eliminate possible grammatical or spelling errors and to conform to correct  
2354 scientific English may wish to use the [English Language Editing service](#) available from  
2355 Elsevier's Author Services.

2356 ***Submission***

2357  
2358 Our online submission system guides you stepwise through the process of entering your

2359 article details and uploading your files. The system converts your article files to a single  
2360 PDF file used in the peer-review process. Editable files (e.g., Word, LaTeX) are  
2361 required to typeset your article for final publication. All correspondence, including  
2362 notification of the Editor's decision and requests for revision, is sent by e-mail.

2363 **Referees**

2364

2365 The Editors require submissions by the authors of the names and addresses of 4  
2366 potential reviewers for this submission. The institutional address and e-mail address are  
2367 required. At least 2 of the referees should be from a different country to the  
2368 corresponding author's. The Editors reserve the right to use these or other reviewers.



## Preparation

2369

### NEW SUBMISSIONS

2370

2371 Submission to this journal proceeds totally online and you will be guided stepwise  
2372 through the creation and uploading of your files. The system automatically converts  
2373 your files to a single PDF file, which is used in the peer-review process.  
2374 As part of the Your Paper Your Way service, you may choose to submit your  
2375 manuscript as a single file to be used in the refereeing process. This can be a PDF file or  
2376 a Word document, in any format or lay-out that can be used by referees to evaluate your  
2377 manuscript. It should contain high enough quality figures for refereeing. If you prefer to  
2378 do so, you may still provide all or some of the source files at the initial submission.  
2379 Please note that individual figure files larger than 10 MB must be uploaded separately.  
2380

2381 **References**

2382 There are no strict requirements on reference formatting at submission. References can  
2383 be in any style or format as long as the style is consistent. Where applicable, author(s)  
2384 name(s), journal title/book title, chapter title/article title, year of publication, volume  
2385 number/book chapter and the article number or pagination must be present. Use of DOI  
2386 is highly encouraged. The reference style used by the journal will be applied to the  
2387 accepted article by Elsevier at the proof stage. Note that missing data will be  
2388 highlighted at proof stage for the author to correct.

2389 **Formatting requirements**

2390 There are no strict formatting requirements but all manuscripts must contain the  
2391 essential elements needed to convey your manuscript, for example Abstract, Keywords,  
2392 Introduction, Materials and Methods, Results, Conclusions, Artwork and Tables with  
2393 Captions.

2394 If your article includes any Videos and/or other Supplementary material, this should be  
2395 included in your initial submission for peer review purposes.

2396 Divide the article into clearly defined sections.

2397

2398 Please ensure the text of your paper is double-spaced—this is an essential peer review  
2399 requirement.

2400 **Figures and tables embedded in text**

2401 Please ensure the figures and the tables included in the single file are placed next to the

2402 relevant text in the manuscript, rather than at the bottom or the top of the file. The  
2403 corresponding caption should be placed directly below the figure or table.

2404 **Peer review**

2405

2406 This journal operates a single blind review process. All contributions will be initially  
2407 assessed by the editor for suitability for the journal. Papers deemed suitable are then  
2408 typically sent to a minimum of two independent expert reviewers to assess the scientific  
2409 quality of the paper. The Editor is responsible for the final decision regarding  
2410 acceptance or rejection of articles. The Editor's decision is final. [More information on](#)  
2411 [types of peer review](#).

2412 **REVISED SUBMISSIONS**

2413 ***Use of word processing software***

2414 Regardless of the file format of the original submission, at revision you must provide us  
2415 with an editable file of the entire article. Keep the layout of the text as simple as  
2416 possible. Most formatting codes will be removed and replaced on processing the article.  
2417 The electronic text should be prepared in a way very similar to that of conventional  
2418 manuscripts (see also the [Guide to Publishing with Elsevier](#)). See also the section on  
2419 Electronic artwork.

2420 To avoid unnecessary errors you are strongly advised to use the 'spell-check' and  
2421 'grammar-check' functions of your word processor.

2422 **Article structure**

2423 ***Subdivision - numbered sections***

2424 Divide your article into clearly defined and numbered sections. Subsections should be  
2425 numbered 1.1 (then 1.1.1, 1.1.2, ...), 1.2, etc. (the abstract is not included in section  
2426 numbering). Use this numbering also for internal cross-referencing: do not just refer to  
2427 'the text'. Any subsection may be given a brief heading. Each heading should appear on  
2428 its own separate line.

2429 ***Introduction***

2430 State the objectives of the work and provide an adequate background, avoiding a  
2431 detailed literature survey or a summary of the results.

2432 ***Material and methods***

2433 Provide sufficient details to allow the work to be reproduced by an independent  
2434 researcher. Methods that are already published should be summarized, and indicated by  
2435 a reference. If quoting directly from a previously published method, use quotation  
2436 marks and also cite the source. Any modifications to existing methods should also be  
2437 described.

2438 ***Results***

2439 Results should be clear and concise.

2440 ***Discussion***

2441 This should explore the significance of the results of the work, not repeat them. A

2442 combined Results and Discussion section is often appropriate. Avoid extensive citations  
2443 and discussion of published literature.

2444 **Conclusions**

2445 The main conclusions of the study may be presented in a short Conclusions section,  
2446 which may stand alone or form a subsection of a Discussion or Results and Discussion  
2447 section.

2448 **Essential title page information**

2449

2450 • **Title.** Concise and informative. Titles are often used in information-retrieval systems.  
2451 Avoid abbreviations and formulae where possible.

2452 • **Author names and affiliations.** Please clearly indicate the given name(s) and family  
2453 name(s) of each author and check that all names are accurately spelled. You can add  
2454 your name between parentheses in your own script behind the English transliteration.  
2455 Present the authors' affiliation addresses (where the actual work was done) below the  
2456 names. Indicate all affiliations with a lower-case superscript letter immediately after the  
2457 author's name and in front of the appropriate address. Provide the full postal address of  
2458 each affiliation, including the country name and, if available, the e-mail address of each  
2459 author.

2460 • **Corresponding author.** Clearly indicate who will handle correspondence at all stages  
2461 of refereeing and publication, also post-publication. This responsibility includes  
2462 answering any future queries about Methodology and Materials. **Ensure that the e-**  
2463 **mail address is given and that contact details are kept up to date by the**  
2464 **corresponding author.**

2465 • **Present/permanent address.** If an author has moved since the work described in the  
2466 article was done, or was visiting at the time, a 'Present address' (or 'Permanent address')  
2467 may be indicated as a footnote to that author's name. The address at which the author  
2468 actually did the work must be retained as the main, affiliation address. Superscript  
2469 Arabic numerals are used for such footnotes.

2470 **Highlights**

2471

2472 Highlights are optional yet highly encouraged for this journal, as they increase the  
2473 discoverability of your article via search engines. They consist of a short collection of  
2474 bullet points that capture the novel results of your research as well as new methods that  
2475 were used during the study (if any). Please have a look at the examples here: [example](#)  
2476 [Highlights](#).

2477 Highlights should be submitted in a separate editable file in the online submission  
2478 system. Please use 'Highlights' in the file name and include 3 to 5 bullet points  
2479 (maximum 85 characters, including spaces, per bullet point).

2480 **Abstract**

2481

2482 A concise and factual abstract is required. The abstract should state briefly the purpose  
2483 of the research, the principal results and major conclusions. An abstract is often  
2484 presented separately from the article, so it must be able to stand alone. For this reason,  
2485 References should be avoided, but if essential, then cite the author(s) and year(s). Also,

2486 non-standard or uncommon abbreviations should be avoided, but if essential they must  
2487 be defined at their first mention in the abstract itself.

2488 ***Graphical abstract***

2489 Although a graphical abstract is optional, its use is encouraged as it draws more  
2490 attention to the online article. The graphical abstract should summarize the contents of  
2491 the article in a concise, pictorial form designed to capture the attention of a wide  
2492 readership. Graphical abstracts should be submitted as a separate file in the online  
2493 submission system. Image size: Please provide an image with a minimum of 531 × 1328  
2494 pixels (h × w) or proportionally more. The image should be readable at a size of 5 × 13  
2495 cm using a regular screen resolution of 96 dpi. Preferred file types: TIFF, EPS, PDF or  
2496 MS Office files. You can view [Example Graphical Abstracts](#) on our information site.  
2497 Authors can make use of Elsevier's [Illustration Services](#) to ensure the best presentation  
2498 of their images and in accordance with all technical requirements.

2499 **Keywords**

2500  
2501 Immediately after the abstract, provide a maximum of 6 keywords, using British  
2502 spelling and avoiding general and plural terms and multiple concepts (avoid, for  
2503 example, 'and', 'of'). Be sparing with abbreviations: only abbreviations firmly  
2504 established in the field may be eligible. These keywords will be used for indexing  
2505 purposes.

2506 **Abbreviations**

2507  
2508 Abbreviations should be used sparingly; they should be defined when first used in the  
2509 paper but also listed in alphabetical order under *Abbreviations* as a footnote to the title  
2510 page (see above).

2511 ***Acknowledgements***

2512 Collate acknowledgements in a separate section at the end of the article before the  
2513 references and do not, therefore, include them on the title page, as a footnote to the title  
2514 or otherwise. List here those individuals who provided help during the research (e.g.,  
2515 providing language help, writing assistance or proof reading the article, etc.).

2516 **Nomenclature and units**

2517  
2518 All measurements should be expressed in metric, preferably SI, units. Test chemicals  
2519 and enzymes must be clearly identified, IUPAC and CAS names being used, wherever  
2520 possible with the aid of CAS Registry and EC numbers. Pesticides should be referred to  
2521 be their ISO names and human and veterinary drugs by their INNs.

2522 ***Footnotes***

2523 Footnotes should be used sparingly. Number them consecutively throughout the article.  
2524 Many word processors build footnotes into the text, and this feature may be used.  
2525 Should this not be the case, indicate the position of footnotes in the text and present the  
2526 footnotes themselves separately at the end of the article.

2527 **Artwork**

- 2528    ***Electronic artwork***
- 2529    ***General points***
- 2530    • Make sure you use uniform lettering and sizing of your original artwork.
- 2531    • Preferred fonts: Arial (or Helvetica), Times New Roman (or Times), Symbol, Courier.
- 2532    • Number the illustrations according to their sequence in the text.
- 2533    • Use a logical naming convention for your artwork files.
- 2534    • Indicate per figure if it is a single, 1.5 or 2-column fitting image.
- 2535    • For Word submissions only, you may still provide figures and their captions, and
- 2536    tables within a single file at the revision stage.
- 2537    • Please note that individual figure files larger than 10 MB must be provided in separate
- 2538    source files.
- 2539    A detailed [guide on electronic artwork](#) is available.
- 2540    **You are urged to visit this site; some excerpts from the detailed information are**
- 2541    **given here.**
- 2542    ***Formats***
- 2543    Regardless of the application used, when your electronic artwork is finalized, please
- 2544    'save as' or convert the images to one of the following formats (note the resolution
- 2545    requirements for line drawings, halftones, and line/halftone combinations given below):
- 2546    EPS (or PDF): Vector drawings. Embed the font or save the text as 'graphics'.
- 2547    TIFF (or JPG): Color or grayscale photographs (halftones): always use a minimum of
- 2548    300 dpi.
- 2549    TIFF (or JPG): Bitmapped line drawings: use a minimum of 1000 dpi.
- 2550    TIFF (or JPG): Combinations bitmapped line/half-tone (color or grayscale): a minimum
- 2551    of 500 dpi is required.
- 2552    **Please do not:**
- 2553    • Supply files that are optimized for screen use (e.g., GIF, BMP, PICT, WPG); the
- 2554    resolution is too low.
- 2555    • Supply files that are too low in resolution.
- 2556    • Submit graphics that are disproportionately large for the content.
- 2557    ***Color artwork***
- 2558    Please make sure that artwork files are in an acceptable format (TIFF (or JPEG), EPS
- 2559    (or PDF), or MS Office files) and with the correct resolution. If, together with your
- 2560    accepted article, you submit usable color figures then Elsevier will ensure, at no
- 2561    additional charge, that these figures will appear in color online (e.g., ScienceDirect and
- 2562    other sites) regardless of whether or not these illustrations are reproduced in color in the
- 2563    printed version. **For color reproduction in print, you will receive information**
- 2564    **regarding the costs from Elsevier after receipt of your accepted article.** Please
- 2565    indicate your preference for color: in print or online only. [Further information on the](#)
- 2566    [preparation of electronic artwork](#).
- 2567    ***Figure captions***
- 2568    Ensure that each illustration has a caption. A caption should comprise a brief title
- 2569    (**not** on the figure itself) and a description of the illustration. Keep text in the
- 2570    illustrations themselves to a minimum but explain all symbols and abbreviations used.
- 2571    ***Tables***
- 2572
- 2573    Please submit tables as editable text and not as images. Tables can be placed either next

2574 to the relevant text in the article, or on separate page(s) at the end. Number tables  
2575 consecutively in accordance with their appearance in the text and place any table notes  
2576 below the table body. Be sparing in the use of tables and ensure that the data presented  
2577 in them do not duplicate results described elsewhere in the article. Please avoid using  
2578 vertical rules and shading in table cells.

2579 **References**

2580 **Citation in text**

2581 Please ensure that every reference cited in the text is also present in the reference list  
2582 (and vice versa). Any references cited in the abstract must be given in full. Unpublished  
2583 results and personal communications are not recommended in the reference list, but may  
2584 be mentioned in the text. If these references are included in the reference list they  
2585 should follow the standard reference style of the journal and should include a  
2586 substitution of the publication date with either 'Unpublished results' or 'Personal  
2587 communication'. Citation of a reference as 'in press' implies that the item has been  
2588 accepted for publication.

2589 **Reference links**

2590 Increased discoverability of research and high quality peer review are ensured by online  
2591 links to the sources cited. In order to allow us to create links to abstracting and indexing  
2592 services, such as Scopus, CrossRef and PubMed, please ensure that data provided in the  
2593 references are correct. Please note that incorrect surnames, journal/book titles,  
2594 publication year and pagination may prevent link creation. When copying references,  
2595 please be careful as they may already contain errors. Use of the DOI is highly  
2596 encouraged.

2597 A DOI is guaranteed never to change, so you can use it as a permanent link to any  
2598 electronic article. An example of a citation using DOI for an article not yet in an issue  
2599 is: VanDecar J.C., Russo R.M., James D.E., Ambeh W.B., Franke M. (2003). Aseismic  
2600 continuation of the Lesser Antilles slab beneath northeastern Venezuela. Journal of  
2601 Geophysical Research, <https://doi.org/10.1029/2001JB000884>. Please note the format of  
2602 such citations should be in the same style as all other references in the paper.

2603 **Data references**

2604 This journal encourages you to cite underlying or relevant datasets in your manuscript  
2605 by citing them in your text and including a data reference in your Reference List. Data  
2606 references should include the following elements: author name(s), dataset title, data  
2607 repository, version (where available), year, and global persistent identifier. Add  
2608 [dataset] immediately before the reference so we can properly identify it as a data  
2609 reference. The [dataset] identifier will not appear in your published article.

2610 **Reference management software**

2611 Most Elsevier journals have their reference template available in many of the most  
2612 popular reference management software products. These include all products that  
2613 support [Citation Style Language styles](#), such as [Mendeley](#). Using citation plug-ins from  
2614 these products, authors only need to select the appropriate journal template when  
2615 preparing their article, after which citations and bibliographies will be automatically  
2616 formatted in the journal's style. If no template is yet available for this journal, please  
2617 follow the format of the sample references and citations as shown in this Guide. If you

2618 use reference management software, please ensure that you remove all field codes  
2619 before submitting the electronic manuscript. [More information on how to remove field](#)  
2620 [codes from different reference management software.](#)

2621  
2622 Users of Mendeley Desktop can easily install the reference style for this journal by  
2623 clicking the following link:

2624 <http://open.mendeley.com/use-citation-style/food-and-chemical-toxicology>

2625 When preparing your manuscript, you will then be able to select this style using the  
2626 Mendeley plug-ins for Microsoft Word or LibreOffice.

2627 **Reference formatting**

2628 There are no strict requirements on reference formatting at submission. References can  
2629 be in any style or format as long as the style is consistent. Where applicable, author(s)  
2630 name(s), journal title/book title, chapter title/article title, year of publication, volume  
2631 number/book chapter and the article number or pagination must be present. Use of DOI  
2632 is highly encouraged. The reference style used by the journal will be applied to the  
2633 accepted article by Elsevier at the proof stage. Note that missing data will be  
2634 highlighted at proof stage for the author to correct. If you do wish to format the  
2635 references yourself they should be arranged according to the following examples:

2636 **Reference style**

2637 *Text:* All citations in the text should refer to:

- 2638 1. *Single author:* the author's name (without initials, unless there is ambiguity) and the  
2639 year of publication;
- 2640 2. *Two authors:* both authors' names and the year of publication;
- 2641 3. *Three or more authors:* first author's name followed by 'et al.' and the year of  
2642 publication.

2643 Citations may be made directly (or parenthetically). Groups of references can be listed  
2644 either first alphabetically, then chronologically, or vice versa.

2645 Examples: 'as demonstrated (Allan, 2000a, 2000b, 1999; Allan and Jones, 1999).... Or,  
2646 as demonstrated (Jones, 1999; Allan, 2000)... Kramer et al. (2010) have recently shown  
2647 ...'

2648 *List:* References should be arranged first alphabetically and then further sorted  
2649 chronologically if necessary. More than one reference from the same author(s) in the  
2650 same year must be identified by the letters 'a', 'b', 'c', etc., placed after the year of  
2651 publication.

2652 *Examples:*

2653 Reference to a journal publication:

2654 Van der Geer, J., Hanraads, J.A.J., Lupton, R.A., 2010. The art of writing a scientific  
2655 article. *J. Sci. Commun.* 163, 51–59. <https://doi.org/10.1016/j.Sc.2010.00372>.

2656 Reference to a journal publication with an article number:

2657 Van der Geer, J., Hanraads, J.A.J., Lupton, R.A., 2018. The art of writing a scientific  
2658 article. *Heliyon.* 19, e00205. <https://doi.org/10.1016/j.heliyon.2018.e00205>.

2659 Reference to a book:

2660 Strunk Jr., W., White, E.B., 2000. *The Elements of Style*, fourth ed. Longman, New  
2661 York.

2662 Reference to a chapter in an edited book:

2663 Mettam, G.R., Adams, L.B., 2009. How to prepare an electronic version of your article,  
2664 in: Jones, B.S., Smith , R.Z. (Eds.), *Introduction to the Electronic Age*. E-Publishing  
2665 Inc., New York, pp. 281–304.

2666 Reference to a website:  
2667 Cancer Research UK, 1975. Cancer statistics reports for the UK.  
2668 <http://www.cancerresearchuk.org/aboutcancer/statistics/cancerstatsreport/> (accessed 13  
2669 March 2003).  
2670 Reference to a dataset:  
2671 [dataset] Oguro, M., Imahiro, S., Saito, S., Nakashizuka, T., 2015. Mortality data for  
2672 Japanese oak wilt disease and surrounding forest compositions. Mendeley Data, v1.  
2673 <https://doi.org/10.17632/xwj98nb39r.1>.

2674 ***Journal abbreviations source***  
2675 Journal names should be abbreviated according to the [List of Title Word Abbreviations](#).

## 2676 **Video**

2677 Elsevier accepts video material and animation sequences to support and enhance your  
2678 scientific research. Authors who have video or animation files that they wish to submit  
2679 with their article are strongly encouraged to include links to these within the body of the  
2680 article. This can be done in the same way as a figure or table by referring to the video or  
2681 animation content and noting in the body text where it should be placed. All submitted  
2682 files should be properly labeled so that they directly relate to the video file's content. In  
2683 order to ensure that your video or animation material is directly usable, please provide  
2684 the file in one of our recommended file formats with a preferred maximum size of  
2685 150 MB per file, 1 GB in total. Video and animation files supplied will be published  
2686 online in the electronic version of your article in Elsevier Web products,  
2687 including [ScienceDirect](#). Please supply 'stills' with your files: you can choose any frame  
2688 from the video or animation or make a separate image. These will be used instead of  
2689 standard icons and will personalize the link to your video data. For more detailed  
2690 instructions please visit our [video instruction pages](#). Note: since video and animation  
2691 cannot be embedded in the print version of the journal, please provide text for both the  
2692 electronic and the print version for the portions of the article that refer to this content.  
2693

## 2694 **Data visualization**

2695  
2696 Include interactive data visualizations in your publication and let your readers interact  
2697 and engage more closely with your research. Follow the instructions [here](#) to find out  
2698 about available data visualization options and how to include them with your article.

## 2699 **Supplementary material**

2700  
2701 Supplementary material such as applications, images and sound clips, can be published  
2702 with your article to enhance it. Submitted supplementary items are published exactly as  
2703 they are received (Excel or PowerPoint files will appear as such online). Please submit  
2704 your material together with the article and supply a concise, descriptive caption for each  
2705 supplementary file. If you wish to make changes to supplementary material during any  
2706 stage of the process, please make sure to provide an updated file. Do not annotate any  
2707 corrections on a previous version. Please switch off the 'Track Changes' option in  
2708 Microsoft Office files as these will appear in the published version.

## 2709 **Research data** 2710

2711 This journal encourages and enables you to share data that supports your research  
2712 publication where appropriate, and enables you to interlink the data with your published  
2713 articles. Research data refers to the results of observations or experimentation that  
2714 validate research findings. To facilitate reproducibility and data reuse, this journal also  
2715 encourages you to share your software, code, models, algorithms, protocols, methods  
2716 and other useful materials related to the project.

2717 Below are a number of ways in which you can associate data with your article or make a  
2718 statement about the availability of your data when submitting your manuscript. If you  
2719 are sharing data in one of these ways, you are encouraged to cite the data in your  
2720 manuscript and reference list. Please refer to the "References" section for more  
2721 information about data citation. For more information on depositing, sharing and using  
2722 research data and other relevant research materials, visit the [research data](#) page.

2723 ***Data linking***

2724 If you have made your research data available in a data repository, you can link your  
2725 article directly to the dataset. Elsevier collaborates with a number of repositories to link  
2726 articles on ScienceDirect with relevant repositories, giving readers access to underlying  
2727 data that gives them a better understanding of the research described.

2728 There are different ways to link your datasets to your article. When available, you can  
2729 directly link your dataset to your article by providing the relevant information in the  
2730 submission system. For more information, visit the [database linking page](#).

2731 For [supported data repositories](#) a repository banner will automatically appear next to  
2732 your published article on ScienceDirect.

2733 In addition, you can link to relevant data or entities through identifiers within the text of  
2734 your manuscript, using the following format: Database: xxxx (e.g., TAIR: AT1G01020;  
2735 CCDC: 734053; PDB: 1XFN).

2736 ***Mendeley Data***

2737 This journal supports Mendeley Data, enabling you to deposit any research data  
2738 (including raw and processed data, video, code, software, algorithms, protocols, and  
2739 methods) associated with your manuscript in a free-to-use, open access repository.  
2740 During the submission process, after uploading your manuscript, you will have the  
2741 opportunity to upload your relevant datasets directly to *Mendeley Data*. The datasets  
2742 will be listed and directly accessible to readers next to your published article online.

2743 For more information, visit the [Mendeley Data for journals page](#).

2744 ***Data in Brief***

2745 You have the option of converting any or all parts of your supplementary or additional  
2746 raw data into one or multiple data articles, a new kind of article that houses and  
2747 describes your data. Data articles ensure that your data is actively reviewed, curated,  
2748 formatted, indexed, given a DOI and publicly available to all upon publication. You are  
2749 encouraged to submit your article for *Data in Brief* as an additional item directly  
2750 alongside the revised version of your manuscript. If your research article is accepted,  
2751 your data article will automatically be transferred over to *Data in Brief* where it will be  
2752 editorially reviewed and published in the open access data journal, *Data in Brief*. Please

2753 note an open access fee of 600 USD is payable for publication in *Data in Brief*. Full  
2754 details can be found on the [Data in Brief website](#). Please use [this template](#) to write your  
2755 Data in Brief.

2756 **MethodsX**

2757 You have the option of converting relevant protocols and methods into one or multiple  
2758 MethodsX articles, a new kind of article that describes the details of customized  
2759 research methods. Many researchers spend a significant amount of time on developing  
2760 methods to fit their specific needs or setting, but often without getting credit for this part  
2761 of their work. MethodsX, an open access journal, now publishes this information in  
2762 order to make it searchable, peer reviewed, citable and reproducible. Authors are  
2763 encouraged to submit their MethodsX article as an additional item directly alongside the  
2764 revised version of their manuscript. If your research article is accepted, your methods  
2765 article will automatically be transferred over to MethodsX where it will be editorially  
2766 reviewed. Please note an open access fee is payable for publication in MethodsX. Full  
2767 details can be found on the [MethodsX website](#). Please use [this template](#) to prepare your  
2768 MethodsX article.

2769 **Data statement**

2770 To foster transparency, we encourage you to state the availability of your data in your  
2771 submission. This may be a requirement of your funding body or institution. If your data  
2772 is unavailable to access or unsuitable to post, you will have the opportunity to indicate  
2773 why during the submission process, for example by stating that the research data is  
2774 confidential. The statement will appear with your published article on ScienceDirect.  
2775 For more information, visit the [Data Statement page](#).



2776 **After Acceptance**

2777 **Online proof correction**

2778 To ensure a fast publication process of the article, we kindly ask authors to provide us  
2779 with their proof corrections within two days. Corresponding authors will receive an e-  
2780 mail with a link to our online proofing system, allowing annotation and correction of  
2781 proofs online. The environment is similar to MS Word: in addition to editing text, you  
2782 can also comment on figures/tables and answer questions from the Copy Editor. Web-  
2783 based proofing provides a faster and less error-prone process by allowing you to directly  
2784 type your corrections, eliminating the potential introduction of errors.

2785 If preferred, you can still choose to annotate and upload your edits on the PDF version.  
2786 All instructions for proofing will be given in the e-mail we send to authors, including  
2787 alternative methods to the online version and PDF.

2788 We will do everything possible to get your article published quickly and accurately.  
2789 Please use this proof only for checking the typesetting, editing, completeness and  
2790 correctness of the text, tables and figures. Significant changes to the article as accepted  
2791 for publication will only be considered at this stage with permission from the Editor. It  
2792 is important to ensure that all corrections are sent back to us in one communication.  
2793 Please check carefully before replying, as inclusion of any subsequent corrections  
2794 cannot be guaranteed. Proofreading is solely your responsibility.

2796    **Offprints**

2797

2798    The corresponding author will, at no cost, receive a customized [Share Link](#) providing 50  
2799    days free access to the final published version of the article on [ScienceDirect](#). The Share  
2800    Link can be used for sharing the article via any communication channel, including email  
2801    and social media. For an extra charge, paper offprints can be ordered via the offprint  
2802    order form which is sent once the article is accepted for publication. Both corresponding  
2803    and co-authors may order offprints at any time via Elsevier's [Author Services](#).  
2804    Corresponding authors who have published their article gold open access do not receive  
2805    a Share Link as their final published version of the article is available open access on  
2806    ScienceDirect and can be shared through the article DOI link.



**Author Inquiries**

2807

2808

2809    Visit the [Elsevier Support Center](#) to find the answers you need. Here you will find  
2810    everything from Frequently Asked Questions to ways to get in touch.  
2811    You can also [check the status of your submitted article](#) or find out [when your accepted](#)  
2812    [article will be published](#).

2813•      Solutions

2814○      [Scopus](#)

2815○      [ScienceDirect](#)

2816○      [Mendeley](#)

2817○      [Evolve](#)

2818○      [Knovel](#)

2819○      [Reaxys](#)

2820○      [ClinicalKey](#)

2821•      Researchers

2822○      [Submit your paper](#)

2823○      [Find books & journals](#)

2824○      [Visit Author Hub](#)

2825○      [Visit Editor Hub](#)

2826○      [Visit Librarian Hub](#)

2827○      [Visit Reviewer Hub](#)

2828•      About Elsevier

2829○      [About](#)

2830○      [Careers](#)

2831○      [Newsroom](#)

2832○      [Events](#)

2833○      [Publisher relations](#)

2834○      [Advertising, reprints and supplements](#)

2835•      How can we help?

2836○      [Support and Contact](#)

2837    Follow Elsevier

2838

2839    Select location/language [Global - English](#)

2840

2841 Copyright © 2020 Elsevier, except certain content provided by third parties  
2842 Cookies are used by this site. To decline or learn more, visit our [Cookies](#) page.  
2843 [Terms and Conditions](#) [Privacy Policy](#) [Sitemap](#)

2844

2845